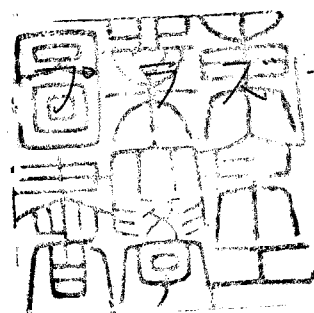


論文 / 著書情報
Article / Book Information

題目(和文)	大電力高周波発振器の開発と高温プラズマへの適用
Title(English)	
著者(和文)	嶋田 隆一
Author(English)	ryuichi shimada
出典(和文)	学位:工学博士, 学位授与機関:東京工業大学, 報告番号:甲第763号, 授与年月日:1975年3月26日, 学位の種別:課程博士, 審査員:
Citation(English)	Degree:Doctor of Engineering, Conferring organization: Tokyo Institute of Technology, Report number:甲第763号, Conferred date:1975/3/26, Degree Type:Course doctor, Examiner:
学位種別(和文)	博士論文
Type(English)	Doctoral Thesis

大電力高周波発振器の開発

と高温回路技術への適用



東京工業大学

鳥田 隆一

目 次

	PAGE
第1章 緒論	1
1.1 核融合研究における大電力高周波発振器、役割	1
1.2 従来の大電力高周波発振器	9
1.3 本研究の意義	11
第2章 大電力高周波発振器の原理	14
2.1 発振原理	14
2.2 発振条件	15
2.3 発振効率	20
2.4 予備実験	23
2.5 直列共振法による発振	28
第3章 大電力高周波発振器の建設	32
3.1 発振出力	32
3.2 主振動回路	34
3.3 充電用振動回路	34
3.4 トリガーパルス回路	39
3.5 制動回路	46
3.6 制御回路	46
第4章 大電力高周波発振器の運転	48
4.1 発振出力、効率	48
4.2 マレクスゼネレーターの再使用	51
4.3 まとめ、今後の問題点	52

第5章 ガス絶縁プラズマへの適用	53
5.1 はじめに	53
5.2 ガス絶縁プラズマの特徴	55
5.3 ガス絶縁プラズマの核融合の可能性	56
5.4 ガス絶縁プラズマの実験	62
5.4-1 目的	62
5.4-2 予備電離法	62
5.4-3 装置	64
5.4-4 実験結果	72
5.5 まとめ	80
第6章 プラズマの動的安定化	81
6.1 はじめに	81
6.2 動的安定化の機械的モデル	81
6.3 プラズマの動的安定化	84
6.4 放電プラズマの動的安定化の実験	90
6.4-1 目的	90
6.4-2 実験装置	92
6.4-3 実験結果	101
6.5 まとめ	107
第7章 結論	108
謝辞	110
参考文献	111

内容梗概

この論文は、「大電力高周波発振器の開発と高温プラズマへの適用」と題し、プラズマを加熱、安定化する目的で新方式の発振法を開発し、その原理に基づき発振器を建設し、 1MHz , 2MW , $10\mu\text{s}$ の発振出力を得た。また、もしこの種の大電力高周波発振器を用いてガス絶縁プラズマを加熱した場合、多くの利点があることを示し、さらに実際に E 放電の動的安定化実験において、その効果を示したもので7章よりなっている。

第1章「緒論」では、核融合への人類の期待が高まりつつあり、また、核融合炉の実現を議論できるようになり、た現在、大電力高周波技術の開発こそ、核融合の成否となる。ところが、従来の大電力高周波技術は、その要求に応じられるものではなく、その開発がいかに必要であるかと述べ、また、そのような状況の中でこの研究の意義について述べている。

第2章「大電力高周波発振器の原理」では、真空ギャップの強い絶縁回復特性を利用して、コンデンサ放電の運動エネルギーをタンク回路へ移送することによって、連続発振させる発振方法を提案し、さらに、発振させるための条件、効率などを求め、この方法の発振器の設計基準を導き、これらを実証するべく基礎実験を行った。その結果、真空ギャップがこの発振器の要求を、十分満たすこと、発振理論どおり動作することを明らかにしている。

第3章「大電力高周波発振器の建設」では、第2章の設計基準に基き、 16MW , $30\mu\text{s}$, 1MHz を目標とした発振器を建設したその詳細について述べている。さらに、この方法による長時間発振を実現するために、真空ギャップの性質をさらに利用し、一度放電したコンデンサを数 $10\mu\text{s}$ 後にまたたび放電させることができれば、ある一定数のコンデンサ放電回路を次々放電しそれを順次再充電し、そのすべてが放電したとき、最初のコンデンサが、充電完了の状態であれば、このコンデンサ放電回路群は連続して動作し、発振時統

時間は電源のみの問題となることを提案し、これを実証するため、10台の真空ギャップによるマルクスゼネレーターを建設し、それぞれ数 $10\mu\text{s}$ ごとに動作するようにトリガ一方式等を開発したことについて述べている。

オ4章「大電力高周波発振器の運転」では、10台のマルクスゼネレーターを1度ずつ動作させ、直列共振法、並列共振法それぞれについて発振器の出力、効率を求め、 $1\text{MHz}, 2\text{MW}, 10\mu\text{s}$ の発振出力を得たことを示し、また、再充電法により10台のマルクスゼネレーターを3回ずつ放電させ、ピーク $1\text{MW}, 90\mu\text{s}$ の発振が得られ、しかもこれらの値は定格の半分の電圧で運転している状態の値であり、この発振法の可能性を十分示したことが、述べられている。

オ5章「ガス絶縁プラズマへの適用」では、大電力高周波をプラズマに適用した場合、最大の問題である放電管壁での放電を除去する方法として、ガス絶縁プラズマを提案し、ガス絶縁プラズマに今回開発した、大電力高周波発振器を適用した場合の種々の利点、可能性を考察し、さらに次の事を実験的に、明らかにした。すなわち、高周波電力のシールド効果がないこと、高温プラズマの安定保持、プラズマ中への不純物の侵入阻止等を確かめたことについて、述べている。

オ6章「アラズマの動的安定化」では、今回開発した発振器を動的安定化に応用する方法とその効果を実験的に明らかにした。すなわち、動的安定化的効果を顕著に観測するべく設計された放電装置を建設し、プラズマガンにより初期プラズマを作り、そのプラズマに電流を流して、 $m=1$ のkinkインスタの成長率と、高周波電流の有無について調べ、その結果、動的安定化的効果を確かめたことが述べられている。

オ7章「結論」では、以上各章の結果を、総括している。

オ1章

緒論

1. / 核融合研究における大電力高周波発振器の役割

制御熱核融合反応を新しいエネルギー源として、それもかなり本命的なエネルギーとして考える見方は、もはや定着しているように思われる。そして、限りある地球と云々されエネルギー源の涸渇が憂えられ、石油ショックが直接の脅威となるに及んで、エネルギー源としての核融合の開発が、単なる未来技術の域を越えて、具体的日程をふまえての緊急性を帯びてきている。

制御熱核融合反応が実現された暁には、現在の石油燃料は不用となり、核分裂反応による放射能汚染の心配もなく、その恩恵は、測り知れない。この核融合反応を実現する上で、最も有力な手段の一つに強力な高周波電磁界の適用がある。

高周波電磁界を単独で、または静磁界と併用すると、プラズマの加熱および安定保持の面において、静磁界では得られない種々な可能性が得られることが多数の理論家によって示されている。それにもがかれらず、今までのところ、実験面において成果の見るべきものが少くないのは、一つに大電力高周波発振器の製作が技術的に極めて困難であったと言っても、過言ではないだろう。

高温プラズマを静磁界(準定常磁界)で閉じ込める方法は現在までに、トポロジカルに、でっくした感がある。このような磁場配位により高温プラズマの閉じ込めに困難を感じた場合、高周波電磁界を応用しようという考えは、当然おきて然るべきである。すでに1958年、ジュネーブにおけるオ2回原子力平和利用国際会議において、Balter氏等が⁽¹⁾一般的な考察を行っている。この論文によると、高周波電磁界を用いると確かに静磁界とは異った磁場配位が、得られる。しかも、プラズマの加熱、安定化にも有用であると考えられる。しかし、これに必要な莫大な高周波エネルギーを考えると現在の技術では実現困難

というのが結論であった。

制御熱核融合における高周波電磁界の応用は大別して次の様である。

- ① 高周波電磁界によるプラズマの加熱
- ② 高周波電磁界による閉じ込め、安定化

安定化に関しては、静磁界の欠点を補う補助的なものである。

最近の核融合研究においてもっとも有望視されているのは、トコマック方式によるものである。ソビエトのクルチャトフ研究所(モスクワ)におけるT-3装置以後、世界中でトコマック方式の装置が、続々と建設されている。日本でも、原子力研究所において、JFT-2 の成功により、1980年を目標に、臨界プラズマ試験装置JT-60 の計画がある。アメリカでは、原研のJFT-2と臨界プラズマ試験装置の中間位の大きさのPLTといふ装置が、来年完成予定である。ソ連では、やはり臨界プラズマ条件をめらしたT-20といふ計画が、発表されており、ECはイギリスのカラム研究所を中心に臨界プラズマを目標とするJETといふ計画を、進めている。

しかし、これで核融合制御のすべての問題が解決したわけではなく、なを解決すべき重要問題が残されている。すなわち、トコマック方式で用いられているジューク加熱の方法はすでに到達温度においてほぼその限界に達していると考えられる。さらに数千万度以上までの第2段階の加熱が必要であり、この具体的な手段として、中性粒子入射加熱法と高周波電磁界を用いる法の2つが、有望視されている。また、粒子の温度および密度をさらに上昇させた場合に新しい不確定性が現われてくることは当然予想されるので、これにも高周波電磁界を用いて、閉じ込めを強化し、安定化を図る二つの必要性が生じる可能性が大きい。

① 高周波電磁界によるプラズマの加熱

高周波によってプラズマ中のイオンまたは電子を加熱する場合の原則的なエネルギーの流れは、プラズマ密度が小さい場合を除き、次の様になる。

外部高周波電磁界 → プラズマ中波動 → 粒子エネルギー
(結合回路) (緩和)

したがって、加熱効果を高めるには、外部から注入する高周波と波動との結合が良いことが必要となる。プラズマ中では、プラズマ粒子密度、 k_{\parallel} , k_{\perp} , ω (温度)などの諸物理量との関係を規定するいわゆる「分散関係」を満たす波動だけがあまり減衰しないで伝搬できるわけであるから、外部電磁界の ω , k_{\parallel} などを波動のそれに一致させてやると、その波動を強く励起できる。(共鳴)

波動から粒子へのエネルギーの変換は、サイクロトロン減衰およびランダウ減衰などの非衝突減衰と、波動を担っている荷電粒子間の衝突の2種の物理機構によって生ずる。サイクロトロン減衰を積極的に利用するには、静磁界が弱い場所に向けてサイクロトロン波を伝搬させる。磁界の強さが低下するとサイクロトロン周波数 Ω も低下し、ついには波動の固波数よりも下がるが、この領域では波動は伝搬できない。したがって、 $\omega = \Omega$ を満たす磁界の場所で波動は、反射されるか、吸収されるはずである。実際には粒子のサイクロトロン運動に共鳴し、波動のエネルギーは粒子の運動エネルギーに交換されることが知られている。二の様な磁界は、海の波が、海岸の砂浜でつぶされる二から、「ビーチ(Beach)磁界」と言われる。この様に、伝搬領域から非伝搬領域へ、波動を送りこむことにより、その境界で波動のエネルギーを粒子のエネルギーに交換する方法は、磁界の変化のみに限らない。

次に、加熱に関する各種波動の作用について簡単に述べる。

(1). 電子サイクロトロン波。普通、電子サイクロトロン周波数 Ω_{ce} の近傍のマイクロ波を、どの電界が、静磁界に直交するようプラズマ中に導入する。サイクロトロン共鳴の条件を満たす磁界強度がプラズマ中のビニカに存在すれば、高温の電子が得られる。 6.4 GHz , 5 kV 程度のマイクロ波で、数百 keV ⁽²⁾にも及ぶ高温の電子を得られるが、軽心のイオンは、数 eV 止まりである。加熱は、サイクロトロン周波数の n 倍、または n 分の 1 でも有効である。ホイッ

スラー波を利用する二つもある。

(2) イオンサイクロトロン波 電子サイクロトロン波の場合と原理的に大差はないが、 Plasma と外部高周波との結合が強くないので励起系を、波動の k_{\parallel} , ω に合わせて、結合共鳴させて、結合を高める。Stix形のコイルを、用いて Plasma と結合させる。アメリカのプリンストン大学では、ステラレータ-C装置を用いて、 25 MHz , 2 MW 程度の高周波発振器を用いて、局部ビーム磁界では 3 keV ⁽³⁾ の加熱が得られる。又、低密度の Plasma では、 Plasma 柱を平板電極ではさみ、高周波電界を印加して、静電的イオンサイクロトロン波が得られ、イオンを keV 程度に加熱できる。⁽⁴⁾

(3) 圧縮性アルフベーン波 Plasma の密度が、充分高い場合 ($> 10^{14}/\text{cc}$) には、 $\omega = \Omega_{ci}$ の周波数領域でも、圧縮性のアルフベーン波が励起でき、この波のランダウ減衰を利用してイオンの加熱を行う二つができる。

(4) Lower hybrid 波 共鳴の周波数は、電子サイクロトロン周波数 Ω_{ce} とイオンサイクロトロン周波数 Ω_{ci} との幾何平均 $\sqrt{\Omega_{ce}\Omega_{ci}}$ の近傍で、普通、数 10 MHz の領域となる。最近のトコマックの加熱は直接行えるという点から、最近、特に強い関心がもたらされている。⁽⁵⁾ 第5回 IAEA 国際会議(東京)⁽⁶⁾ の、アメリカ・ST トコマックの報告によると、 25 MHz , 70 kW の入力で、イオン温度が、 100 eV 上昇し、発振器から、 Plasma の波動への変換効率は 90% であった。

以上、加熱についてまとめると、核融合を実現させるためには、高温、高密度の Plasma を、長時間、閉じ込めて置く必要がある。現在のトコマックも、加熱については、オーバ段階の加熱が必要であり、それは高周波電磁界の応用が有望である。そして、炉としての立場から考えると、オーバにイオンを、よく加熱する二つ。オーバに、あまり周波数が高くなれない二つ。これは、表皮効果による電力損、 Plasma に対する高周波給電の方法、大電力発振器の問題に關係し、 MHz 程度以上に高くなることは好ましくない。

② 高周波電磁界による閉じ込め、安定化。

高周波電磁界のみを用いた閉じ込めにおいては、高周波放射場（マイクロ波など、空間分布を作る程の超高周波領域では、電場の圧力が磁界の圧力と等しい。）によって（^ア）プラズマを、閉じ込める問題については、今回、ニの論文の目的と、周波数が異なるので、簡単に原理のみ述べる。高周波の周波数（ ω ）が電子のサイクロトロン周波数より高い場合、粒子に対する高周波の力学的効果は、

$$U_{fr} = (e^2/4m\omega) \overline{E_{fr}^2} \quad (1.1)$$

で表わされ、保守的なポテンシャル場になつて表現される。 E_{fr}^2 に適当な分布を与えれば、電子は U によって閉じ込められる。

高周波放射能によって、プラズマを閉じ込めるには、D.H.F. 帯の球空洞を用いて、TE₁₁₀モードを励起し、このモードを回転させるニによって中心に、極小値をもつポテンシャル場を作り出すニが、である。

高周波電磁界と静磁界との併用による閉じ込めは、ミラー・カスア^アなどの開放形装置の開口部に高周波をかけて、プラズマ損失を防ぐために用いられる。

この場合（1.1）式は、

$$U_{fr} = \frac{e^2 \overline{E_f^2}}{4m(\Omega^2 - \omega^2)} \quad (1.2)$$

ただし、 $\Omega = eB_0/mc$ 、 B_0 静磁界 となる。実験例として、名大アラズマ研のTP-DⅡを用いての佐藤氏等の実験が、あげられる。カスア^ア磁界からのプラズマの漏れをイオンサイクロトロン近傍での周波数を用いて、抑制する実験を行い、線カスア^アに対しては、漏れを大半に抑制できるニと示した。

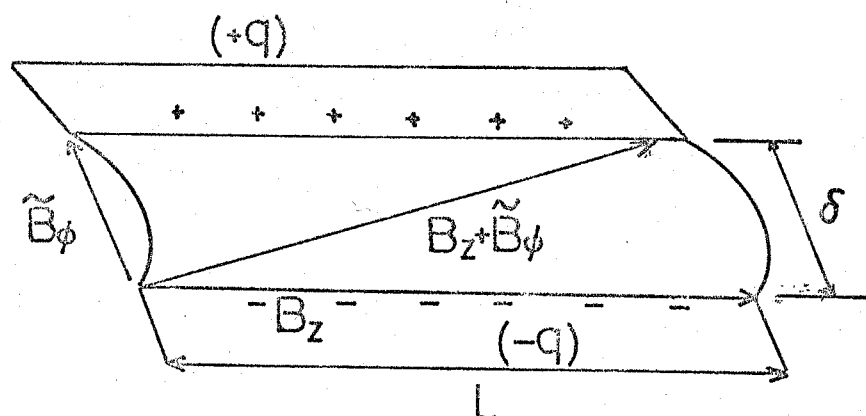
高周波電磁場によるアラズマの安定化は、アラズマの不安定性を打ち消すように、アラズマの状態を変化させる負帰還法もあるが、ニニでは除いておく。これは、100～150 kV^アの不規則振動を、0.1～1 Wのマイクロ波、ビームによって抑制するニができる。

高周波による安定化は、 ω/β においては、動的ずり磁界 (Dynamic Magnetic Shear) による安定化が考えられる。オ 1.1 図に示すように、定常磁界 B_z に沿って波長の長い不安定性が生じ、電荷分離 ($\pm q$) が起きたとする。プラズマ中に交流電流を流して、 \tilde{B}_ϕ を発生させ、磁力線を時間的に振って磁力線に沿う電子の流れによって、正負の電荷を短絡することを考える。それが起きたためには、

- i) $\omega > \Omega$
- ii) $V_e/\omega > L$
- iii) $\tilde{B}_\phi / B_z \geq \delta / L$

の 3 条件が満足されれば良いであろう。条件 i) は イオンが磁力線に凍結されて動かない条件であり、ii) は、熱速度の電子がイオン過剰領域まで動くための条件であり、iii) は、磁力線が充分に振れるための条件である。

Dubovoy 氏等は、ペニンゲ放電アラズマ ($m = 10^{12}/cc$) 中に 5 MHz , $0 \sim 100 \text{ A}$ の電流を流して、ドリフト波の安定化を試みた。アラズマの直径と長さは、それぞれ 4 cm , 40 cm であるが、 $B_z = 1.2 \text{ KG}$, 2.2 KG に対して、 $\tilde{I} = 10 \text{ A}$, 20 A でアラズマの密度変動は減り始め、非常に有効であった。トーラスについても、トロイダルドリフトを高周波ずり磁界で、局所的に除去する研究がなされている。リゼエトの P-O 装置では、単純トーラス磁界にアラズマ表面で 250 G に達する 0.7 MHz の高周波 4 極磁界を加えている。



オ 1.1 図

MHD的不安定性を高周波電磁界で抑制することは、早くから提案され、動的安定化とは、これを呼ぶのが普通である。 $\beta = 1$ のプラズマ、例えば、スピンチに高周波多極境界を加えた場合、オーラ、Z回の様に、ある瞬間ににおける各電流導体とプラズマに働く力が示してあるが、プラズマを押す力と引くはる力が交互に存在する。これらの力は時間的に変化し、その周波数が充分大きいとプラズマはどの方向についても安定であることがである。

⁽¹²⁾ Borzunov 氏等は、0.5 MHz～1.2 MHz の電流を各バーあたり 25 kA まで流すにより、放電电流 100 kA までのスピンチの変形を防いだ。また ⁽¹³⁾ Forman 氏等は、4 本のロッドに、0.7 MHz, 13.7 kA の電流を流して、 $m = 0, 1$ のインスタを（波長 5～12 cm のもの）、成長速度を $1/3$ にした。これは、理論と一致した。

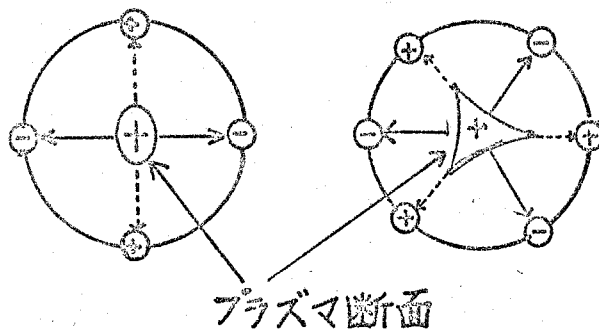


図 1.2 回

⁽¹⁴⁾⁽¹⁵⁾⁽¹⁶⁾ Weibel 氏は、スピンチとロビンチを重ね合せた回転磁界ピンチで閉い込みと動的安定化とを、同時に行おうとしている。 β を高く、プラズマの境界を、short Boundary にすると プラズマ中のインスタは起らないと期待できる。しかし、放電管壁でのシールドにより Weibel 氏の場合、プラズマの寿命は、 $1.7 \mu s$ にしか達していない。これらの実験において障害となるのは、高周波電磁界と壁からのガス放出のために、プラズマ容器の壁の表面で放電が起きて高周波が、シールドされてしまうことである。

壁面での放電を除去するのは、さわめて難しい問題であろう。

現在、核融合をめざして、種々の装置が研究されているが、その中で Meyer 氏と Schmidt 氏によって提案された高ベータトーラス (M & S⁽¹⁷⁾) に関する方法は、これまでの直線 Q ピン 4 で得られた成果をそのまま引き継ぎ、しかもその欠点である端損失を防ぐ方法として、着目され、Scyllac 計画を始めとして大きな計画が進んでいる。M & S 平衡 (高ベータステラレーター) では、「良い範囲」と「悪い範囲」が交互に生じ、MHD 的不安定性が、抑えられず動的安定化が本質的に重要である。

磁気軸上にふくらみのある直線 Q ピン 4 で生じる不安定性を高周波定在波で安定化する実験、Scylla III と IV で $M=1$ 不安定 (K-S モード) に交流電流 I_{ex} ⁽¹⁸⁾ を加えて動的安定化を行う実験や、理論的検討では、Wesson 氏と Hass 氏が、周期的な直線 Q ピン 4 磁界で動的安定化できる条件を示し、交流電流 I_{ex} ⁽¹⁹⁾ を加える場合には、Ribe 氏等の検討も行われている。Ribe 氏等による Scyllac 計画は、5-m, 8-m 120° トロイダルセクターの実験を経て、第 5 回 IAEA 国際会議 (東京)⁽²⁰⁾ において 直径 8 m の大型トーラスによる実験結果を報告している。

最後に、制御熱核融合の成否は、超高真空技術、強磁界発生技術、大電力高周波技術の開発に強く依存しており、そのなかで、核融合制御のために必要なであろう技術開発は、ほとんど大電力の高周波電源に關係したものであろう。

1.2 従来の大電力高周波発振器

制御熱核融合における大電力高周波発振器の役割は、非常に大きなものがあると、前節で述べたが、従来の大電力高周波発振器を見るとあまりにその開発が、遅れており、述べるところが少ないので残念である。プラズマ・核融合の実験において用いられて来た大電力高周波発振器には、次の三つの方法がある。

- 1) 真空管を用いる方法
- 2) コンデンサ放電による方法
- 3) ケーブル放電による方法

① 真空管を用いる方法

送信用真空管を用いて、大電力発振させる。現在、普通に作られる送信管の出力は、C.W.で 500 kW 程度で、これをパルス動作させて、C.W.の10倍程度の出力を発振できる。真空管の出力は、陽極損失の許容熱入力で決まり、パルス動作では、カソードよりの電子のエミッショングで決まる。多数の真空管を、並列運転して、出力の合成により大出力を発生させることもできるが、周波数を低くしなければならない。20 ~ 200 kHz、50 MW (パルス動作) 級の真空管発振器を開発している。Yビエトでは、860 MW、数 10 ms の発振器をもっている。フランスでも同様な努力が、始まっている。真空管式の発振は、古い歴史を持ち、今後も大電力発振の主流であるかもしれない。しかも、カソードの研究等により、例えば、エレクトロンボンバードメントカソードの開発、半導体からの電子放出によるカソードなどの研究は、真空管の出力を大幅に増大させるであろう。

UHF 帯における発振は、マグネットロン、クライストロン、進行波管により、現在でも、数 GW (パルス動作) も実現できる。特に Kapitza 氏の Planotron⁽²³⁾ は、数 GW、連続も可能であると思われる。

ii) コンデンサ放電による方法

コンデンサを充電し、そのエネルギーをインダクタンスへ放電すると、リソキングによる振動をするが、その出力は非常に大きなものである。しかし、その振動は、单调に減衰し、持続時間が短い。持続時間を長くするためには、Qの高い振動回路にすることが重要であり、現在までの高ベータプラズマの動的安定化の実験は、この方法で行っている。

iii) ケーブル放電による方法

1965年 Weibel 氏の発明による発振器で、1969年の論文によると、30M W、持続 $3\mu s$ 、 $3 MHz$ の発振器である。

その発振原理を簡単に述べると、

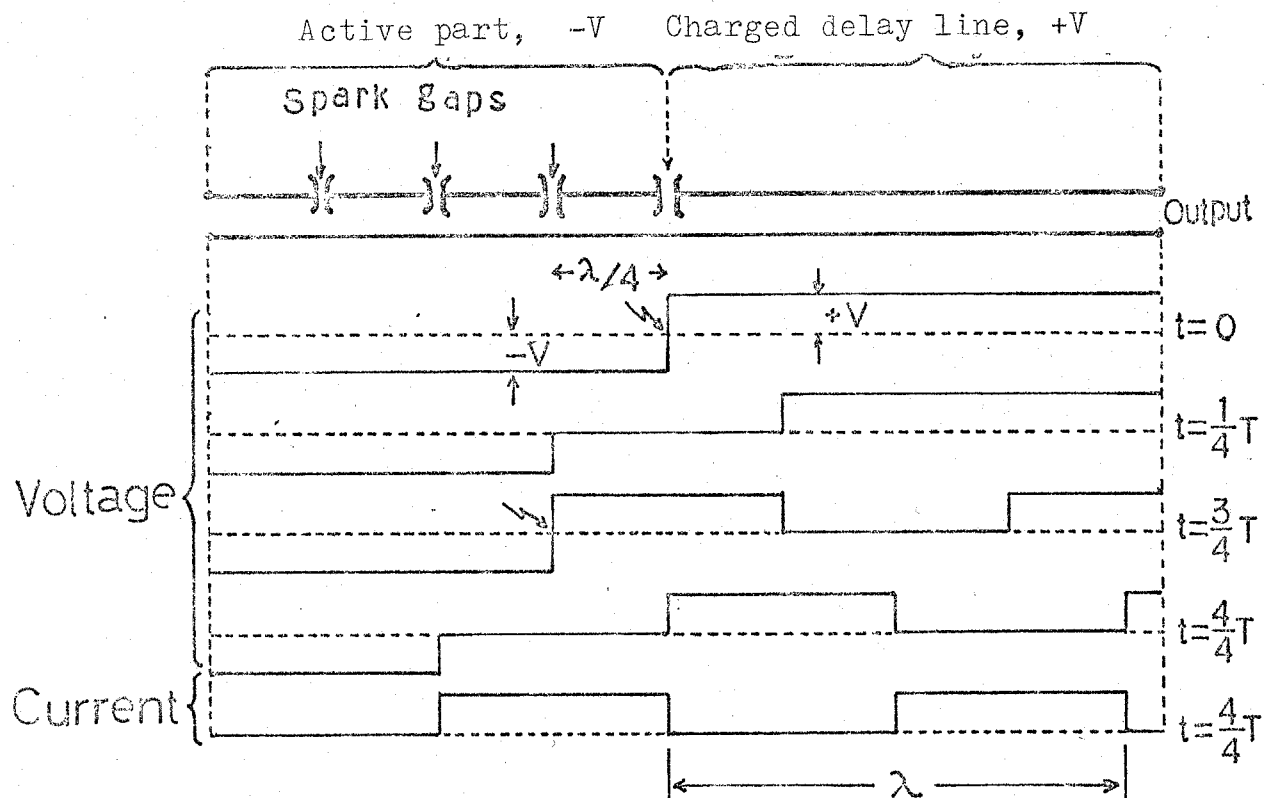


Fig 1.3

Fig 1.3のようActive lineを-Vに充電し、Charged delay lineを+Vに充電し、Active lineのギャップを次々と時間間隔 $\frac{3}{4}T$ で、投入するとパルス状の波が、lineを伝搬する。発振の持続時間は、本

質的に line の長さによって決まる。

1.3 本研究の意義

核融合の歴史を考えると現在は、まさにその転機にあると考える。

トカマックはプラズマ電流装置の頂点にあるが、それは、ミラー、Ioffe等の研究から出発し、内部導体系プラズマ閉じ込めの研究成果をヒリ入れ、今や、SFEX (Scientific Feasibility Experiment) で制御核融合の可能性も議論できるようになった。そもそも、磁場によりプラズマを空間的に閉じ込めて、反応させる核融合は、本質的に非定常である。プラズマは拡散時間の間に磁場により作られた容器から逃げてしまう。そのため核融合をおこさせるためには、プラズマに瞬間的なエネルギーの注入、つまり、加熱の必要がある。トカマックのように加熱と閉じ込めが、同時におこる場合については、よく調べられているが、核融合温度までの加熱（オニ段加熱）を考えると、研究は、これからである。

前節で述べたように、制御熱核融合の成否は、超高真空技術、強磁界発生技術、大電力制御技術に強く依存している。その中で、核融合制御のために必要なであろう技術開発は、ほとんど大電力高周波技術に關係したものであろう。

およそ、核融合の研究に携わる工学者で、新方式による大電力発振方法の開発を夢みない者はないであろう。事実、前節で述べたように従来の大電力高周波発振器は、将来の核融合炉への適用は、ともかく、現在の実験的規模の要求に対しても充分ではない。また、その発展性も疑問である。

著者は、制御熱核融合への技術的隘路を突破すべく、新方式の発振器の開発を1970年の5月より始め、新方式の発振器のすべての可能性を理論的・実験的に追求して、これはまさに、多くの核融合研究者の待ち望んでいた発振器であると、確信する。

発振器の開発を決意したとき、二のようなMW、GWの発振器の原理は、で

ヨ上上がって見ると、極めて簡単であろう。複雑なはずがないと予測したが、事實、その原理は、非常に簡単に理解できるものである。すなわち、「弁慶とつり鐘」の話を思い出すと、弁慶は、つり鐘をかいっけい押し、微動だにしなかつたのに、義経は、小指一本で大きく動かしたのである。彼は、つり鐘の振れる周期に同期して、運動量を注入したのであり、柱時計の振り子が振動するのも同じ原理である。これこそ、すなわち、著者の開発した発振法、それぞれ、並列共振法、直列共振法とよく一致する。

コンデンサ放電といふ高電圧、大電流の現象を利用して、さらにマルクスビンレーター、(衝撃電圧発生器)といふ高電圧工学の最大の武器を使はし、これらに真空ギャップといふ最近のシリコン精製技術、高真空技術の進歩による高純度の電極を、高真空中に封入した、新しい回路素子を応用した時、まさに、真のパワーエレクトロニクスの夜明けとも言うべく MW, GW の電力を、MHz の周波数で、制御できるようになつた。

真空ギャップ、真空スイッチは、これまでにも、核融合をめざした大電力制御に用いられ、開発されてきた。しかし、その真空ギャップの真の利点は、封じ切り真空ギャップ、スイッチが、始めて示した。最近の技術進歩により、高純度の金属を高真空中に封入し、一般の送配電系統に、10年以上の間、使用できる真空スイッチが可能となつた。これらの真空ギャップは、ギャップ長、1 mm で 120 kV の耐圧があり、数 100 kA の電流を、20 V 程度の電圧降下で、導通し、電流通過後、アーケーの真空中への拡散により、数 μs で元の絶縁を回復する。

本研究において、著者は、二に述べたように、大電力高周波発振器を開発し、さらに、ガス絶縁アズマへの適用を研究し、ガス絶縁アズマへの予測されていた離針点を実験的に示すことに成功し、ガス絶縁アズマこそ、今回、開発した大電力高周波発振器によって加熱されるに最適であり、推算によれば、今回の発振器を power up した 100 MW のもので、充分核融合の可能性を調べることができる。また、今回製作した発振器は、この方法の可能性を調べる

ため、基礎的資料収集のためが主目的であるが、又放電プロセスの動的安定化に、その効果を示すことができた。

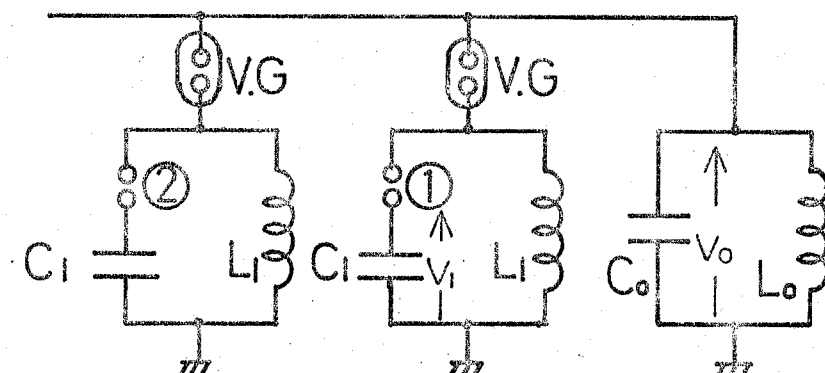
本論文は、以上の二点の目的と経過で行われた研究の結果が、まとめて述べられている。

第2章 大電力高周波発振器の原理

2.1 発振原理

真空ギャップを用いた高周波発振器の原理は次の様である。

第2.1図に示すように、 C_0, L_0 よりなるタンク回路と並列に、 C_1, L_1 よりなる多數のコンデンサ放電回路（以後、充電用振動回路と呼ぶ）を、真空ギャップ（V.G）で結ぶ。この時、タンク回路と充電用振動回路の振動周期は等しくなるよう $L_0 C_0 = L_1 C_1$ とし、かつV.Gは V_0 以下の電圧では放電しないように、ギャップ長を調整しておく。 C_0, C_1 の端子電圧はそれぞれ V_0, V_1 とし、ギャップ①をトリガーして導通させると、真空ギャップには $V_1 - V_0$ の電圧が、かかり、 $|V_1 - V_0| > |V_0|$ ならば真空ギャップが自己破壊する。この時 C_1 の電荷は真空ギャップを通り、 C_0 をパルス的に充電する。パルス充電が完了すると、 $V_0 = V_1$ となり、真空ギャップには電流は流れなくなる。また、充電用振動回路とタンク回路とは同一の周波数、および位相で振動する。したがって、真空ギャップにはしばらくの間、ほとんど電圧がかからない。このように電圧および電流がほとんど零の状態では、真空ギャップは急速に絶縁を回復し（回復時間、 $(27)(28)$ 数μs）、充電用振動回路はタンク回路から切り離される。



$$C_1 L_1 = C_0 L_0$$

$$V_1 > V_0$$

V.G: 真空ギャップ

第2.1 図

負荷にエネルギーを消費し、振動が減衰してきたり、タンク回路の振動に位相も含めて、ギャップ②をトリガーすると同じ動作をしてタンク回路へ、エネルギーが注入される。このように充電用振動回路を多数用意して、次々とギャップ②をトリガーすれば、タンク回路は連続して振動する。

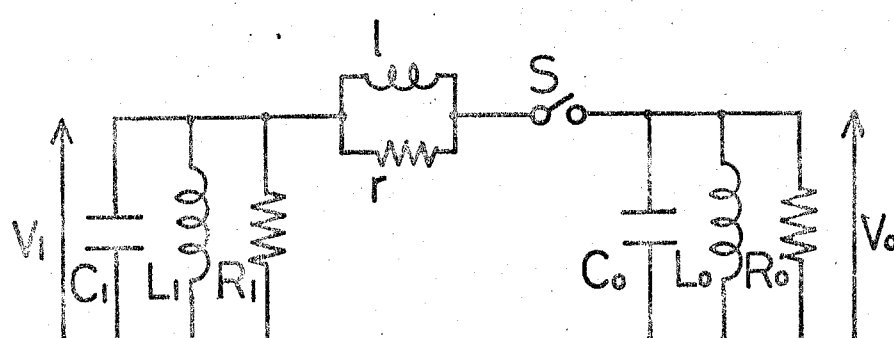
2.2 発振条件

真空ギャップをスイッチ化して考え、発振条件、効率を考えて見る。

オ2.2図に示すように、 C_1 の電圧を V_1 、 C_0 の電圧を V_0 、 R_0 は発振器の負荷、 R_1 は充電振動回路のQを表わし、 l 、 t は充電用振動回路とタンク回路との間のインダクタンス、抵抗とすると、回路方程式は次のようになる。

$$\begin{aligned} \frac{1}{L_1} \int V_1 dt + C_1 \frac{dV_1}{dt} + \frac{1}{R_1} V_1 + \frac{1}{r} (V_1 - V_0) \\ + \frac{1}{l} \int (V_1 - V_0) dt = 0 \quad (2.1) \end{aligned}$$

$$\begin{aligned} \frac{1}{L_0} \int V_0 dt + C_0 \frac{dV_0}{dt} + \frac{1}{R_0} V_0 + \frac{1}{r} (V_0 - V_1) \\ + \frac{1}{l} \int (V_0 - V_1) dt = 0 \quad (2.2) \end{aligned}$$



充電用振動回路

タンク回路

オ2.2図

ここで簡単にするために、 $C_0 R_0 = C_1 R_1$ とする。

(1)式に $L_1 C_1$, (2)式に $L_0 C_0$ をかけて、辺々加え合せた式と、(21)式から、(22)式を引いた式は次の変換を行なう。

$$C_1 V_1 + C_0 V_0 = y_1 \quad (2.3)$$

$$V_1 - V_0 = y_2 \quad (2.4)$$

その結果、次の方程式が得られる。

$$\frac{d^2 y_1}{dt^2} + \frac{1}{G R_1} \frac{dy_1}{dt} + \frac{1}{G L_1} y_1 = 0 \quad (2.5)$$

$$\begin{aligned} \frac{d^2 y_2}{dt^2} &+ \left(\frac{1}{G R_1} + \frac{1}{G r} + \frac{1}{C_0 r} \right) \frac{dy_2}{dt} \\ &+ \left(\frac{1}{G L_1} + \frac{1}{G l} + \frac{1}{C_0 l} \right) y_2 = 0 \end{aligned} \quad (2.6)$$

(25), (26)のように、この回路の V_1, V_0 はそれぞれ独立な 2 つの振動 y_1, y_2 の合成で表わせる。

(25), (26)の一般解を

$$y_1 = A_0 e^{i\omega t}$$

$$y_2 = B_0 e^{i\omega t} \quad (2.7)$$

と表わす。複素数振幅 A_0, B_0 は初期条件によりきまる。

V_0 は注目すれば、(23), (24)より、

$$V_0 = \frac{1}{C_0 + C_1} (y_1 - C y_2) \quad (2.8)$$

のよう y_1, y_2 の2つの振動の合成であるから。

$$V_0 = \{ |A_0| e^{i\omega_1 t} - C_1 |B_0| e^{i\omega_2 t} \}$$

$$= \frac{1}{C_0 + C_1} \{ A_0 - C_1 B_0 e^{i(\omega_2 - \omega_1)t} \} e^{i\omega_1 t} \quad \text{---(2.9)}$$

C_0 の電圧はオ2.3回のように予想される。 $e^{i(\omega_2 - \omega_1)t}$ の振動を $e^{i\omega_1 t}$ の振動より、はるかに早く減衰するように λ, τ を決めることができる。

発振条件を求めるために、スイッチ投入直後の電圧は、オ2.3回に示すように、平均的に。

$$V_0 = \frac{1}{C_0 + C_1} A_0 e^{i\omega_1 t} \quad \text{---(2.10)}$$

と考える。

$$A_0 \text{は初期条件より, } A_0 = y_1(t=0) = C_1 V_1(t=0) + C_0 V_0(t=0) \quad \text{---(2.11)}$$

$V_1(t=0), V_0(t=0)$ はスイッチ投入時の瞬時電圧を表す。 V_0 は $C_0 L_0$ で決まる振動数で振動し、スイッチの投入時の位相により、(2.11)式の C_0 の電圧の瞬時値 $V_0(t=0)$ は変動する。スイッチ投入時の V_0 の位相を α とすると、その時の C_0 の電圧は、 $V_{0m} e^{i\alpha}$ 、位相 α のときスイッチを投入し、投入直後、振幅が増大する条件は、

投入直後の振幅 — 投入以前の振幅 > 0

$$\left| \frac{1}{C_0 + C_1} A e^{i\omega_1 t} \right| - \left| V_{0m} e^{i\omega_1 t} \right| > 0$$

(2.10)式、(2.11)式より、

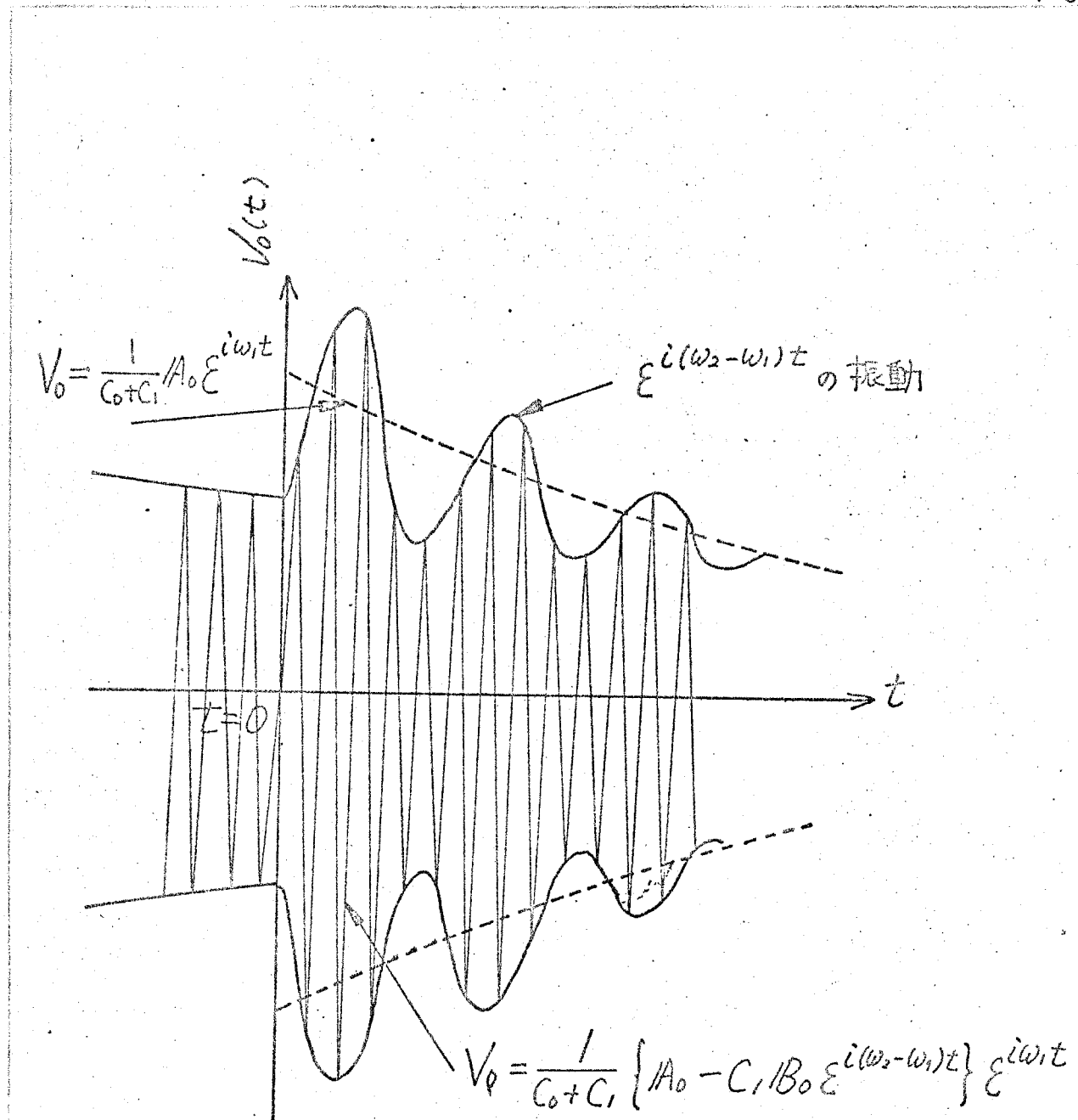


図2.3 回路コンデンサ C_0 の電圧。
ターン回路コンデンサ C_0 の電圧。

$$\frac{1}{C_0 + C_1} (C_1 V_1 + C_0 V_{om} \cos \alpha) - V_{om} > 0 \quad (2.12)$$

ここで

$$\frac{C_1}{C_0} = c, \quad \frac{V_{om}}{V_1} = k$$

振幅が増大するため、 c, k の条件は。

$$\cos \alpha > 1 + c - \frac{c}{k} \quad (2.13)$$

となり、 c をパラメーターにすると α 2.4 図のようになる。位相差がより小さな位相差の時、スイッチを投入すればよい。

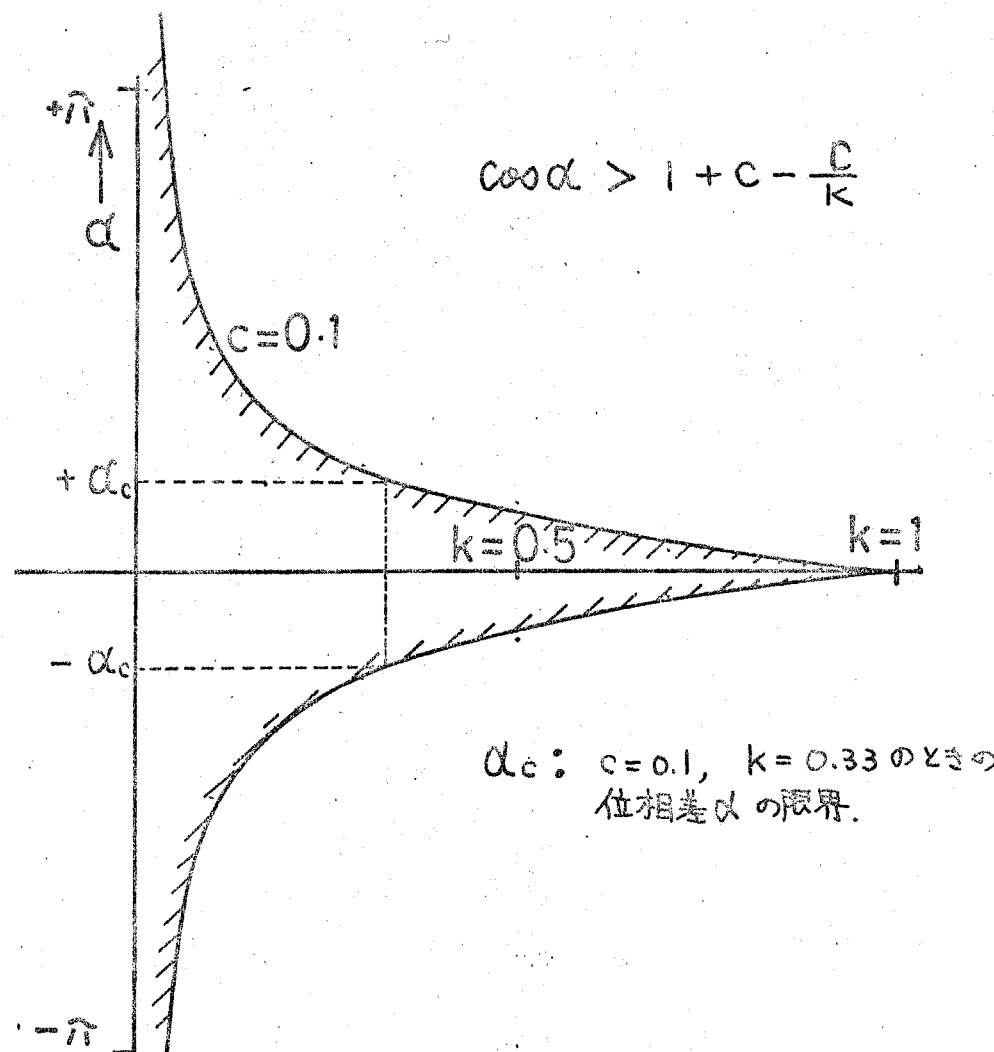


図 2.4

第2.4図の示すように、スイッチの投入位相差の要求は κ が大きくなる (V_0 の振動が成長する) にしたがって、きびしくなり、 V_0 の振動周期を T とするとスイッチ投入のジッターは $T \times \frac{d}{2\pi}$ 以下にしなくてはならない。技術的にギャップスイッチの投入のジッターをいかに小さくできるかが、この方式の発振周波数の上限を求めると思われる。

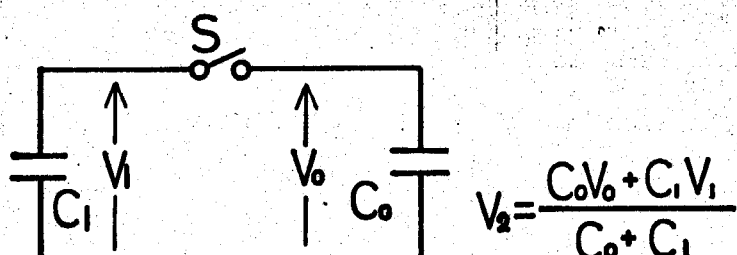
$d = 0$ で投入することは、もっとも効率よくタンケ回路の振動が増大し、ジッターは、効率を落とすことになる。

(2.13) 式右辺が、-1以下の条件では、全ての κ で振幅が増大することを示している。これは、いかなる位相の時に、スイッチを投入しても C_0 の振動が増大し、ランダムな位相のパレスによる発振の可能性を示している。

スイッチを投入した後の振幅は、投入直前 ($t = 0$) の V_1 , V_0 の大きさのみによって決まり。これは充電されたコンデンサ初期充電と同じことだが、行なわれていることがわかる。振動のエネルギーは直流的なコンデンサーの充電と同じように充電できる。(第2.5図)

2.3 発振効率

コンデンサ C_1 に充電されたエネルギーのどれだけが、高周波振動となって、負荷に供給されるかを考えて見る。



V_0 : C_0 に残った電圧。

V_1 : C_1 に充電された電圧。

V_2 : スイッチ S を投入した後の電圧

第2.5図

振動のエネルギーの移動は、コンデンサからコンデンサへの充電と同じであることは、すでに述べた。オフ.5図のように、パルス充電後の C_0 の端子電圧を V_2 とすると、

C_0 に増加したエネルギーは

$$\frac{1}{2} C_0 (V_2^2 - V_1^2)$$

であり、入力エネルギーは、 $\frac{1}{2} C_1 V_1^2$ である。

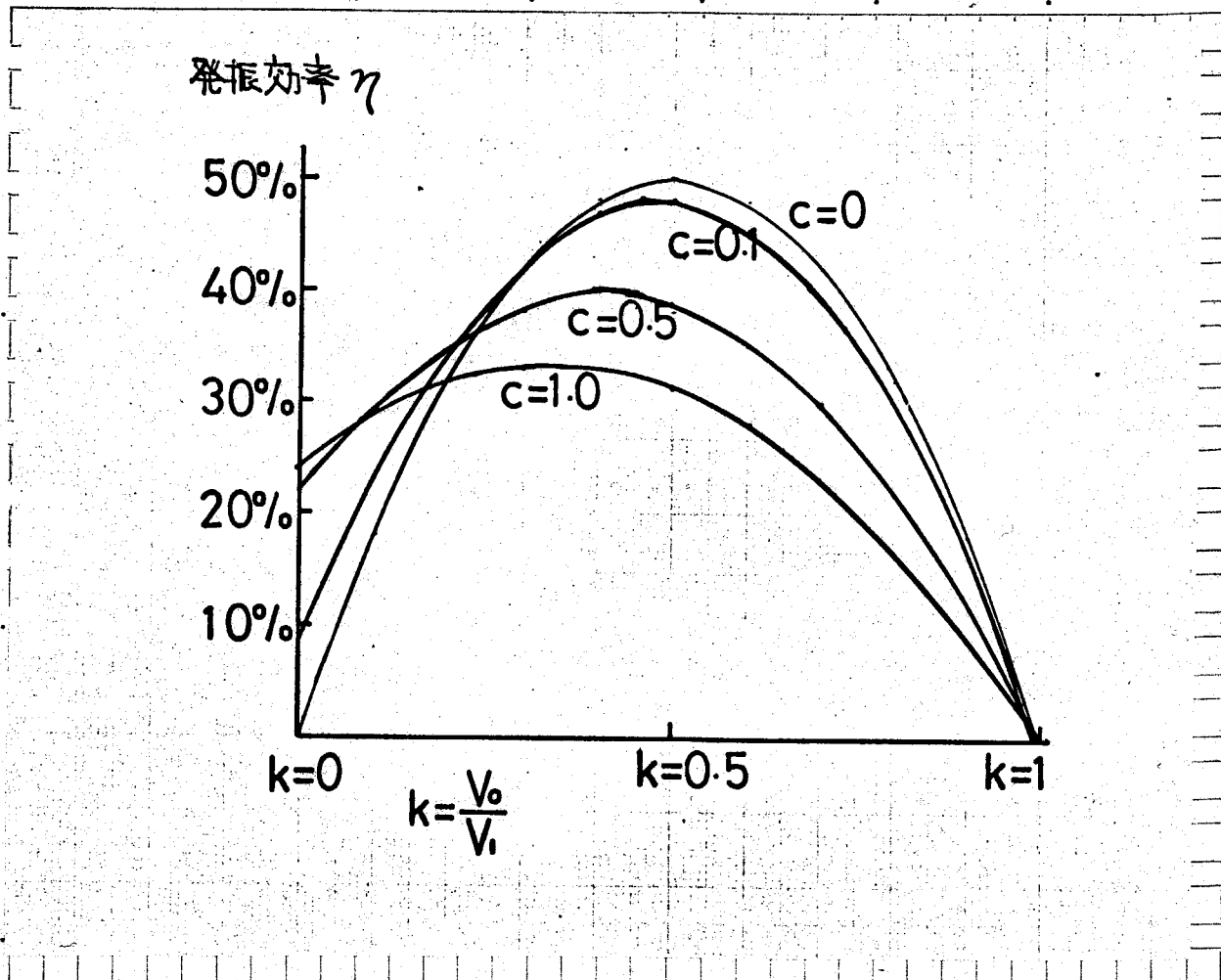
したがって発振効率は

$$\text{発振効率} = \frac{C_0 \text{に増加したエネルギー}}{\text{入力エネルギー}}$$

$$\eta = \frac{C_0 (V_2^2 - V_1^2)}{C_1 V_1^2} \quad (2.14)$$

となる。これは、オフ.6図に示すように、

$k = \frac{1}{C+2}$ のとき、最大の効率 $\eta = \frac{1}{C+2}$ となるような二次曲線である。



2.6 四

2.4 予備実験

(27)(28)
真空ギャップは、非常に絶縁回復特性が良いことは、すでに多くの文献で示されているが、著者の要求に対する条件の実験がなく、従来のデータは、すべて数ms以上、定常的に数百Aの電流を流した後の回復特性である。ここでは数μs、パルス的に電流値も数kA流した時の回復特性が、必要である。次のようなことを、確かめるために、予備実験を行った。

(1) ギャップスイッチ、真空ギャップの投入位相が、ジッターを充分小さく制御できるか。

(2) タンク回路の振動を増大させることができるか。

(3) タンク回路の振動を増大した後、真空ギャップが、絶縁を回復して充電用振動回路を切り離すか。

以上3つのことを、実験するため2.7回の回路で予備実験を行った。タンク回路はQを高くして、振動を長く持続させたいので C_0 はQの高いマイカコンデンサ、 L_0 は半同軸円筒コイルで、 $C_0 = 45000 \text{ pF}$ 、耐圧45kV、 $L_0 = 0.55 \mu\text{H}$ 、共振周波数1MHzである。充電用振動回路のQは、高い必要はないが、電圧立ち上がりを速くして、真空ギャップを自己破壊させねばならない。 C_1 は40000pF、耐圧20kVのマイカコンデンサを8段積みしたマルクスゼネレーターで、発生電圧は160kV、 L_1 は5μHである。マルクスゼネレーターのギャップの始動は、電解歪型を採用し、8段目のギャップまでトリガーアクションした。

真空ギャップは、SUS-27、ステンレス製25mmφの球ギャップをベローズでギャップ長を可変できるようになっている。真空度は 10^{-6} Torr 以下でガラス管に封じ切られている。 L は5μH、 T は5オームから、50オームまで、可変である。

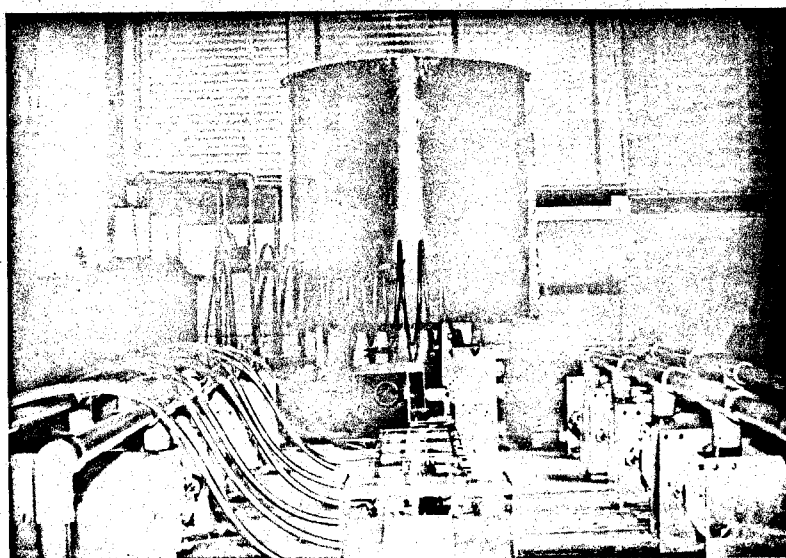
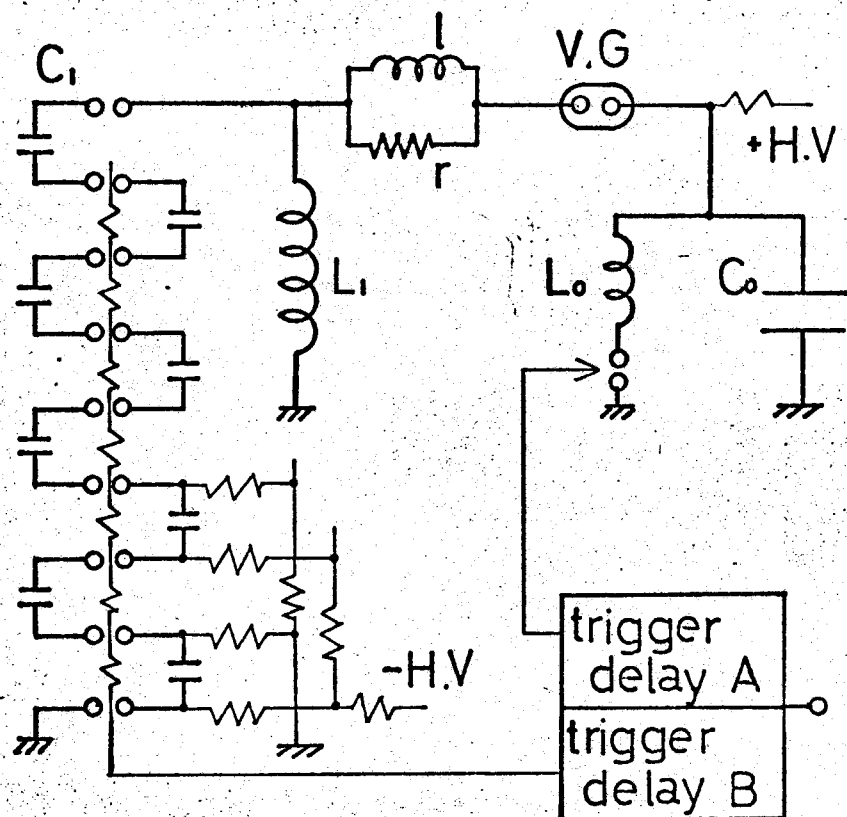
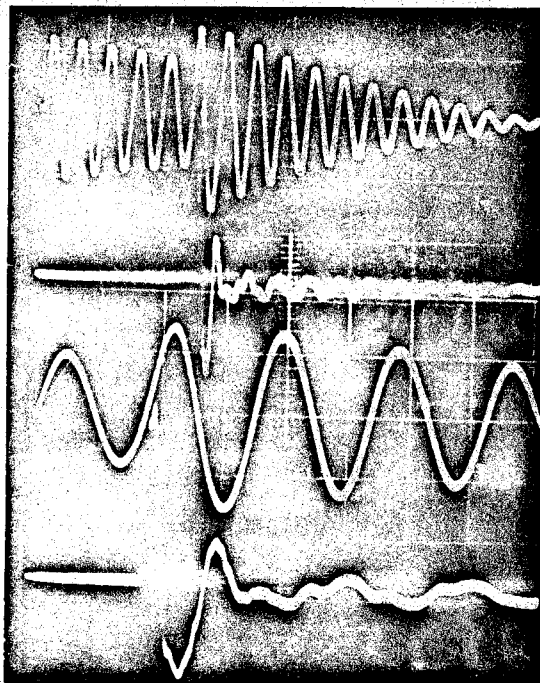


図2.7回 予備実験回路



Ia 1.5 KA/div

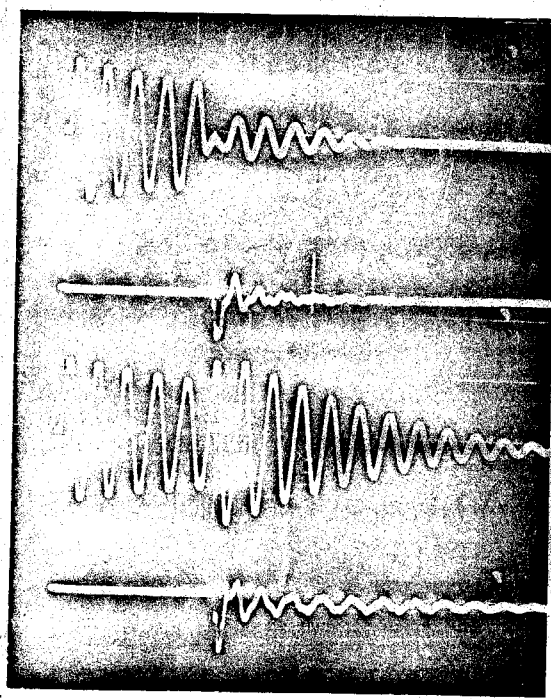
Ib 1.0 KA/div

IIa 1.5 KA/div

IIb 1.0 KA/div

Ia,b 2 μ S/diva. I_L の電流
b. 真空ギャップの電流IIa,b 0.5 μ S/div Iと同じ条件で時間
掃引を拡大した。

2.8 図



Ia 1.5 KA/div

Ib 1.0 KA/div

IIa 1.5 KA/div

IIb 10 KA/div

I_{a,b} 最っとも振動を減衰する
位相で投入した。

II_{a,b} 最っとも振動を増大する
位相で投入した。

2.9 図

実験は、タンク回路をトリガーアで振動させ、適当な時間遅れて、トリガーアBにより C_1 のマルクスゼネレーターを始動する。

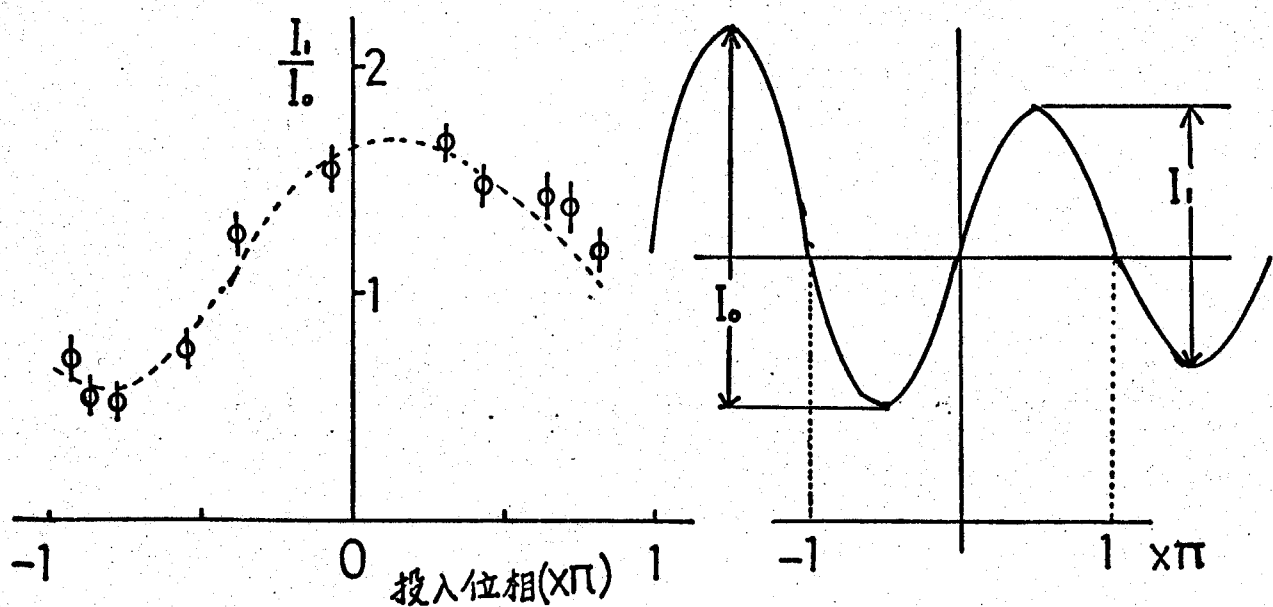
オ2.8図のように、周期、位相を変えずにエネルギーが移動し、振動が増大している。オ2.8図のIIbの真空ギャップ電流によると、 $0.8\mu\text{s}$ で真空ギャップ⁽²⁹⁾Aは、切れている。その後に続く電流は100A程度で残留イオンによる電流と、考えられる。オ2.9図は投入する位相により、タンク回路の振動が増大、または減少することを示している。また、 $L_0C_0 = L_1C_1$ の条件から、 L_1 を±20%変化せても、真空ギャップ⁽²⁹⁾は、確実に切れることがわかった。このような条件下、真空ギャップ⁽²⁹⁾は非常に速く絶縁を回復し、発振器の要求を満たすことが、実験的に示された。

さらに投入位相と波形の増幅度の大きさをプロットすると、オ2.10図のようにサイン波形の上になる。これは(2.10)式より

$$V_o = \frac{1}{C_0 + C_1} A e^{i\omega t}$$

$$= \frac{1}{C_0 + C_1} (C_1 V_i + C_0 V_{om} \cos \alpha) e^{i\omega t} \quad \text{---(2.15)}$$

であることを証明する。波形の増大・減少は投入時の電圧の大きさのみに、よる二ことが、わかる。

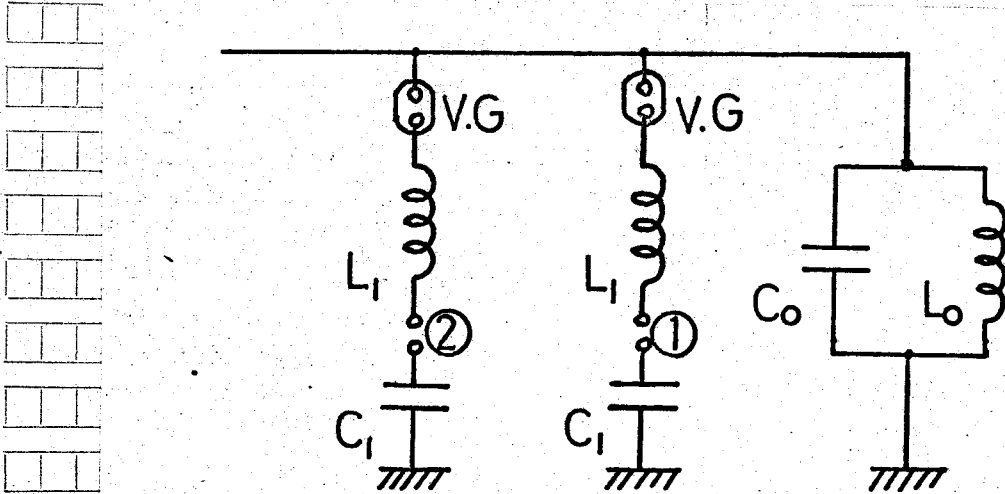


オ2.10図

2.5 直列共振法による発振

2.1～2.4まで述べた方法を充電用振動回路が並列共振回路であるので、これを並列共振法による発振と呼ぶ。

2.4の予備実験において、真空ギャップの強力な絶縁回復力が実験的に示され、さらに、後に述べるが、マルクスゼネレーターのギャップをすべて真空ギャップで構成する真空ギャップマルクスゼネレーターを使用したとき、Xのギャップの絶縁回復力はさらに強力となる。そこで今まで述べてきた並列共振法による発振の他に、直列共振による発振の可能性がある。直列共振法の基本回路は、オ2.11図のようである。

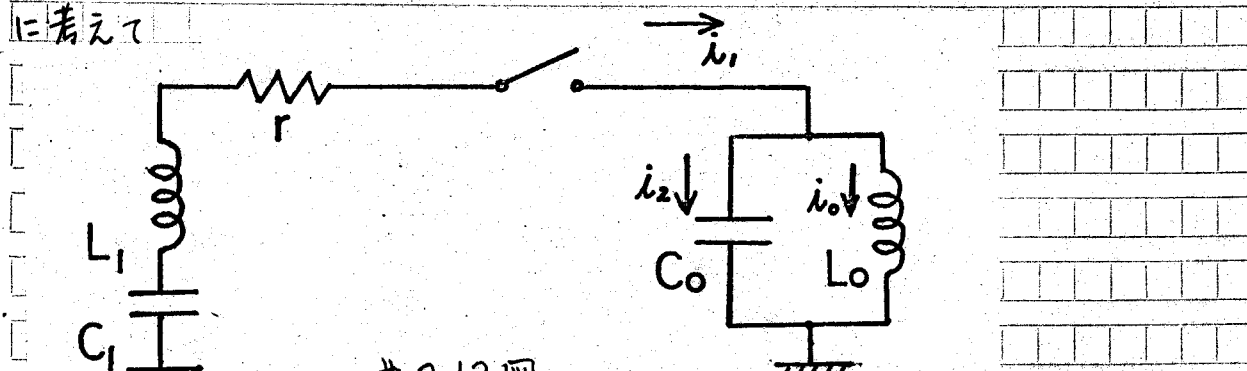


オ2.11 図

C_0L_0 よりなるタンク回路と並列に C_1, L_1 からなる多数の充電用振動回路を真空ギャップで結ぶ。オ2.1図と異なり充電用振動回路は直列共振回路となつていい。①をトリガーするによって、電流パルスが、V.G.を通って、タンク回路を励振する。充電用振動回路のサーボインヒーダンスをタンク回路のそれより大きくしておくと、真空ギャップ・V.G.は充電用振動回路の放電電流が減衰した所で強力な絶縁回復力により消弧してしまう。

次に③をトリガードするなどによって、同じようにはタンク回路は、励振され、連続して振動する。

直列共振法の充電用振動回路は、V.Gを自己破壊させるためにどうしても、タンク回路より高インピーダンスになるため、タンク回路へと流れ励振電流は、ほとんど L_1, C_1 により決定されると考えてよい。そこで、オフ.12図のように考えて



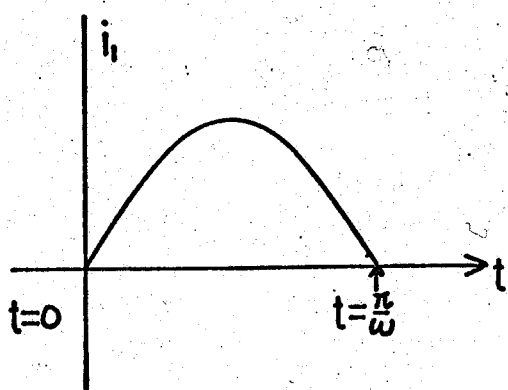
オフ.12図

$$L_o \frac{di_o}{dt} = \frac{1}{C_o} \int i_2 dt \quad i_0 + i_2 = i_1$$

$$L_o \frac{di_o}{dt} + \frac{1}{C_o} \int i_o dt = \frac{1}{C_o} \int i_1 dt \quad (2.16)$$

$$\frac{d^2 i_o}{dt^2} + \frac{1}{L_o C_o} i_o = -\frac{1}{L_o C_o} i_1 \quad (2.17)$$

i_1 は C_1, L_1, r を変化させるなどにより、多種の波形が考えられるが、では、オフ.13図のような波形を考える。



オフ.13図

$$t < 0, \frac{\pi}{2} < t, i_1 = 0$$

$$0 < t < \frac{\pi}{2}, i_1 = I_1 \sin \omega t$$

図2.13の波形は、後の実験で得られた波形とよく一致している。

2.17式は、初期条件としてスイッチSが、閉じる前の電流を

$$i_0 \quad t < 0 = I_0 \cos(\omega_0 t + \alpha) \quad \text{---(2.18)}$$

とすると、2.17式の一般解は、

$$i_0 = I_0 \cos(\omega_0 t + \alpha) + \frac{\omega_0^2 I_0}{\omega_0^2 - \omega^2} \cos(\omega t - \frac{\pi}{2}) \quad \text{---(2.19)}$$

(30)

$\omega = \omega_0$ とすると ロピタルの定理より

$$i_0 = I_0 \cos(\omega_0 t + \alpha) + \frac{\omega_0 I_0 \pi t}{2} \sin(\omega_0 t - \frac{\pi}{2}) \quad \text{---(2.20)}$$

スイッチSを投入した後 $\frac{T}{2}$ 秒のちの i_0 は (2.20) 式へ $t = \frac{\pi}{\omega_0}$ を代入して

$$i_0 = I_0 \cos(\omega_0 t + \alpha) + \frac{I_0 \pi}{2} \sin(\omega_0 t - \frac{\pi}{2}) \quad \text{---(2.21)}$$

$$= I_0 \cos(\omega_0 t + \alpha) + \frac{I_0 \pi}{2} \cos \omega_0 t$$

$$= I_0 e^{i(\omega_0 t + \alpha)} - \frac{I_0 \pi}{2} e^{i \omega_0 t}$$

$$= (I_0 e^{i \alpha} - \frac{I_0 \pi}{2}) e^{i \omega_0 t} \quad \text{---(2.22)}$$

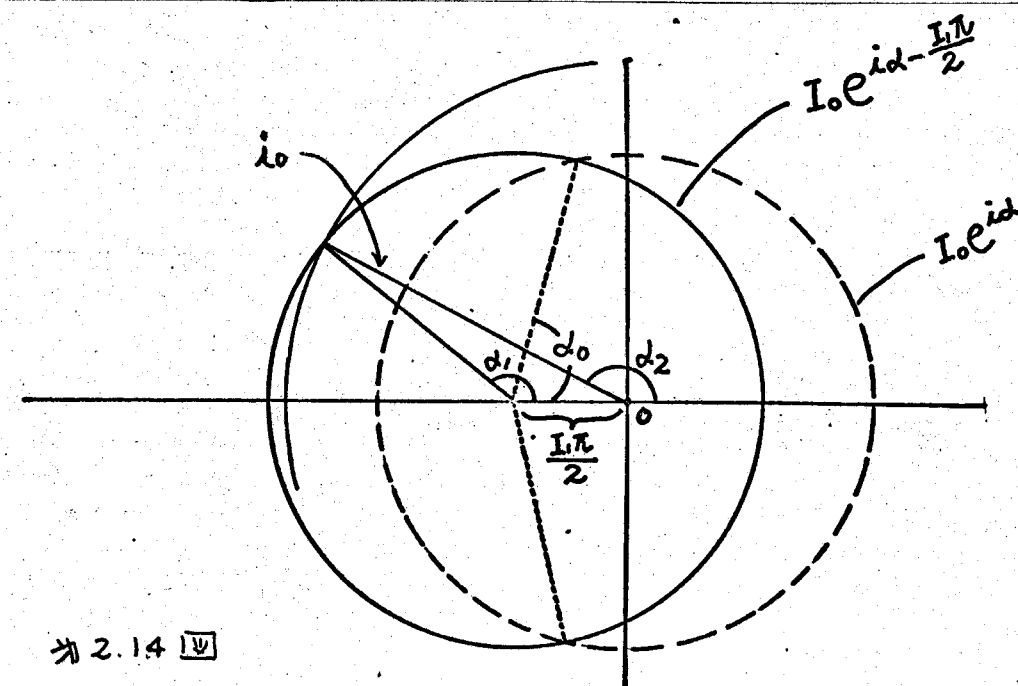


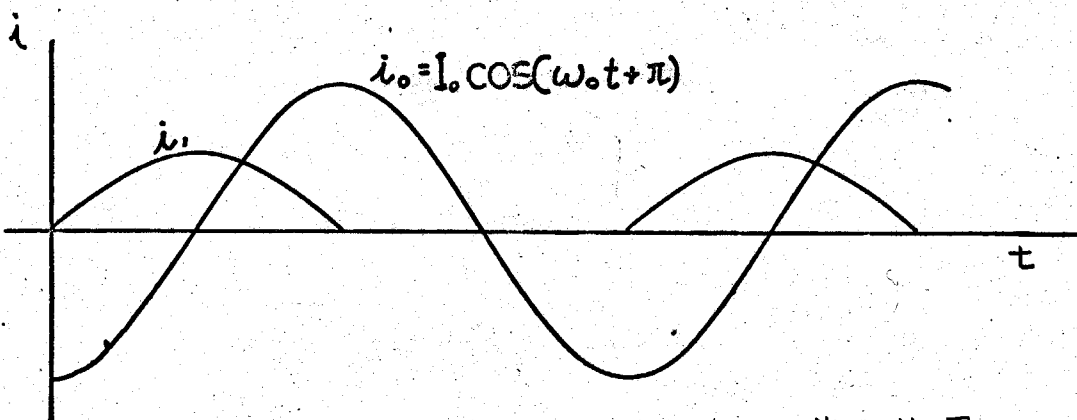
図2.14 四

$\alpha = \alpha_1$ のときは、スイッタを投入すると $\frac{\pi}{\omega}$ 秒後に i_{01} 。

$$i_0 = \left| I_0 e^{i\alpha_1} - \frac{I_0 \bar{i}}{2} \right| e^{i(\omega_0 t + \alpha_2)} \quad (2.23)$$

i_0 が増大するときは、すべての位相は、 $\alpha_2 = \pi$ に近づこうとする。これは、 $C_0 L_0$ 回路の振動数がスイッタの投入位相により変化できることを示す。 $\alpha_1 = \pi$ のときは、最大の増幅となり、 i_0 の位相は、変わらない。

オフ.15 図に最大の効率でタンク回路を励振するパルス列の位相関係を示す。



オフ.15 図

振動が増大する条件は、オフ.14 図より

$$\pi - \alpha_0 < \alpha_1 < \pi + \alpha_0 \quad (2.24)$$

$$\text{ここで } \alpha_0 = \cos^{-1} \frac{I_0 \bar{i}}{4 I_0} \quad (2.25)$$

第3章 大電力高周波発振器の建設

3.1 発振出力

予備実験の結果とともに、プラズマの動的安定化、加熱用大電力高周波発振器を建設した。発振周波数は動的安定化用に1MHzとした。大直径50cm、小直径1cmのトーラス状プラズマに10kAの高周波電流を流して動的安定化する為には、プラズマのインダクタンスを $0.5\mu\text{H}$ 、トーラス装置全体の1MHzに対するQを10とすると、16MWの発振出力が必要となる。

オ2.6回の効率のゲートより C_1 と C_0 の比を 0.1 ($c=0.1$)にとると

$$K = 0.33 \text{ のとき } \text{ 効率 } \eta = 0.44 \text{ となる。}$$

したがって16MWの出力を得るための V_1 は次式から求められる。

$$16\text{MW} = \frac{1}{2} C_1 V_1^2 \times 0.44 \times \frac{1}{T_d} \quad \text{---(3.1)}$$

ここで T_d はマルクスゼネレーターの放電時間間隔である。

$$T_d = 1\mu\text{s.} \quad C_1 = 5.000\text{pF} \text{ すると } L = 5\mu\text{H.}$$

3.1式より

$$\therefore V_1 = 120\text{KV.}$$

よって

$$C_0 = 50.000\text{pF} \quad V_0 = 40\text{KV.}$$

$$L_0 = 0.5\mu\text{H}$$

適合負荷抵抗 R_0 は 50Ω でタンク回路のQは15となる。

真空ギャップは120KVで自己破壊し、40KVで破壊しないようにギャップ長を調節する。この調節は自己破壊電圧の不安定な真空ギャップにしても

きわめて容易な条件である。

将来この方式の発振器を長時間発振させるためには、マルクスゼネレーターの数をふやす必要がある。もしも、一度放電したマルクスゼネレーターを再使用することができれば、ある一定数以上のマルクスゼネレーターとくりかえし、放電をすることにより、長時間の発振が可能となる。著者は消弧力の強力な真空ギャップを使用して、短時間に再充電して、再使用することのできるマルクスゼネレーターを開発した。図3.1 図に示すように、真空ギャップによて構成されたマルクスゼネレーターを10台用いて、1MHz, 16MW, 30μS の発振を目指とした大電力高周波発振器を建設した。

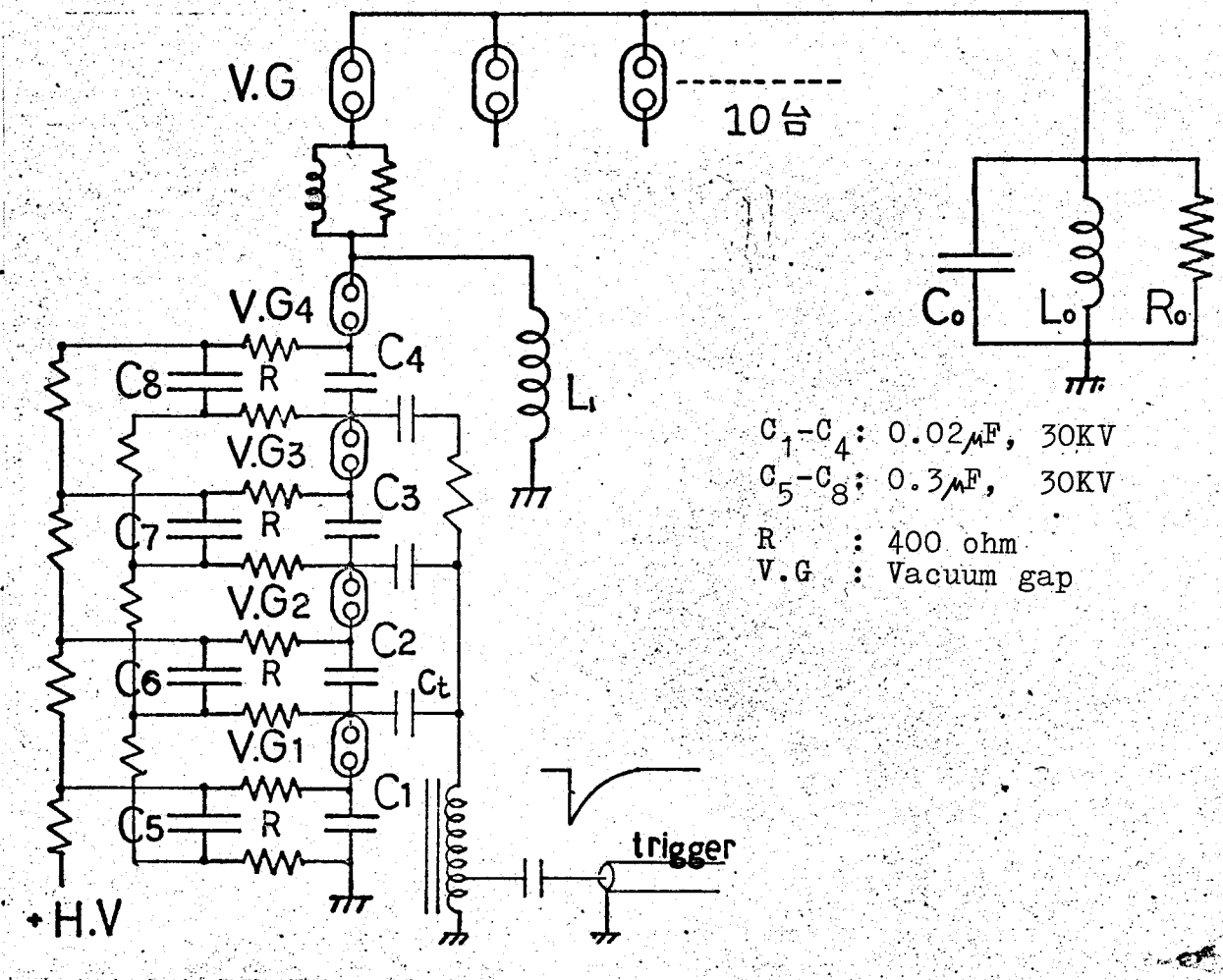


図3.1

3.2 主振動回路(タンク回路)

*3.1 図の主振動回路 C_0, L_0 は Q を高くして、効率よく負荷に出力を供給したい。そのため L_0 のコイルは同軸円筒コイルを用いる。(第3.3図)

L_0 : 内部円筒 直径 10 cm の銅板製

外部円筒 直径 1 m のアルミ板製

長さ 1 m

インダクタンス $L_0 = 0.48 \mu H$

C_0 : コンデンサ C_0 はマイカコンデンサーで製作上円筒コイルをマキえるために 3 個並列にして用いる。

C_0 : $45.360 \mu F$, 45 KV 耐圧

共振周波数 1 MHz.

R_0 : 負荷として並列に 50 Ω をつなぐと $Q = 15$ となる。これは 50 Ω 同軸ケーブルで出力を取り出すのに便利である。タンク回路の Q は無負荷時 170 (数値のオシレーターにより実測) であるからタンク回路効率は 91 % となる。

3.3 充電用振動回路

*3.1 図に示すように $0.02 \mu F$, 耐圧 30 KV の油入紙コンデンサー 4 積

のマルクスゼネレーターである。従来のマルクスゼネレーターは水中ギャップまたはトリガーフィード付き水中ギャップで構成されているが、ここでは封じ切り真空ギャップを用いる。真空ギャップの強力な絶縁回復特性により、一度放電したのち、 $10\sim20\mu\text{s}$ で再びマルクスゼネレーターを放電することができる。

$C_1 \sim C_4$ には抵抗を通して再充電できるように、再充電用コンデンサ、 $C_5 \sim C_8$ が結合されている。真空ギャップはダイヤフラムによりギャップ長さを可変できる。

従来のマルクスゼネレーターではジッターを小さく動作させるために、水中ギャップにトリガーピンが設けている。ところがこの真空ギャップマルクスゼネレーターは放電後の絶縁回復をよくするために、真空ギャップにはトリガーピンではなく、すべて過電圧によって自己破壊させる。すなわち、図3.1に示すようにコンデンサの2段目、3段目、4段目に充電タップと逆極性のパルス電圧を与えて、 $V.G_1$ から $V.G_4$ へと順次自己破壊させる。

トリガーには充電された $50\text{ }\mu\text{F}$ ケーブルの放電をパルストラnsで3倍に昇圧して、 90 kV のパルスを得ている。なお、トリガーパルスコンデンサ C_t は 100 pF で十分である。このトリガー方式により、この発振器の要求を十分満足する始動特性が得られる。

i) コンデンサ $C_1 \sim C_4$

衝激大電流放電用ペーパーコンデンサで

$$C_1 \sim C_4 = 0.02\text{ }\mu\text{F}, \pm 20\% \quad \text{耐圧 } 30\text{ kV} \quad (\text{定格})$$

放電周波数 1 MHz

残留インダクタンス 120 nH

$$\tan\delta : 5\% \text{ 以下} \quad (1\text{ MHz})$$

日本コンデンサ工業 K.K 製.

ii) 再充電用コンデンサ $C_5 \sim C_8$

オイルコンデンサ: $C_5 \sim C_8 = 0.3 \mu F$. 耐圧 30 KV.

このコンデンサーは一般仕様のもので十分である。(日コニ製)

$0.02 \mu F$ へ 3 回、再充電するとコンデンサのエネルギーは半分に、電圧は 70 % になる。

iii) 再充電抵抗

衝激放電用コンデンサ $C_1 \sim C_4$ が放電した後、再充電用コンデンサ $C_5 \sim C_8$ より充電するための充電抵抗で充電の時定数は 200Ω で $4 \mu S$, 400Ω で $8 \mu S$. となる。それそれ $20 \mu S$ 後、 $30 \mu S$ 後にマルクスゼネレーターは放電可能となる。

iv) 充電抵抗

充電抵抗は $10 M\Omega$ と非常に大きくしてある。これは、真空ギャップ 7° の性質からアーケ維持電流以下では、アーケを維持できます。自己破壊しないことを利用し、ギャップがすべて自己破壊したとき以外に各ギャップに部分的に流れる電流は $1 \sim 10 A$ 以下にするべきである。

v) 真空ギャップ 7° (約 3.5 回)

$5 \mu S - 27$ ステンレスの球面ギャップでギャップ長はダイヤフラムにより $0 \sim 0.8 mm$ 变化できる。ガラス管中に封じ切りになっている。

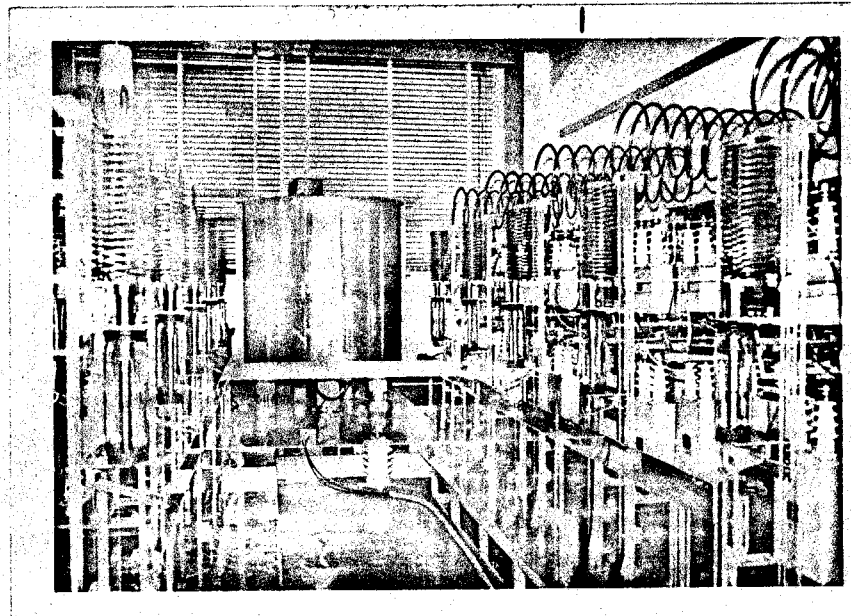
vi) L_1 コイル $L_1 = 5 \mu H$.

直径 $10 mm$ 銅パ17°

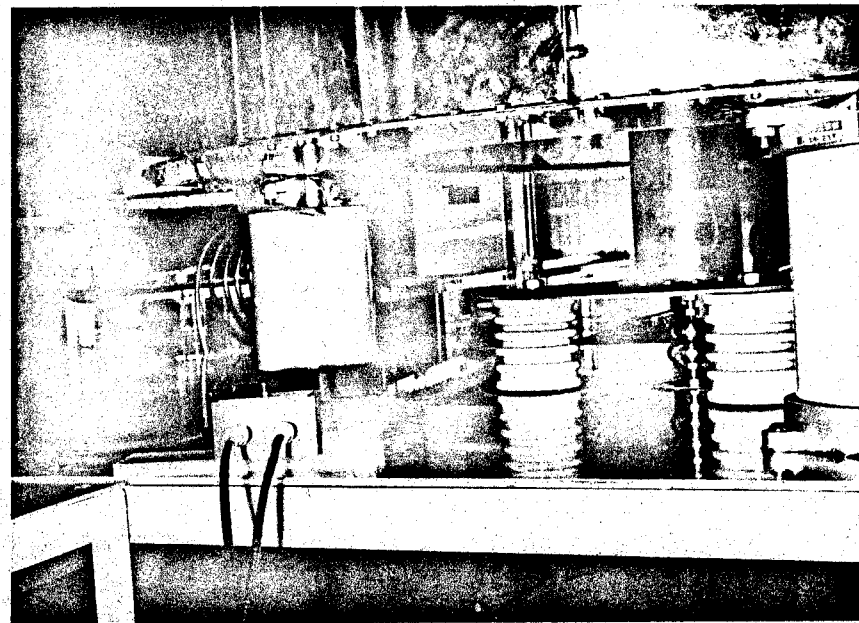
コイル直径 $20 cm$

軸方向長さ $72 cm$

ピッタ $8 cm$ 卷数 9



第3.2図 装置全景



第3.3図 下部

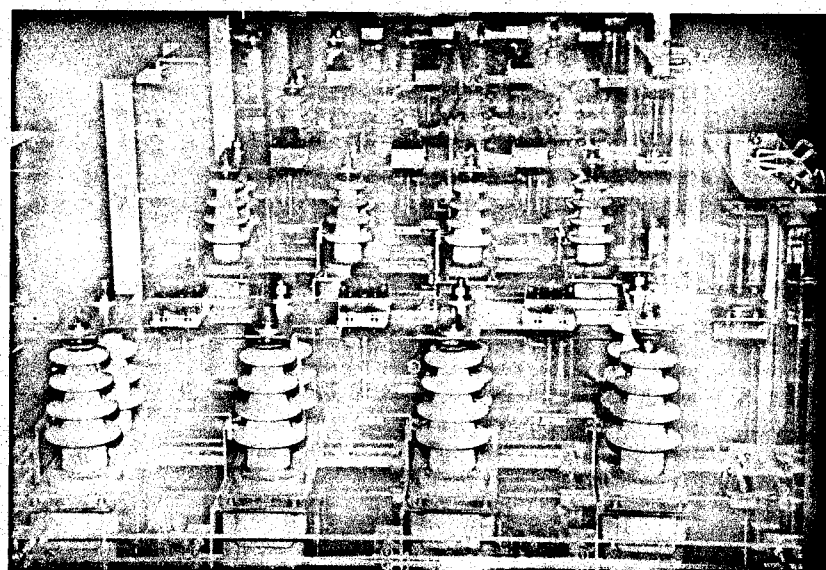


図3.4図 マルクスゼネレーター

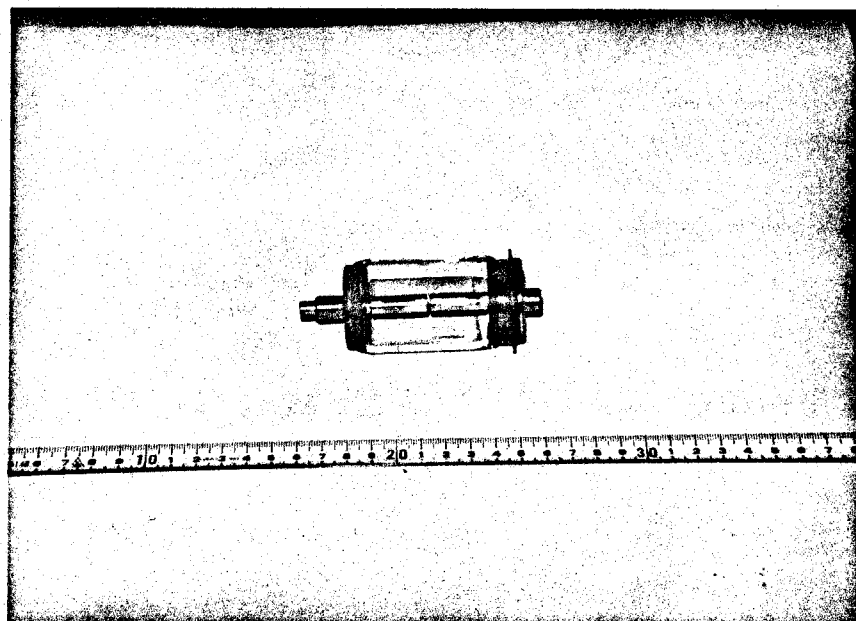


図3.5図 真空ギャップ

3.4 トリガーパルス発生回路

1台のマルクスセネーターを10~30μS 間隔で3回放電させるために、
図3.6に示すようなトリガーパルスを作った。

3.4.1 スタートパルサーおよび单安定マルチバイブレーター

制御部よりのスタートパルスによりパルス幅の長い負パルスを得て、次々と
遅延して30発のトリガーパルスを生じさせようとするものである。单安定マ
ルチバイブレーターは、IC. SN7400NのNAND回路で作製した。パルス
幅は、350μSである。図3.7にこの回路図を示す。

3.4.2 ICによる遅延回路

図3.8に2パルス分の遅延回路を示す。実際はこの回路が15台連結され
ている。回路の基本となるのは図3.5のNAND回路およびRCの積分回路
とショットリミットトリガーパルス回路とかからなる、という。

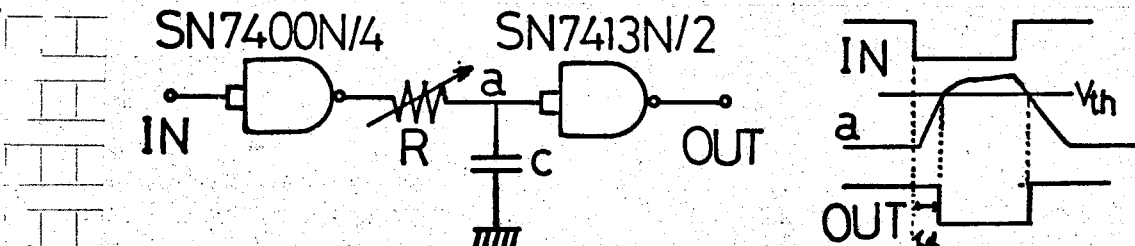
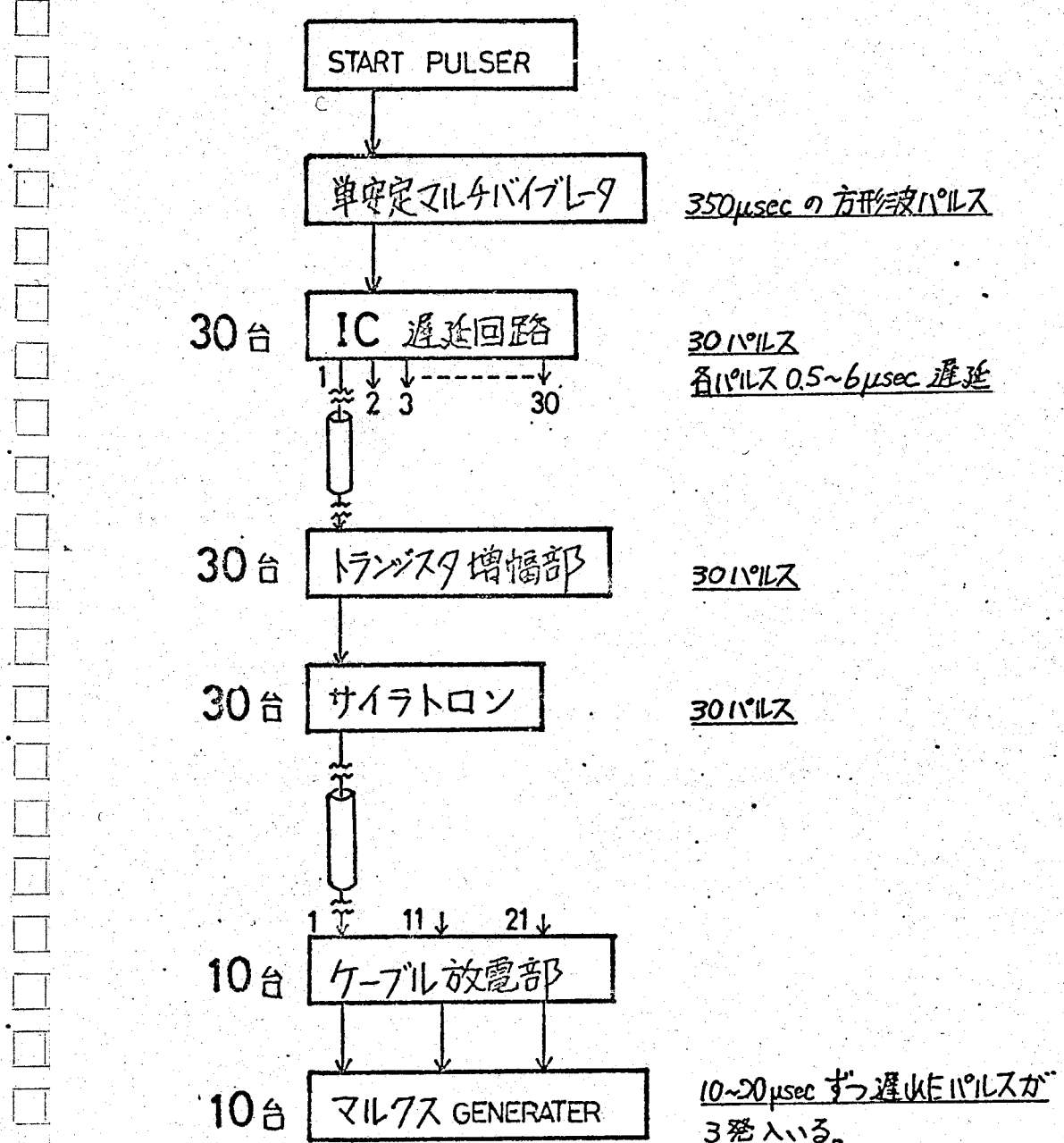
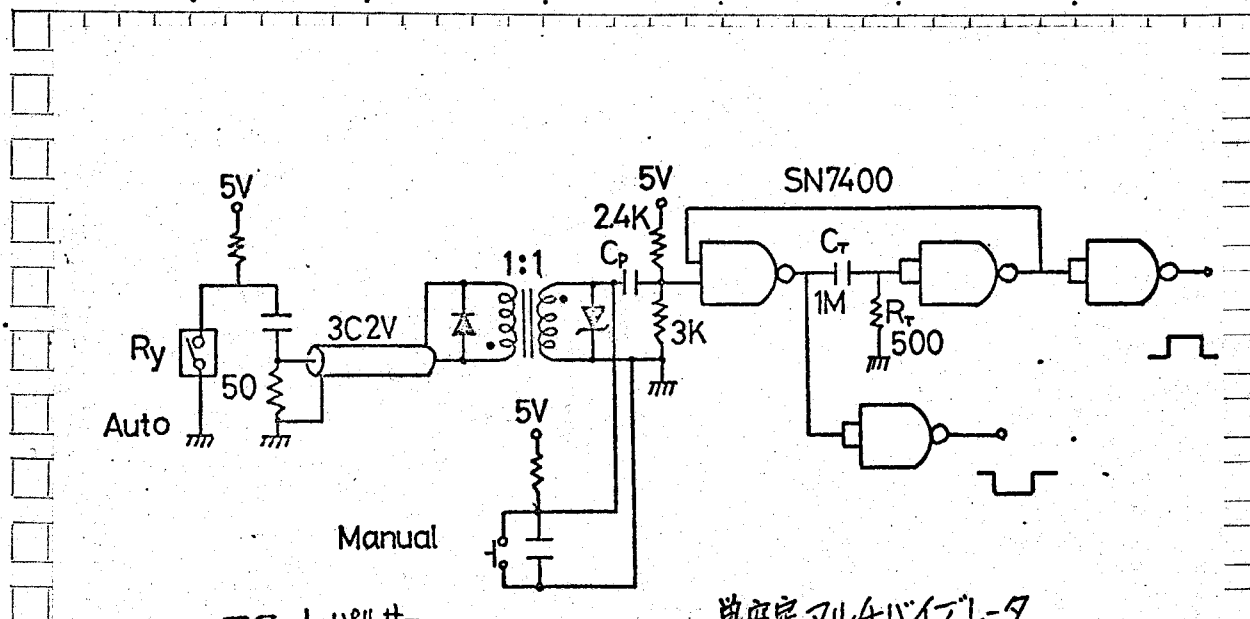


図3.5

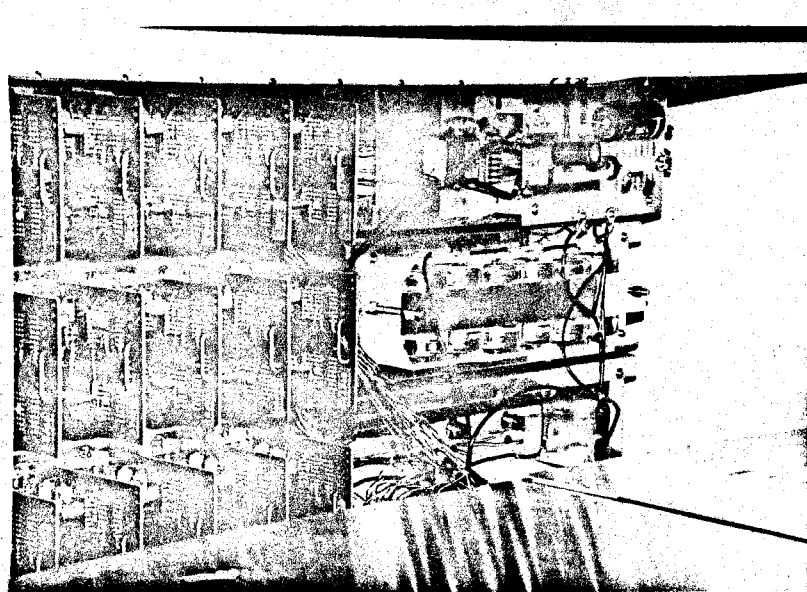
すなわち、R-C回路でa点での電圧の立ち上がりをなめらかに、スレッホー
ルド電圧を利用して遅延時間を得るものである。Rを可変することで遅延時間
を可変できる。立ち上がり 20nS ジッターなし、遅延時間 0.5~6μS の
パルスを得た。これによりスイッチングトランジスタ2SC269を駆動する。
スイッチは単独動作のチェック用であり、トランジスタの動作確認のため、
発光ダイオードを取りつけた。パルストラnsにはリンキング吸収用にクリン
グダイオードを入れた。



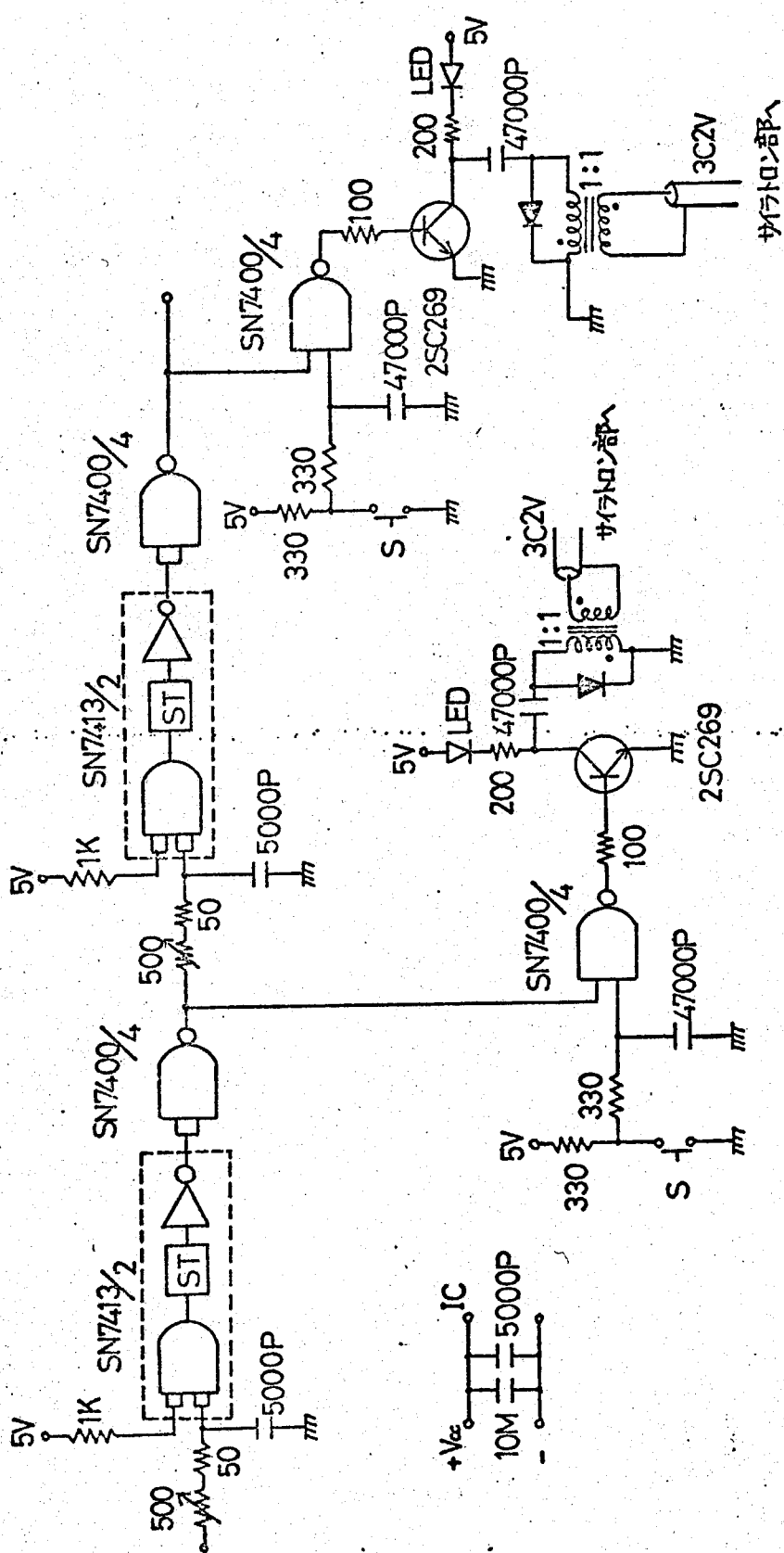
オ 3.6 図 トリガーアルゴリズム



No. 3.7



遅延回路



3.4.3 サイラトロン部

回路図を図3.9に示す。これが3.0台用いられ、ICからの数Vパルスとトランジスタおよびパルストラニスで増幅し、サイラトロンを駆動しパルストランジスタで昇圧し、5KVの気中ギャップをトリガーアシ、次のケーブル放電部を駆動する5KVのトリガーパルスを発生する。

サイラトロンの陽極電圧は600Vで定格より100V大きくなっている。

- +BTは35V、バイアスV_bは25Vで使用した。ギャップスイッチパルストラニスはそれなり(図3.10)図3.11に示す。

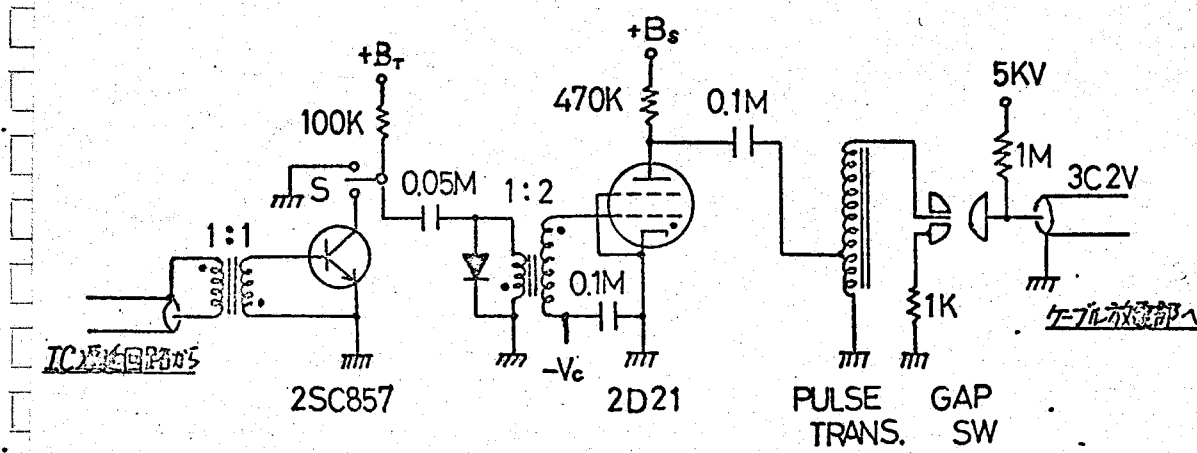


図3.9

図3.9

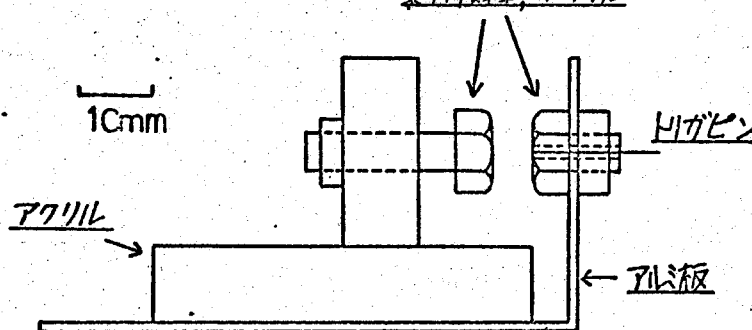
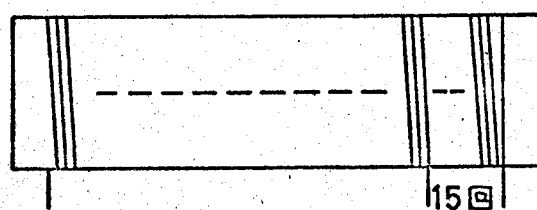


図3.10

220回



15回

巻かく：外径38mm中塩化ビニルパイプ

巻線：0.5mm中ホルマール線

コア：樹脂アライトM材 敷本

図3.11

3.4.4 ケーブル放電部

3.13 図に示すように逆極性に充電されたケーブルを空中ギャップ^o

(a) で遅延パルス発生器よりのトリガーパルスにより導通させると

(A), と (B) のケーブル間の放電によりパルスを発生し、ケーブル

(A) を通してパルストラニスへ伝搬する。空中ギャップは導通後、

1ms は導通状態にあるので、空中ギャップ (a) の導通により、ケーブ

ル (B) も $1\text{ k}\Omega$ を通して $+30\text{ kV}$ に充電される。充電電流は数 10 A

であるのでギャップ^oの導通は維持される。次に適当な遅延時間の後に、

(このときはすでに (B) への充電が完了している) 空中ギャップ (b)

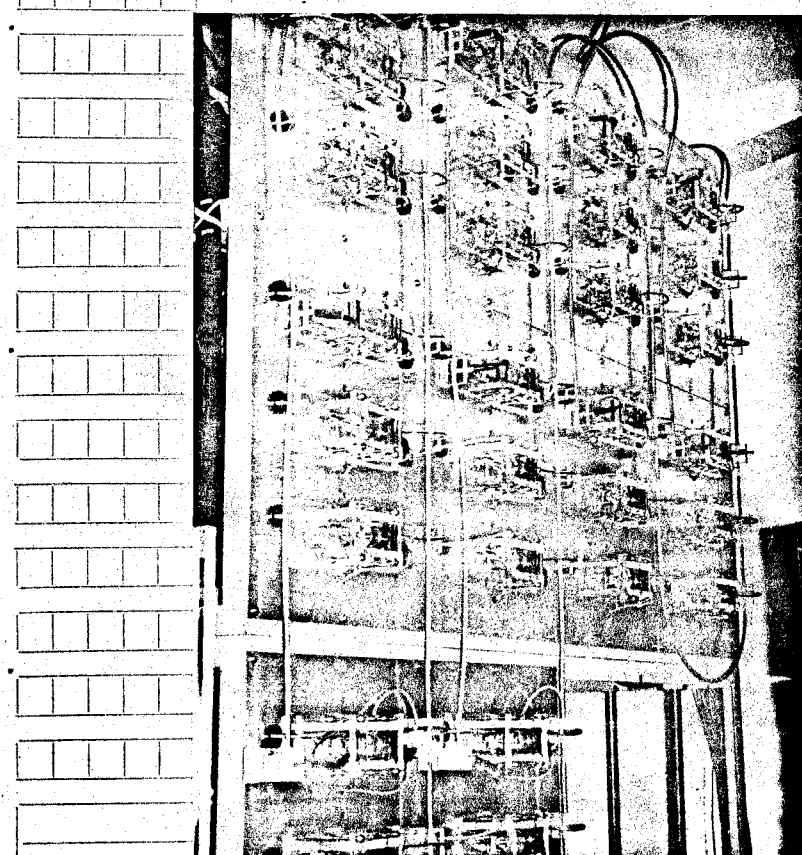
を遅延パルス発生器よりのトリガーパルスで導通させると (B), (C)

のケーブル放電によりパルスがケーブル (B), 空中ギャップ (a),

ケーブル (A) を通してパルストラニスへ伝搬する。空中ギャップ (c)

も同様にして、結果、 $10 \sim 30\text{ }\mu\text{s}$ 間隔にパルスを 3 巻、パルストラン

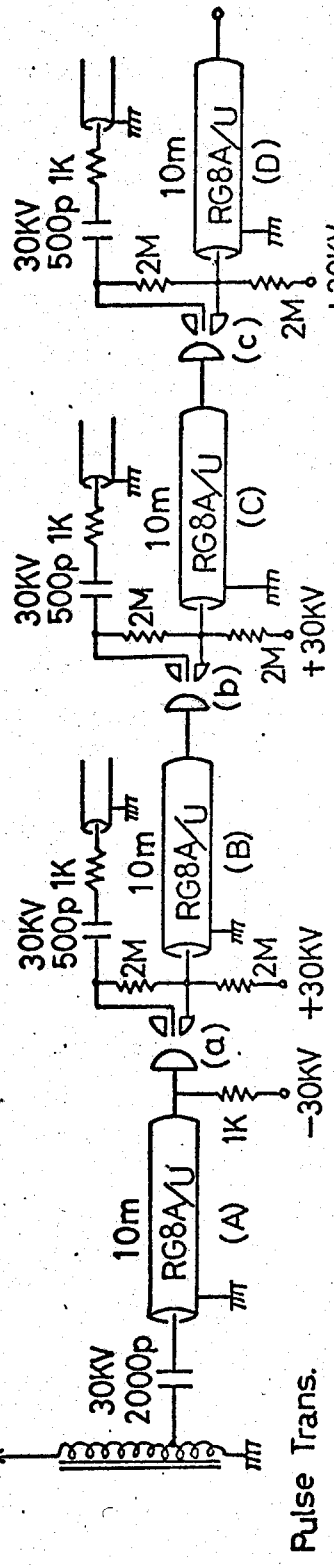
スに発生させることができる。



ケーブル放電部

3.12 図

Marx Generator



Pulse Trans.

図 3.13 ケーブル放電部(1台分)

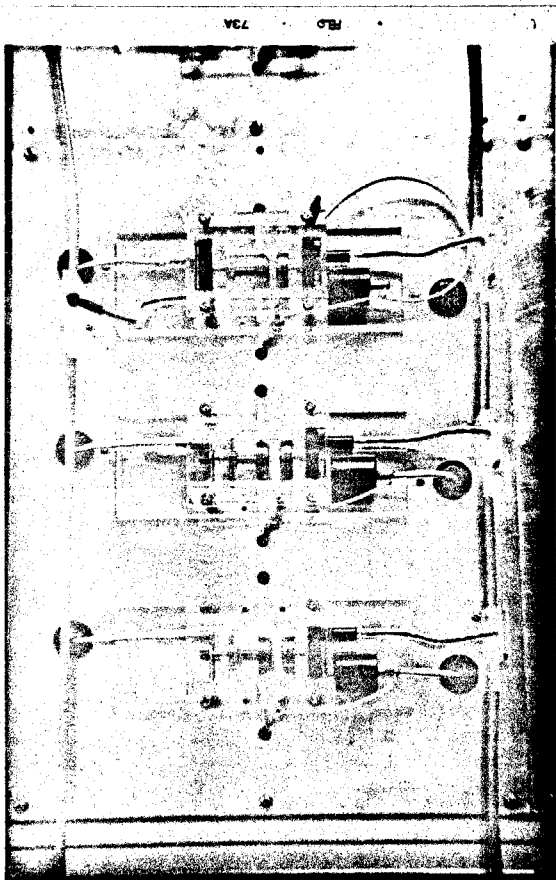


図 3.14 ケーブル放電キャップアセンブリ

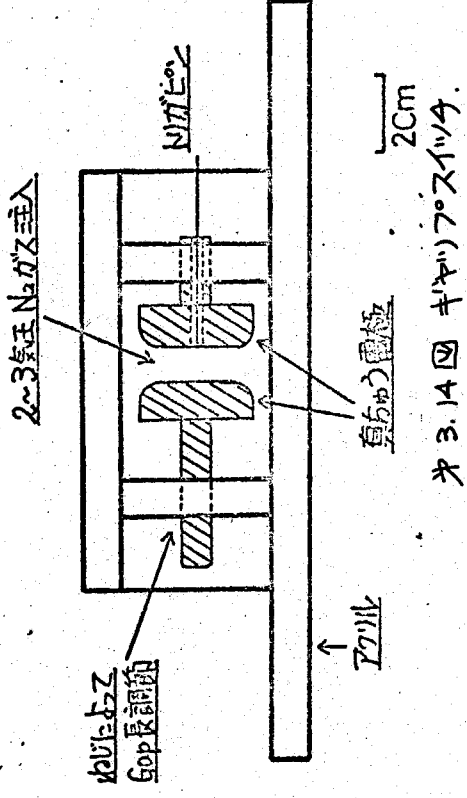


図 3.14 ケーブル放電キャップアセンブリ

3.5 制動回路

タンク回路と充電用振動回路の間にあ，T. タンク回路励振電流の振動を早く減衰させるために用いるこの回路は発振の効率にけあまり変化を与えず、真空ギャップを早く回復させる働きがある。

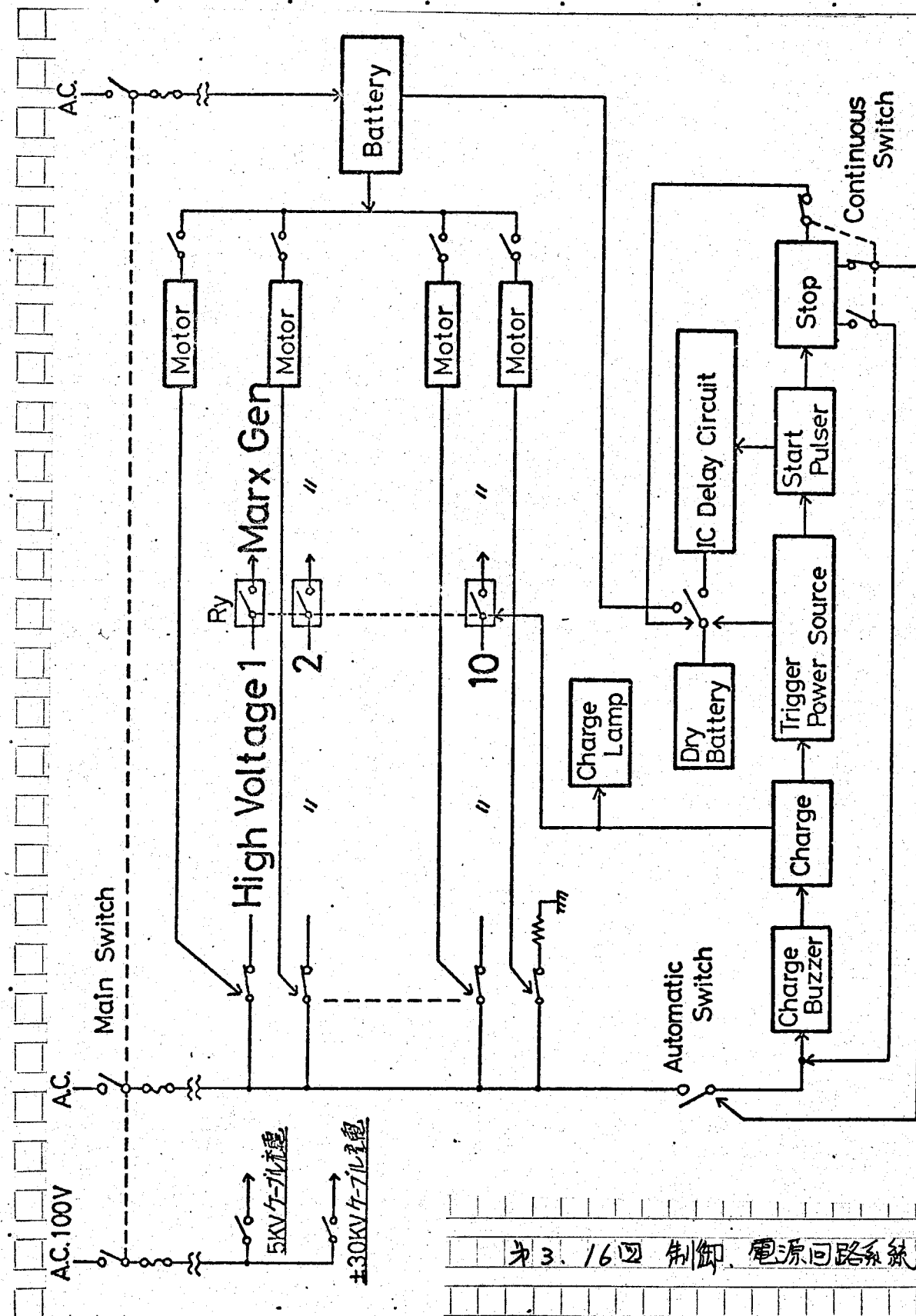
$r = 100 \Omega$ $l = 24 \text{cm}$ の高抵抗で耐圧 120kV の
ものである。

l 大 $12 \mu\text{H}$ 卷線コイル

直径 $6 \text{mm} \phi$ 銅パイプを $95 \text{mm} \phi$ $l = 30 \text{cm}$ 20巻
使用にあた，てはトを固定し、 l を変化させる。

3.6 制御部

系統図を次3.16図に示す。各マルクスゼネレーターの充電は別個にユニットローライバブルにおいてスイッチにより ON-OFF される。シーケンスコントローラーにより、一定のシーケンスをくりかえし、自動運転をさせることができ。



第4章 大電力高周波発振器の運転

4.1 発振出力、効率

発振器の運転はまず、直列共振法によつて行つた。直列共振法と並列共振法は、 Δ インダクタンスを取り付け、取りはずすことによつて簡単に交換できる。

直列共振法は回路が単純であり、調節が容易である。しかも、マルクスビネットレーターからターン回路への結合線路のインダクタンスを図4.1 図に示すように、1/2部と見なすことができる、今回の運転の場合、ロードミナントの非振動的放電であるから、このインダクタンスが無視できる利点がある。

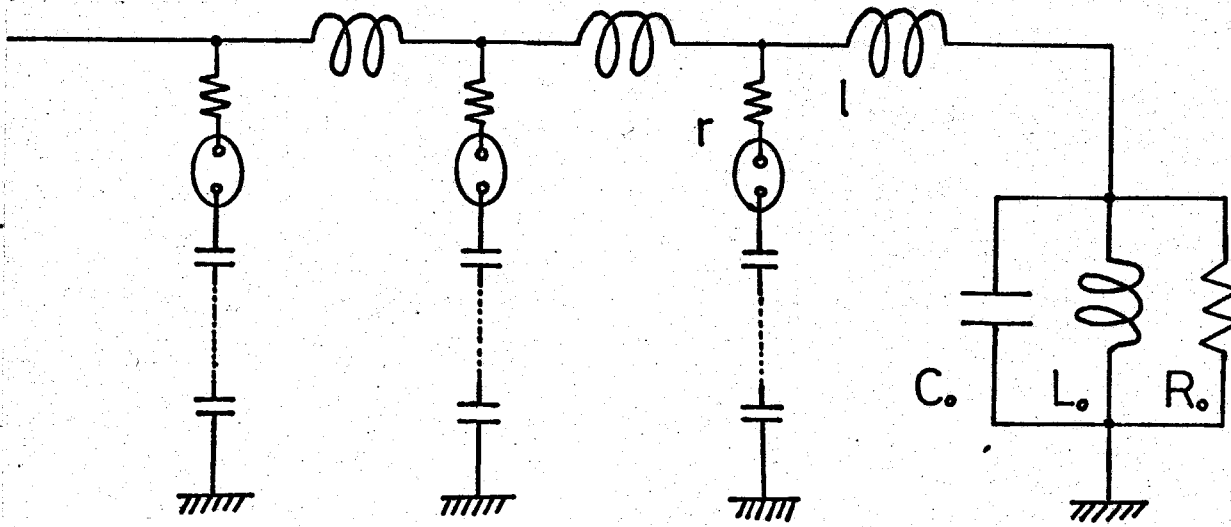


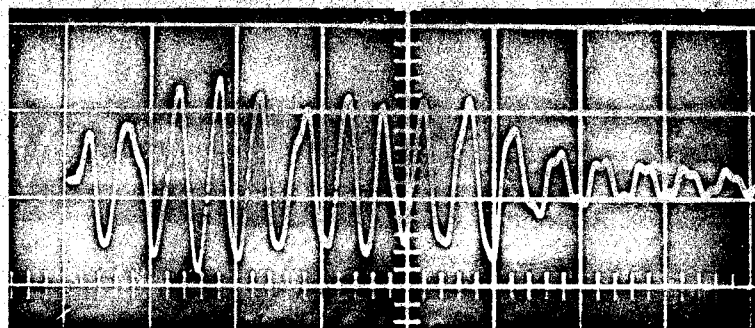
図4.1

10台のマルクスビネットレーターを動作させ、ターン回路に高周波出力を発生させ、ターン回路と並列になつた抵抗に振動電流を流し、その波形から、出力発振効率を測定した。

R_o に流れる振動電流波形を図4.2 図に示す。これは、充電電圧17 kV、放電間隔1μsで10台のマルクスビネットレーターを1回ずつ動作させた。

その結果、 $1 M_3$ 、 $2.18 MW$ 、持続時間 $10 \mu s$ の高周波出力が得られた。

コンデンサ充電エネルギーから高周波出力への変換效率は $\eta = 18.9\%$ である。



Current waveform at 1.0MHz
in 50-ohm load, 250A/div,
time scale 2 μ sec/div.

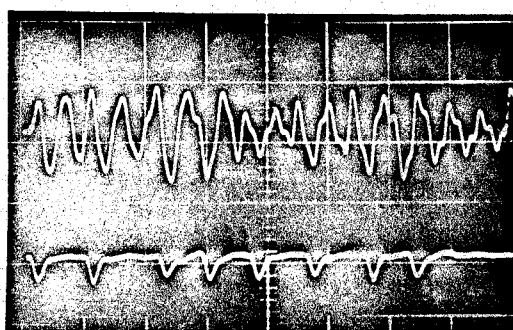
2.18 MW 充電电压 17 kV

$\eta = 18.9\%$ 放电间隔 2 μ s

第4.2図

図4.3図は、充電电压13kV、放电间隔2 μ sで、1台のマルクスゼネレーター動作させた。発振出力は1 MHz, 0.93 MWで効率は 27.6% である。

図4.4図はマルクスゼネレーター1台だけ動作させた場合の負荷抵抗電流、真空ギャップ電流である。真空ギャップ電流は、第2章の2.5の仮定とよく一致することを示している。



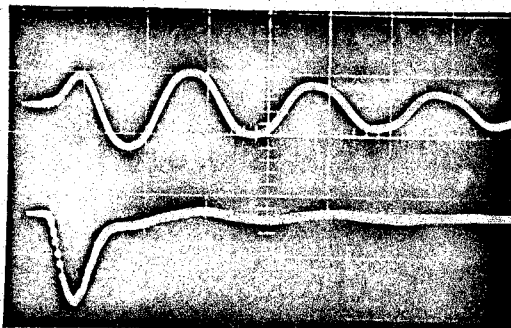
0.93 MW, $\eta = 27.6\%$

充電电压 13 kV

放电间隔 2 μ s

第4.3図

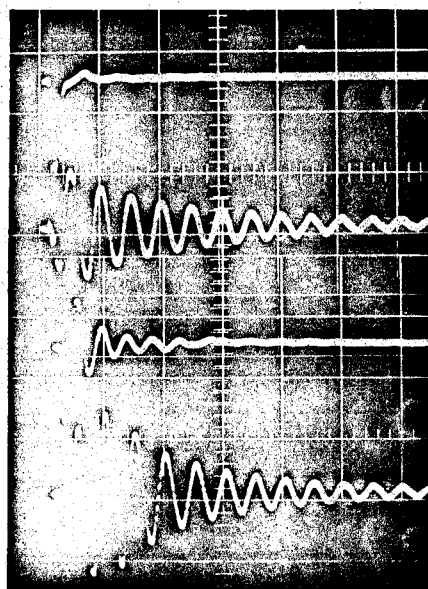
250 A/div. 2 μ s/div.

0.5 μ s/div.

第4.4図

並列共振法による発振は、オ3.1図に示す回路で行われた。 $l = 3 \mu H$, $r = 100 \Omega$ で行われた。しかし、マルクスゼネレーターからタンク回路までの線路のインダクタンスが大きく、近いマルクスゼネレーターでは $2 \mu H$ 、遠いものは $5 \mu H$ であった。このインダクタンスの存在はオ2章で述べたが、発振の効率に対してはなんの変化もみたえないが、タンク回路へ振動のエネルギーの移動する速さに大きな変化をあたえる。予備実験においてはこのインダクタニスは l , r に対して無視できる程小さいため、振動のエネルギーの移動する速さは急激である。

オ4.5図は、コンデンサ充電电压を同じ状態でマルクスゼネレーターを1回動作させ、直列共振法と並列共振法を比較したものである。直列共振法は、 $1 \mu s$ 程度で、エネルギーの移動は終っている。



真空ギャップ電流

 R_0 電流

直列共振法

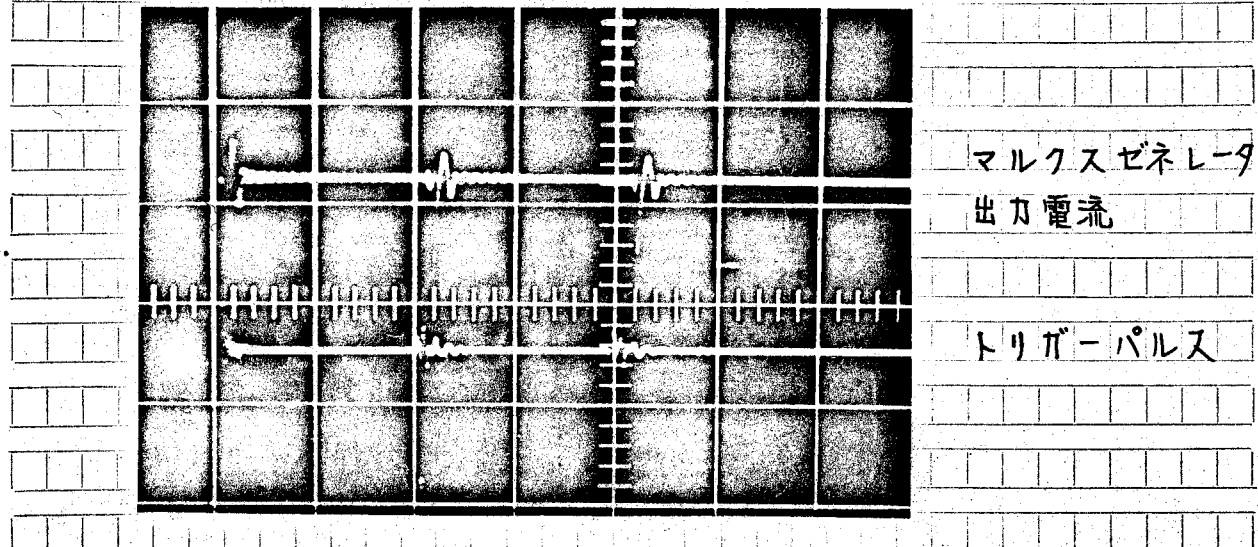
並列共振法

第4.5図

並列共振法においては、タンク回路の振動が最大になるまで、 $2\mu s \sim 3\mu s$ かかる。効率は波形が大きめでわかるように、並列共振の方が大きいのであるがマルクスゼネレーターを $1\mu s$ 毎に放電させると1台のマルクスゼネレーターがそのエネルギー全部を放出しないうちに次のマルクスゼネレーターが放電し、お互いの干渉により、効率が落ちることが予想され、充電電圧 $15 kV$ 、放電間隔 $1\mu s$ で出力約 $2 MW$ 、効率 20% である。

4.2 マルクスゼネレーターの再使用

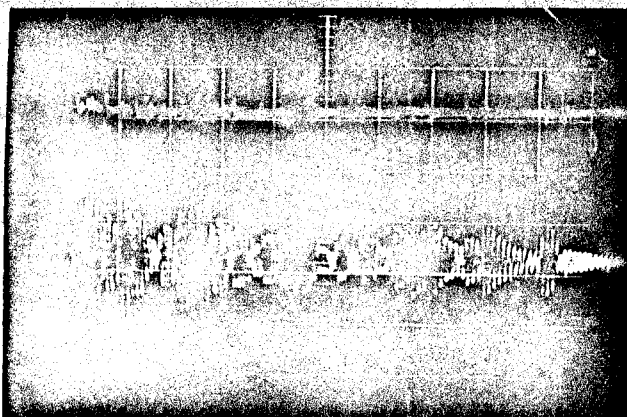
マルクスゼネレーターのギャップを絶縁回復力の強い真空ギャップにするにより、1回放電した後、数 μs 後に再び再充電して再使用することができます。図4.6はコンデンサー充電電圧 $15 kV$ 、トリガーケーブル放電電圧、 $\pm 15 kV$ で $20\mu s$ 毎に3回放電させた場合のマルクスゼネレーターの出力電流とトリガーパルスの波形を示したものである。2回目、3回目は再充電用コンデンサー $C_5 \sim C_8$ の電圧がおちて來るために出力電流が小さくなっている。



$10 \mu s/div.$

第4.6図

10台のマルクスビネレーターを3μS間隔で放電させ、これを3回繰り返すと、ピーコー1MW、持続時間90μS、発振が得られた。



10 $\mu\text{S}/\text{div.}$

第4.7図

オ4.7図に示すように、各マルクスビネレーターの制御がうまく行かず、電気的雑音により、遅延回路やパルス増幅部の誤動作があり、波高値のところ、たる発振波形は得られていない。

4.3まとめ、今後の問題点

多数のマルクスビネレーターを順次動作させることにより、強力な連続発振に成功した。この方式は、MW級の大電力発振器の製作に適しており、今回の試作的発振器でも、1MHz, 2MWの出力が得られている。(かも、この値は基礎的資料収集の都合から、安全性をみてマルクスビネレーターを定格の1/2の電圧で運転している状態での値である。真空ギャップは現在までのところ、10,000回以上の使用に十分耐えていたが、電極材料として現用のSUS-27を最適と考えていない。将来の長時間発振を考えると、電極の寿命の問題が、一番大きい。)

第5章 ガス絶縁プラズマへの適用

5.1 はじめに

大電力高周波発振器が今回開発され、その出力をプラズマに与える時、も、
とも大きな問題は、いかに効率よくプラズマに高周波電流を流すかである。^(3.1) 大部分のプラズマは磁場により閉じ込められているが、そのプラズマの周りには
弱電離したプラズマや、中性気体があり、さらにその外側には放電管壁がある。

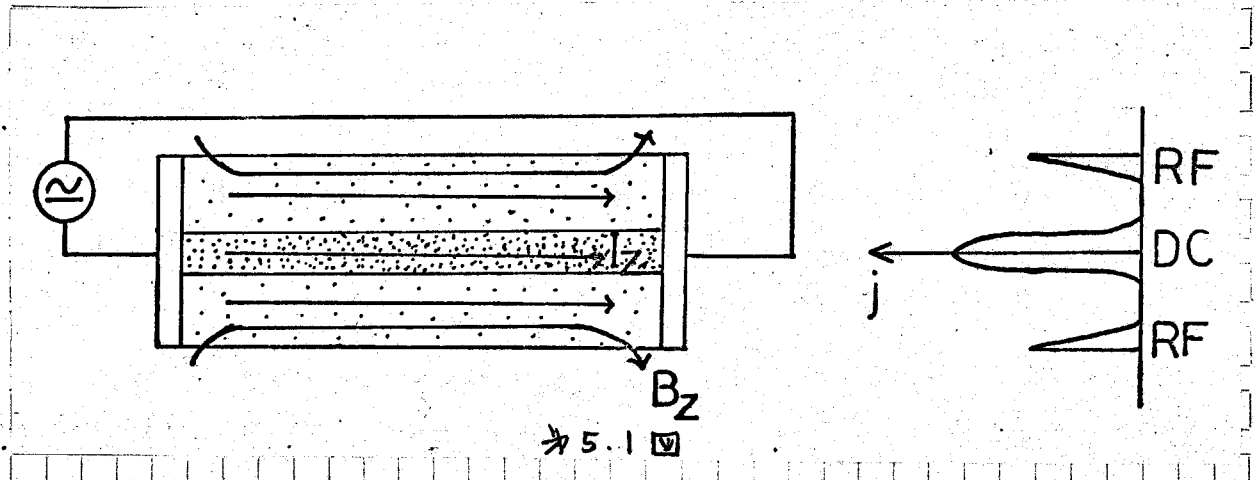


図5.1

このようなプラズマに高周波電流を流そうとすると、高周波電流は閉じ込められた高溫プラズマに流れなく、表皮効果によつて、より外側の弱電離プラズマや、放電管壁に流れようとする傾向がある。これは高周波のシールド効果となり、目的のプラズマに効率よく高周波を流せなくなる。また壁での放電は、不純物の原子を多くプラズマ中に侵入させることになる。一度、外側で放電が起ころと、その部分の電気伝導率が上がり、この傾向はますます強くなる。

この対策として次のような方式が考えられる。

(1) リミッターによる方法

(2) Short Boundary を完全ピンチプラズマの実現

(3) プラズマの周りに高密度の中性ガスを配して、プラズマの周りの電気伝導度を低くする。

(1) の方法は、放電管内に絶縁物でできた板を置き、プラズマ電流は、その絶縁板の中心の穴を通じて流れることになる。この方法は確実に放電管壁から

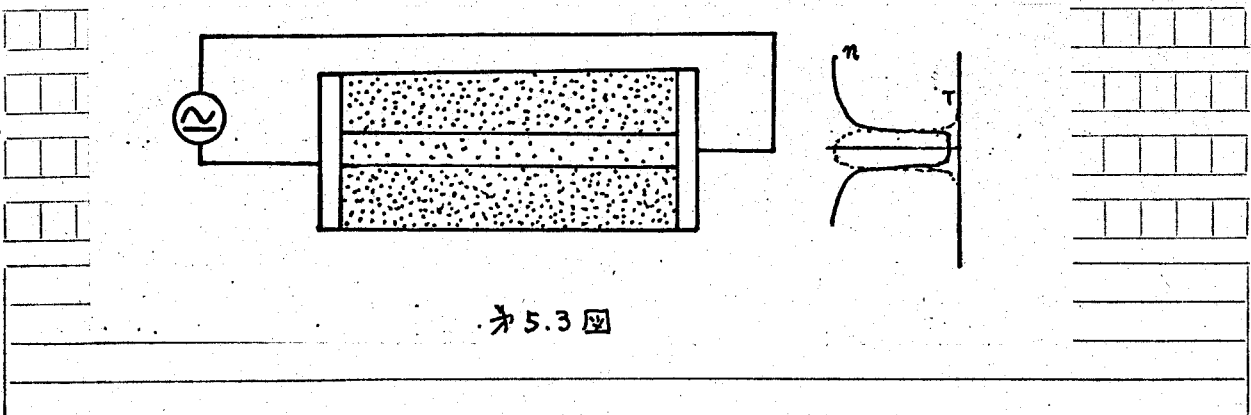
プラズマをはずすことができるが、絶縁板は放電管壁のかわりにならうだけで、根本的な解決にはならない。この方法を進めて、磁場

で、絶縁板のかわりをさせよう。

図 5.2 図 いうのが磁気リミッターであるが、磁場は閉じ込めの磁場との干渉により、プラズマ閉じ込めや、プラズマ発生の条件も変わってくる心配がある。

(2) の方法は、プラズマの周りの弱電離のプラズマをできるだけ少くするためには、予備電離を強力にして、立ち上がりの早い磁場によって、プラズマを発生させるものである。これにより高周波電流が効率よくプラズマに流れれば、プラズマの閉じ込め、加熱の両面において最も望ましいことである。

(3) は、現在まで多く研究されてきたプラズマ閉じ込め方法とまたく趣きを異にしており、プラズマの周りを高密度の中性ガスでおおしたものである。このプラズマ閉じ込めの特徴は次節で述べるが、中性ガスの Break down 電圧は、圧力が高くなれば、それに従って高くなり、高周波の電界によつても Break down しなくなる可能性がある。また、プラズマの周りは中性ガスにより冷却されるので、電気伝導度がさがり、電流はプラズマ中のみ流れる効果(熱的ピンチ)が起こると予想される。このようなガス絶縁アラズマは現在のプラズマ研究の主流から大きくはずれているが、大電力高周波発振器によるプラズマ加熱を考へた場合、非常に大きな利点をもつてゐる。



5.2 ガス絶縁プラズマの特徴

近年の主流になつてゐる核融合装置では一般にプラズマの周囲の気体は非常に希薄であり、近似的にこれを真空とあつかつていい。一方プラズマ周囲に高密度の中性気体を配して、積極的にその熱絶縁働きを利用しようとする方法が考えられる。この着想は 1960 年 Alfvén の提案⁽³²⁾⁽³³⁾以来いくつかの検討が報告されている。^{(32)~(50)} 高密度ガス中の核融合プラズマには次のように予測される特徴がある。

(1) 高温プラズマの安定保持

高温プラズマの周囲の高密度中性ガスを旋回させることにより、プラズマを安定に保持できる可能性がある。旋回流によるアーケーの安定化は、古くから電気工学の分野で知られており、またソビエトの Kapitza⁽³⁵⁾⁽³⁶⁾はこの方法により $T_e = 100 \text{ eV}$, $T_i = 10 \text{ eV}$ のプラズマの安定保持に成功したと報告している。また中性気体が MHD 的不安定性の成長率を著しく減少させることが理論的に⁽⁴⁹⁾も示されている。

(2) 容器壁保護およびプラズマの純粹性保持

プラズマと容器壁の間の高密度の気体がプラズマからの高温の荷電粒子、さらには中性子を防ぎ、また容器壁からの不純物原子がプラズマに侵入するのを防ぎ、Radiation loss を最少限にすることができる。

(3) 核融合エネルギーの取り出し

核融合反応によって生じた高温の荷電粒子は、周囲の中性気体との衝突によって、そのエネルギーを与える。この加熱された中性

気体をタービンに導き、その熱エネルギーから核融合の出力を取
(36)

り出すことができる。

(4) プラズマへの燃料(重水素)の供給と灰ガス(ヘリウム)の排出
が自動的に行われる。

以上のようにガス絶縁方式は核融合発電炉にとって重要な利点を多く持つ
いる。それにもかかわらず、今まで本方式に関する研究があまり行われていな
か、た理由は、一つには真空絶縁プラズマの発展が目覚しかったこと、核融合
炉側からの条件がまだ問題にされていないか、たこと等が考えられるが、もう、ヒ
も大きな理由は高密度中性気体中のプラズマはその中性気体による冷却作用が
大で、アラズマが高温にならないのではないかという懸念があ、たからと言え
よう。事実、従来の報告では^{(46)~(48)(50)}アラズマ温度はほとんど数度となりである。最
近この問題に関する論文が多く発表されている。

3.3 ガス絶縁プラズマの核融合への可能性

熱損失はガス絶縁プラズマにとって最大の問題である。これに対し、Alfvén
(32) と Smars は強い磁場によってプラズマ内、またはアラズマと中性ガスとの
熱伝導率を下げれば熱損失は大きくならず、加熱量がある値より大きくなる
とアラズマ中心温度は無限に上昇することを示した。

中性気体に囲まれた半径 r_0 のアラズマ柱を考える。Fig. 5.4 図に示すようにして
ては単位長当たり熱量 Q で加熱されている。

アラズマの熱伝導率を K とすると

$$Q = -2\pi r_0 K \frac{dT}{dr} \Big|_{r=r_0} \quad (5.1)$$

$r_0 < r < r_i$ では

$$\frac{1}{r} \frac{d}{dr} \left(2\pi r K \frac{dT}{dr} \right) = 0 \quad (5.2)$$

$$Q = \frac{2\pi}{\ln(r_i/r_0)} \int_{r_0}^{r_i} K dT \quad (5.3)$$

であることがわかる。中性気体の温度は 0°K とした。

もしも $\int_{r_0}^{r_i} K dT$ が有限であれば臨界の Q_b があり、それ以上の熱量をプラズマへ注入すればプラズマの中心温度が上昇し、核融合温度まで達する。

$\int_{r_0}^{r_i} K dT$ が有限かどうかは $K(T)$ の形によって決まり、 $K(T)$ の温度変化は

Fig. 5.5 図のようになる。

T_1 は $\omega_L = 1$ のところである。

これによつて Q_b を計算すると

Fig. 5.6 図のようになると Alfvén

と Smars は推算している。

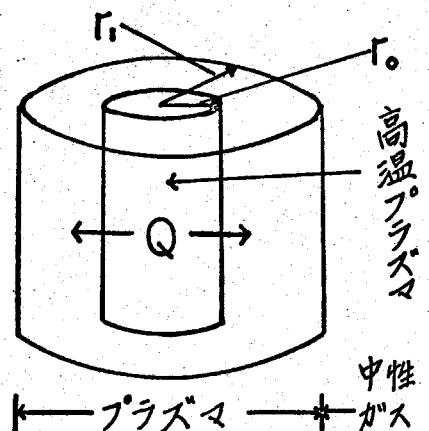


Fig. 5.4 図

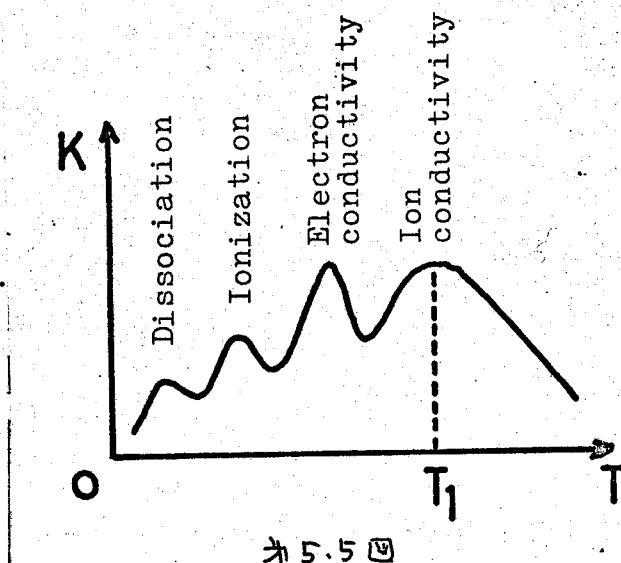


Fig. 5.5 図

$$T = 2 \times 10^8 \text{ }^\circ\text{K} \quad n = 10^{14} \text{ cm}^{-3}$$

縦磁場	1万ガラス	10万ガラス
T_1	$4 \times 10^5 \text{ }^\circ\text{K}$	$1.6 \times 10^5 \text{ }^\circ\text{K}$
Q_b	600 kW/cm	24 kW/cm

Fig. 5.6 図

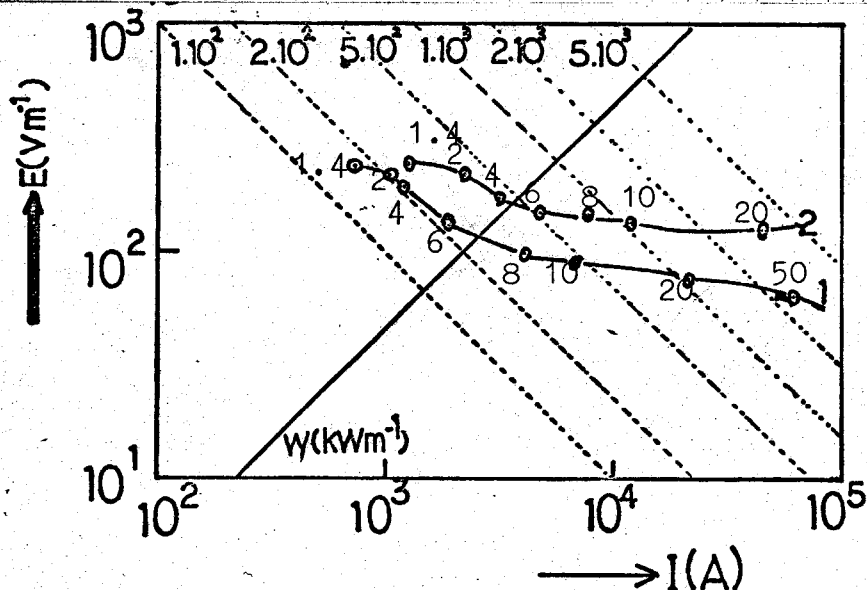
$K(T)$ の大きさと形は正確には理論的にも実験的にも決定されていないが、 T_0 を越えると K は $T^{-\frac{5}{2} \sim -1}$ で減少し、 $\int_0^T k dT$ が有限であることは多くの論文の一一致するところである。

(50) オランダのユトハースグルーベの Verboom によると

$$\frac{1}{r} \frac{d}{dr} (rK \frac{dT}{dr}) = -E_z J_z \quad \text{--- (5. 4)}$$

を数値計算して、 $I_z - E_z$ 特性、温度分布を求めた。

Volt-Current 特性は 5.7 図のようになる。



Voltage-current characteristic. • = axial temp. in 10^4 K

1 $B_g = 1 \text{ T}$, $R = 5 \text{ cm}$, $p = 10 \text{ torr}$

* 5.7 図 2 $B_g = 1 \text{ T}$, $R = 5 \text{ cm}$, $p = 100 \text{ torr}$

この図より、 $20 \sim 50 \text{ kW/cm}^2$ で $20 \sim 50 \text{ eV}$ を行っていることがわかり、この表は、従来の大気圧中放電のアーケークの温度と一致している。そして、 $\int_0^t T dT$ を有限とする熱量をプラズマに入力させるには、 10^5 A 以上の電流を必要とする。この電流を $R = 5 \text{ cm}$ のプラズマに流すと電流力は中性子反応より、10 倍に大きくなり、MHD 的の不安定 (Kink Instability) を起すと思われてい

る。

高気圧ガス絶縁プラズマの実験はプラズマ発生、加熱電流の周波数により大きくスケープに分けられることができる。

ソビエトの Kapitza のグループはマグネットロンによるマイクロ波を、オランダのユトハースのグループは準定常大電流放電を用いている。マグネットロンは発振効率もよく、定常的にプラズマが観測でき、将来、連続炉として考えられる。現状はマイクロ波の波長によるプラズマの大ささが入 $\lambda/2$ 以上にできない(35)。Kapitza 自身もその論文中に二つの方法の限界を述べている。Kapitza の考え方による核融合炉は発振器の周波数を 23 MHz に低くして、プラズマの長さ 650 cm , 半径 65 cm のプラズマ(36)を約 6 MW の出力で加熱して、実現される。

ユトハースでは準定常大電流による加熱を目的としているが MHD 的な力が大きく作用し、ガス絶縁プラズマの最高の利点と思われる安定化がそこなわれる。また電流によるジュール加熱はプラズマが高温になるとプラズマの抵抗が下り、効率のよい加熱はできない。

二つ目の方法の利点、欠点を考えることの中間に位置するラジオ周波数によるガス絶縁プラズマの加熱が大きな可能性をもてくる。

ここでは、周波数を 1 MHz 程度のRF電流を用い、プラズマを動的安定化、動的平衡により MHD 的安定を増し、表皮効果による抵抗の増大で効率よく、プラズマを加熱する方法を考えてみる。

一般にプラズマを加熱する目的で RF を用いる提案は古くからあるが実際にプラズマに強力な RF 電界をかけようとするところアラズマの周りの中性ガス、弱電界アラズマにシールドされて、目的のアラズマに RF 電力をかけることない。ガス絶縁アラズマではアラズマの周りを高密度の中性ガスで囲まれていて、電気的に絶縁され、効率よくアラズマが加熱される。

GAS-INSULATED
PLASMA DEVICE

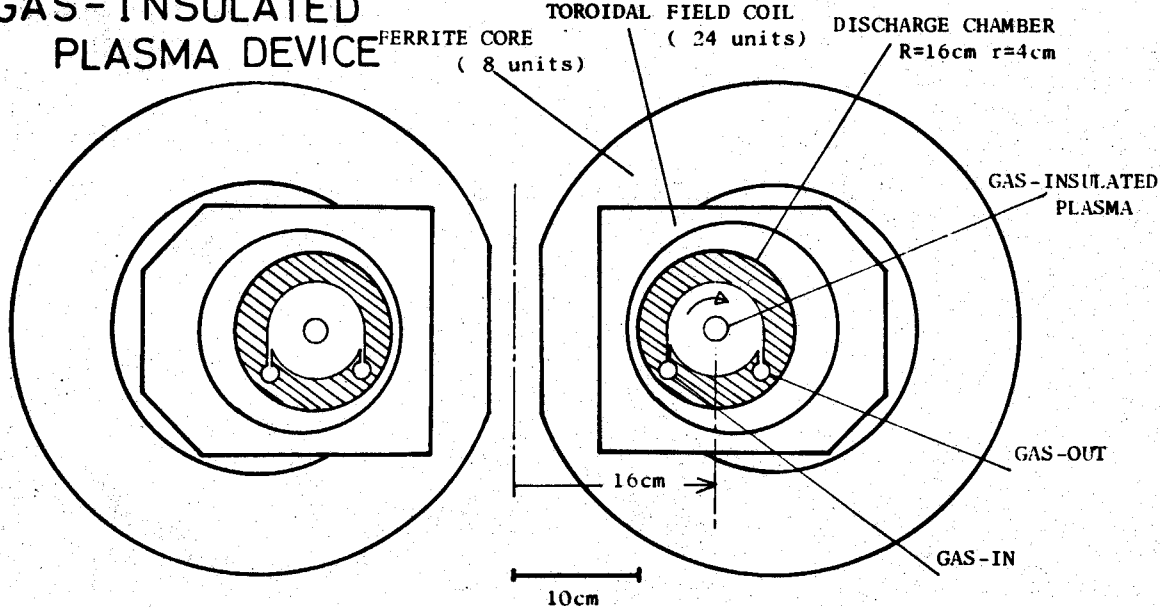


図5.8

図5.8に示すような、トロイダルガス絶縁プラズマ加熱実験装置を考えて
1MHz、100MWの発振器による加熱の可能性を試算する。

中性高密度気体の旋回流により放電管の中心に安定化されたトロイダルガス
絶縁プラズマを1万ガウス以上の磁場を加え、発振器により誘導加熱する。

図5.8のプラズマに単位長さあたり1MW消費させるためのプラズマ電流
は

$$a = 1\text{ cm}, \frac{\rho_s I}{2\pi a} = 10^6, \rho_s = \frac{1}{c} \sqrt{2\pi w \eta s}$$

$$T_e = 10^6 \text{ K} \quad \omega = 2\pi \times 10^6 \times 33 \times \rho_s = 2.5 \text{ m}\Omega^{(35)}$$

$$\hat{I} = 30 \text{ KA}$$

$T_e \approx 10^{50} K$ をこえると Anomalous Skin effect の効果が表れると思われる。これは表皮抵抗の増大となって、より少いプラズマ電流でよいかもしない。

$$\text{プラズマのインダクタンス } L_p = 0.22 \mu\text{H}$$

$$\text{最大電流エネルギー } L_p I^2 = 200 \text{ Joule}$$

9 プラズマのQは $Q = 2\pi \times \frac{200}{100} = 12$

トーラスのワニターン電圧は 60 kV となる。

ニ山は 100 MW の真空ギャップ大電力高周波発振器の負荷条件によく適合する。もっとも、ガス絶縁プラズマに関しては未知の事柄が多く、これから研究に待つ所が多い。

5.4 ガス絶縁プラズマの実験

5.4.1 目的

ガス絶縁プラズマの実験はその予備電離の難しさにあります。無電極トロイダルアーチ放電を高気圧中で行うことがオ1の目標となる。オランダのユートハースグ⁽⁴⁸⁾ループは数十atmの気圧において成功している。オ2にガス絶縁プラズマの大まかな利点と思われていて、安定保持の実験的研究を行なう。オ3に大電力高周波発振器で加熱する際に効率よくプラズマ表面に電流が流れかかるかを調査。以下に要約すると

- (1) トロイダル状の放電管にガスの旋回流を作るとどうなるか。
- (2) ガスの旋回流中に予備電離されたプラズマが管壁にぶら下りずに安定に存在するか。
- (3) トロイダル状のプラズマに大電流を流して、プラズマの安定性を観測する。
- (4) 高周波電流がリールドされずに効率よくプラズマに流れかかるか。

5.4.2 予備電離法

高気圧プラズマの実験の難しさは一つに予備電離の困難さにある。特に無電極トロイダル放電を行おうとするとき、ワントーン電圧は大気圧では数MVを必要とする。これは不可能である。ここでは次のようないかがりの高気圧において予備電離することに成功した。

無電極で放電しやすい低気圧(100mTorr)で誘導によって、トロイダルプラズマを発生させ、それを維持するに充分な出力の高周波発振器でプラズマを維持しながら、放電管内に気流を吸き込み、徐々に気圧を上昇させていく。こうとき、気流を旋回させ、高気圧になると生じるプラズマの浮力を打ち消し、プラズマを予備電離の状態で、放電管の中心近くに、数秒間安定に発生させる。

図5.9 図に概略図を、図5.10にタイムシーケンスを示す。

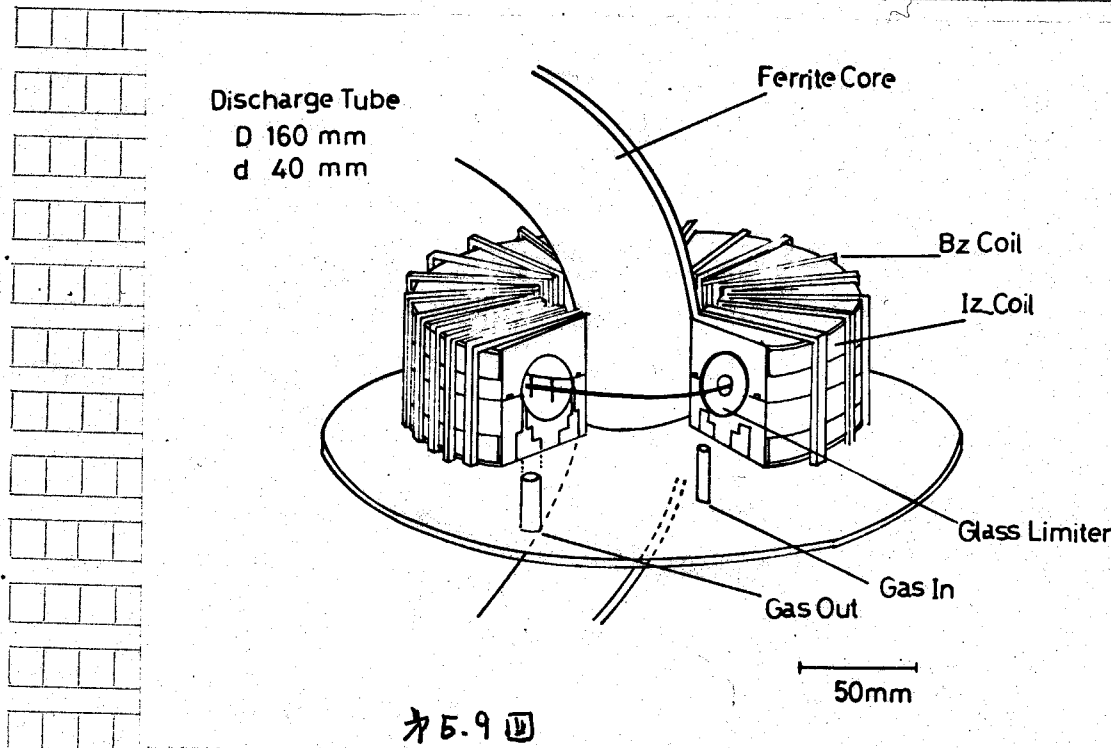


図5.9 図

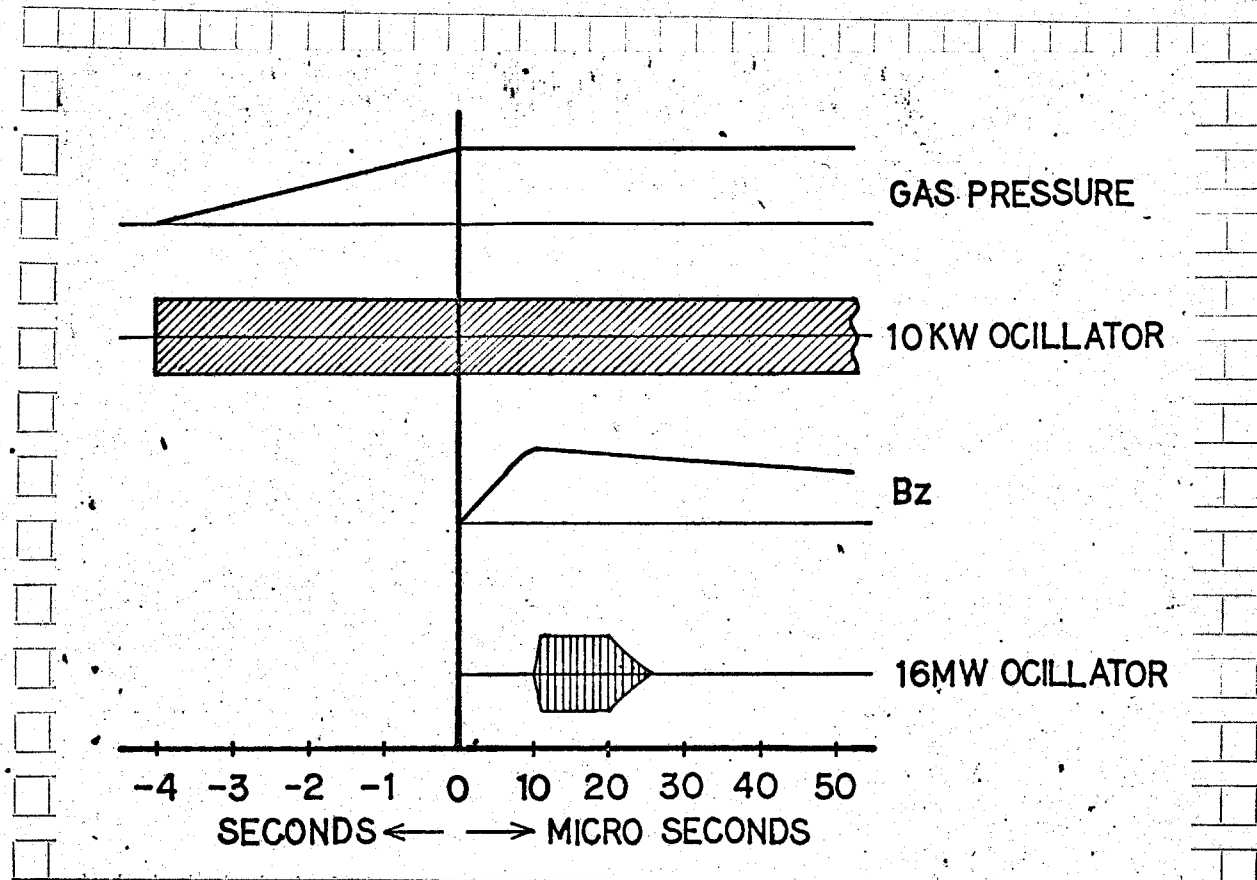


図5.10 図

5.4.3 装置

図5.9に示したように放電管を交叉してトロイダルフェライトコアを配置した。これはプラズマとの結合を大きくするためである。

1) 放電管

この放電管は内部にトロイダル状の旋回流を作るために多くのノズルが必要である。この点が従来のプラズマ装置の放電管と大きく異なる。図5.11に示すように、上、下2部によりなり、下部には、内側と外側に接線方向にそれぞれ吹き出し用穴 $1.5\text{mm}\phi$ を32ヶ、排気用穴として $2.0\text{mm}\phi$ 32ヶを設けてある。材質はアクリル樹脂を用いる。これは透明なので光学測定が容易、加工が容易、絶縁物である等の利点がある方面、熱に弱い欠点がある。

アクリルの熱に弱い欠点を補うため、ガラスリミッター、シリコンコーティング等の工夫がしてある。

・ ガラスリミッター

2.6mm 厚のパイルックスガラスに $15\text{mm}\phi$ の穴を開け、Oリングによじて放電管に密着させている。放電管内に $\varnothing 5$ 間隔に8枚配置し、プラズマの半径は数mmと予想されるのでプラズマがリミッターにぶれる心配はないが(旋回流の効果があれば)プラズマがこわねる時、すなわち旋回流が乱れたり、電流、磁場がなくなる時に、プラズマがアクリル放電管の表面を打つ心配がある。

・ シリコンコーティング (Silicon coating)

信越シリコン社製 KE103RTVを 0.1mm 厚さに放電管内面に塗布した。

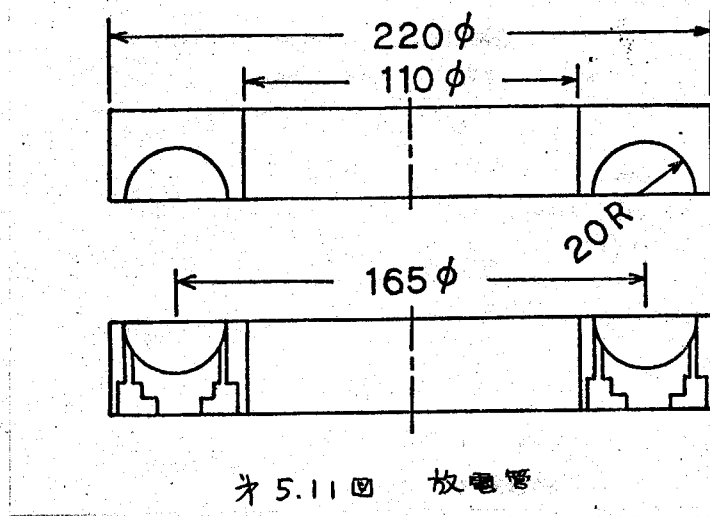
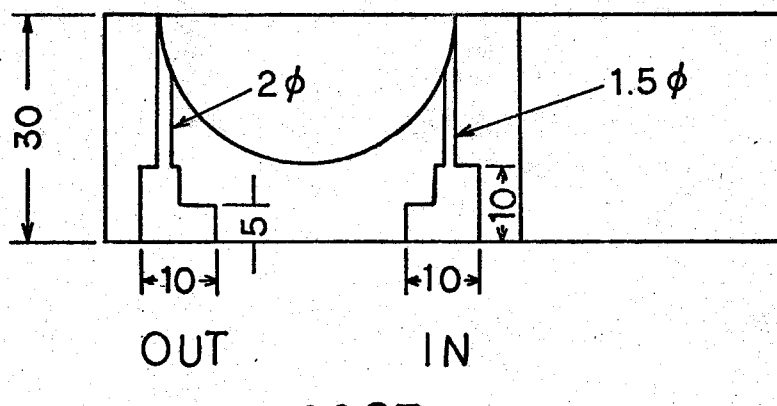


図5.11 図 放電管



GAS PORT

図5.12 図 ガスノズル

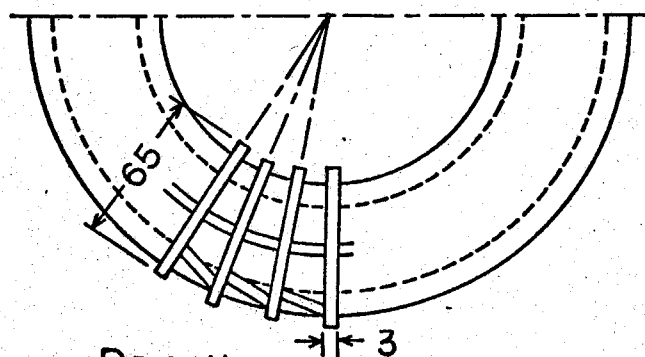


図5.13 図 Bzコイル

2) B_φ 磁場コイル

図5.14 図に示すように、32ターンのヘリカル巻きであり、放電管の支持になっている。ヘリカル巻線が作るトロイダル方向電流を打ち消すためのリターンコイルが設られていて、また、疎巻になつてはいるが、プラスマの直径が1cm以下と仮定すると、表面での B_φ 磁場の Z 方向の変動は数%以下である。

3) フェライトコア

この装置の大きな特徴は、大型フェライトコアの使用である。

フェライトコアの使用は励磁インダクタンスを大きくし、プラスマに効率よく電流が流れること。

外径 41 cm

内径 24 cm 厚さ 2.5 cm

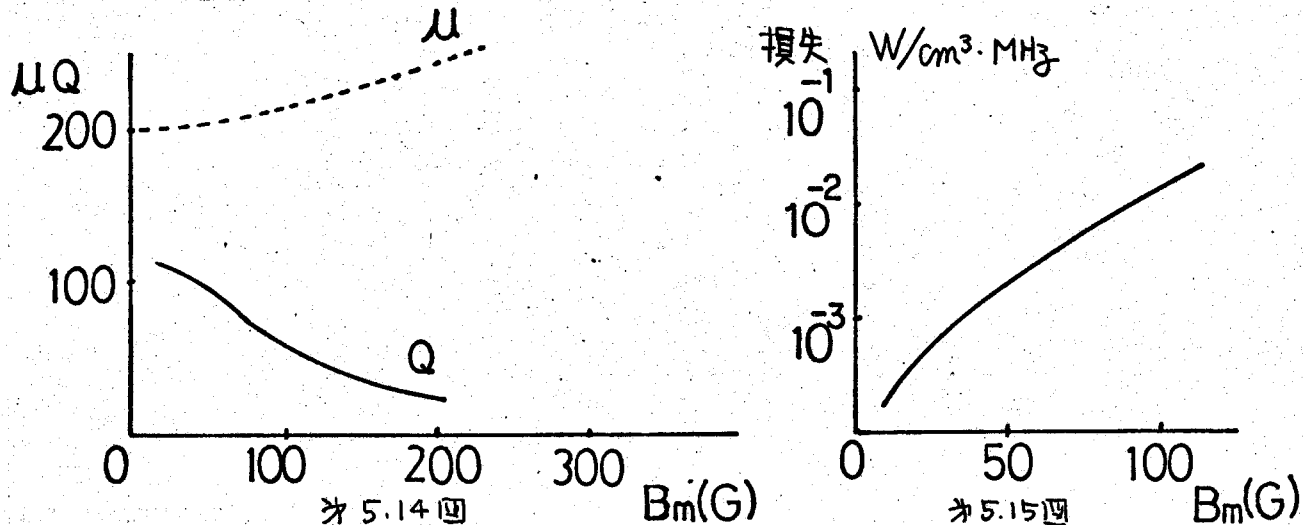
初透磁率 μ_i 200

残留磁化状態の透磁率 μ_r 160

$Q(1\text{MHz})$ 200

$Q < 50$ となる磁束密度 (3MHz) [G] 140

50 Oe の磁場に対する磁束密度 3300



4) コンデンサーバンク

B_z 磁場発生用コンデンサーバンクで電流最大時にクローバーする。 $2.2 \mu F$ のコンデンサー（耐圧 $30 kV$, インダクタンス $200 \mu H$ ）を 2 台用いて、 B_z 磁場は以下の式より求まる。

$$B_{z\max} = \left(CV^2 / \mu_0 V' \right)^{1/2}$$

C: コンデンサ容量 $4.4 \mu F$

V: コンデンサ充電圧 $30 kV$

V: 磁場体積 2260 cm^3

$B_{z\max}$ は 1.4 Wb/m^2 となる。 B_z ユイルのインダクタンスは、計算：実測とも $8.9 \mu H$ 。外部回路のインダクタンス $122 \mu H$ 程度である。磁場の立ち上りは、 $2.1 \times 10^5 \text{ wb/m}^2 \cdot \text{s}$ である。

クローバー回路は decay time $100 \mu s$ 以上の磁場を作る。

5) 予備電離用高周波発振器

真空管式、自励発振、入力 $10 kW$ (3 秒定格) の発振器であ

る。トロイダル方向のプラズマワントーン電圧を高くするために、

周波数は高い方が良いが、フェライトの特性により、 $3 MHz$ とし

て。図 5.16 図に回路図を示す。プラズマワントーン電圧を最大

限大きくするために、プラズマに効率よく電流が流れるように、

放電管の外側に巻いたコイルをターン回路のインダクタンスにし

た。プラズマ電流を検出し、発振器出力をユニトロールするよ

うに、グリッドバイアスをフィードバック制御している。

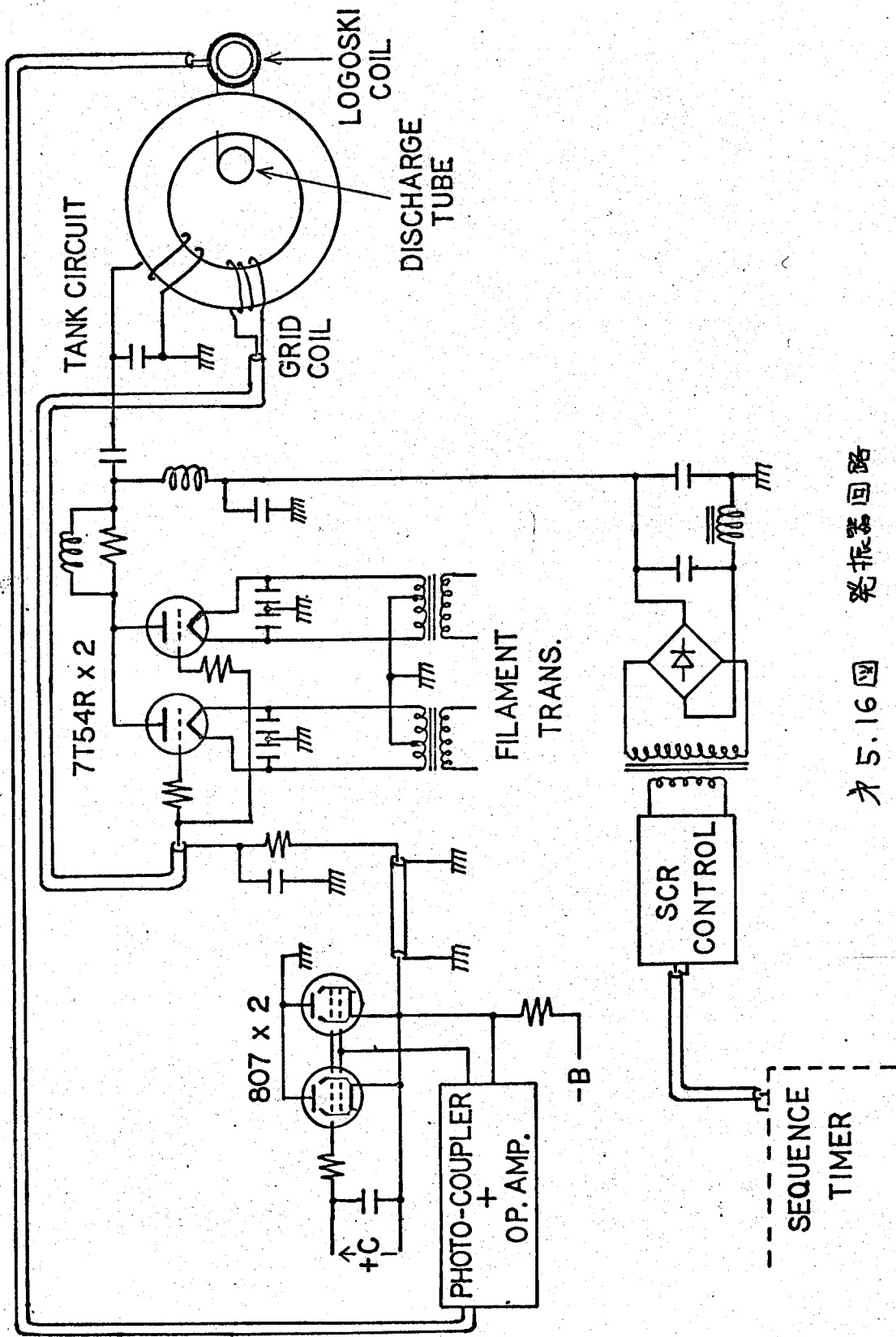


图 5.16 四 光振器回路

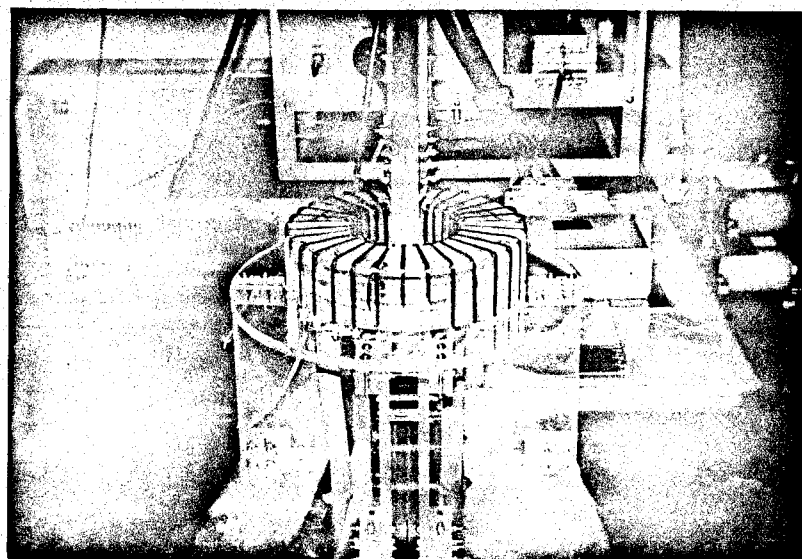


图 5.17 放电管

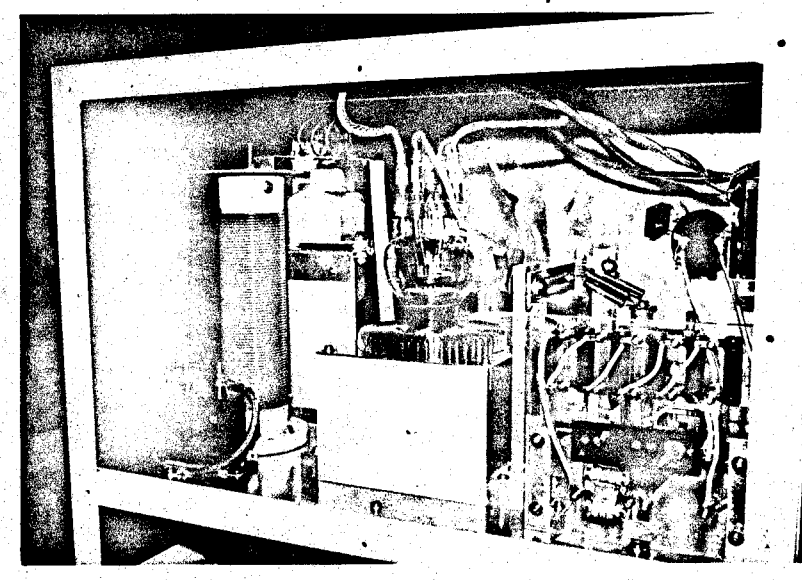


图 5.18 振荡器

6) 気流制御装置

浮力によるプラズマのドリフトを抑えるために施回流を用いる
が、そのために必要な速度は

$$\Omega_g = (g/a)^{\frac{1}{2}} \dots \dots$$

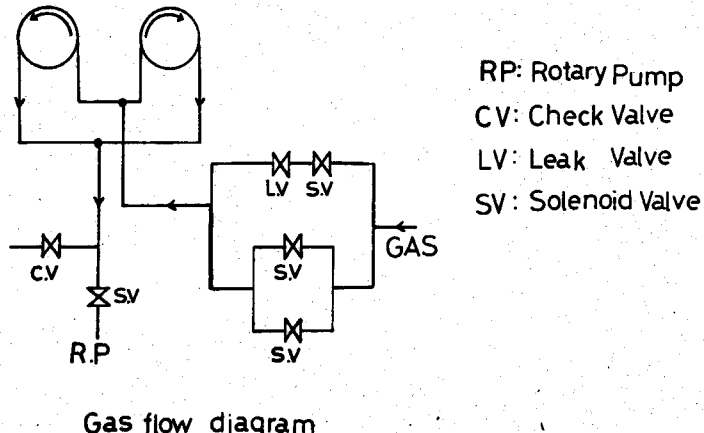
Ω_g : 気流の回転角速度

a : プラズマ半径

壁面付近の気流速度 V_w は $V_w = r_w \Omega_g \dots \dots$

r_w : 放電管半径

この気流制御装置は、オ 5.19 図に示すように、150 l/min の排気速度を持つ。ロータリーポンプで排気し、初期圧 100 mTorr で放電を開始し、LV を開放し、放電管内にガスを流入させる。ロータリーポンプの回転数を変えることで放電管内の施回流の回転速度を変え、リーキバルブを変えることで、管内の気圧を変えることができる。



オ 5.19 図 気流制御タイアグラム

7) 制御装置

図5.20回に示す、シーケンスコントローラーで、すべての動作が行われる。0~100秒まで10ms間隔でコントロール時間が設定できる。

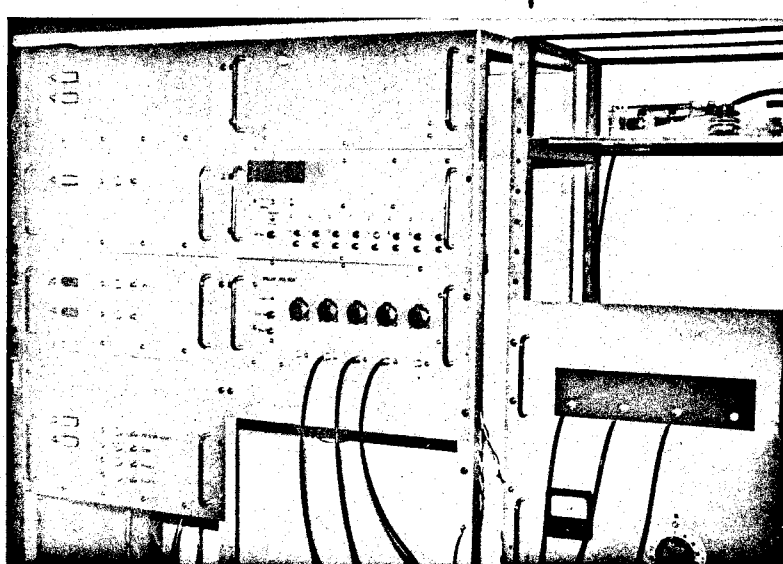


図5.20回 シーケンスコントローラー

5.4 実験結果

1) 予備電離 I

前節で述べた予備電離法による無電極トロイダル・ラズマの予備電離を行った。10 kW, 3 MHz の発振器により初期圧 100 mTorr 付近の He ガスを誘導電界により放電させ、気流を吹き込みつつ、気圧を上昇させた。

しかし、気流速度を調整し、発振器出力を最大にしても、この装置の場合 30 Torr までしか気圧を上昇させなかつた。このとき、発振器入力とプラズマのワニターン電圧と気圧との関係を Fig. 5.21 図に示す。また Fig. 5.22 図に電流値を示す。

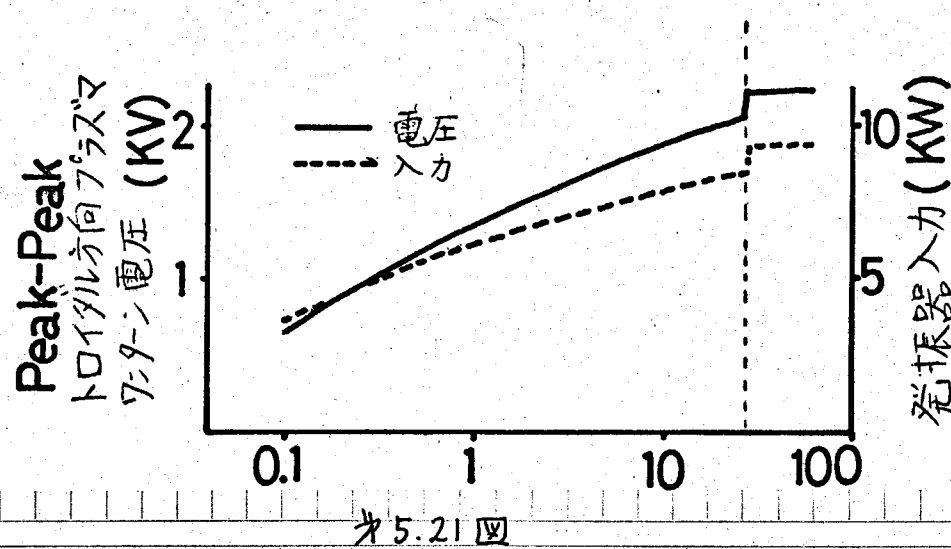


Fig. 5.21 図

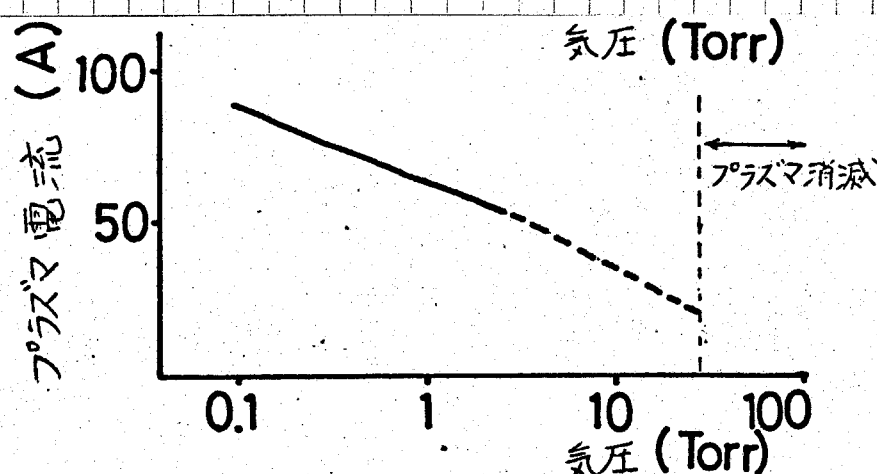


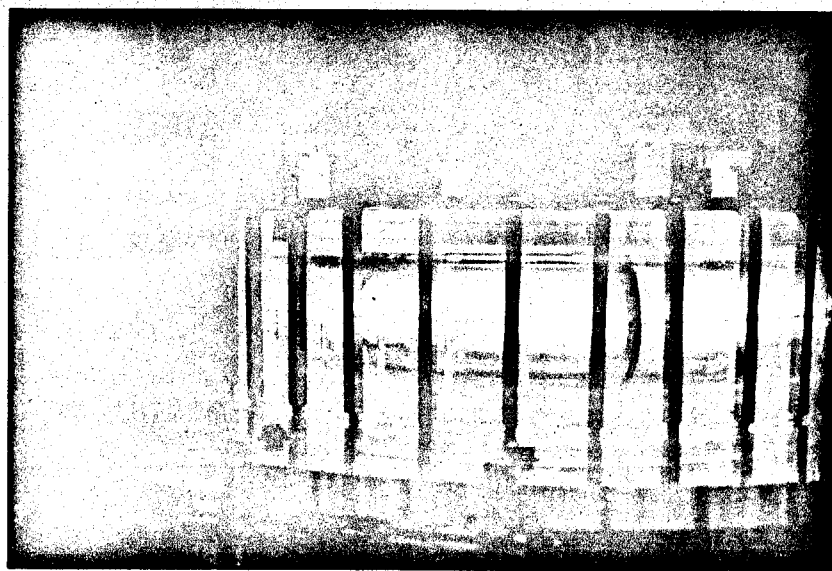
Fig. 5.22 図

定性的にわかつたことは 10 Torr を超すと気流の効果が表れ、気流の微妙なコントロール無しには、放電を 30 Torr まで維持できない。Fig.21 図に示すように気圧が高くなるにしたがって、ワニターン電圧が必要となり、これはフェライトコアの損失を増し、発振器の出力の限界であるワニターン電圧でプラズマが消滅している。しかし、さらに高気圧にすうには発振器の出力を大きく、推算によれば、 100 kW 程度あれば大気圧まで維持できる見通しかたった。

予備電離 II

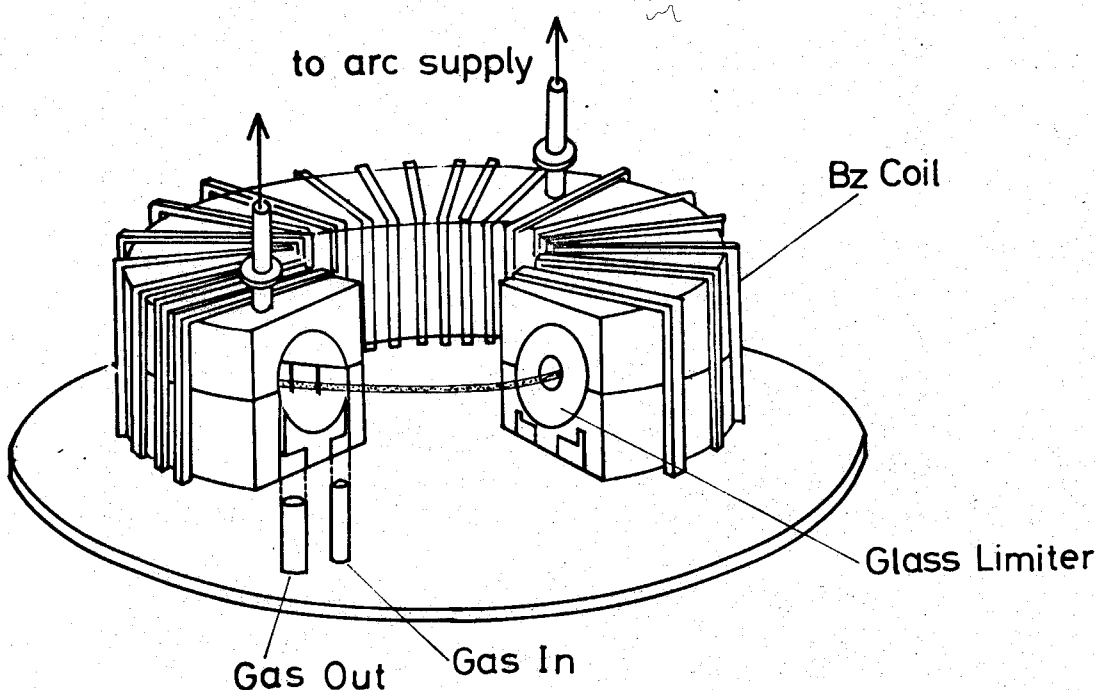
30 Torr ではまだ完全なガス絶縁プラズマの性質を示さないので、より高気圧で放電を維持するように、電極を放電管内に挿入して、 180° のセクターとして実験を行った。電極は Fig.24 図に示すように $5\text{ mm} \times 1\text{ mm}$ のパインレックスガラス管中に、タンクステンの針を挿入し、放電管内には旋回流を乱さないように、上方から挿入した。Fig.24 図に概略図を示す。

- この電極間に数 kV、数 $10A$ の高周波電流を流すことにより 100 Torr 付近で我々の目的とした予備電離アラズマを作ることができた。この予備電離アラズマに 10 kA 、トロイダル磁場を 1.5 KG をかけて、プラズマの安定性等、ガス絶縁アラズマの性質を調べた。Fig.23 図、Fig.26 図に予備電離アラズマの静止写真を示す。



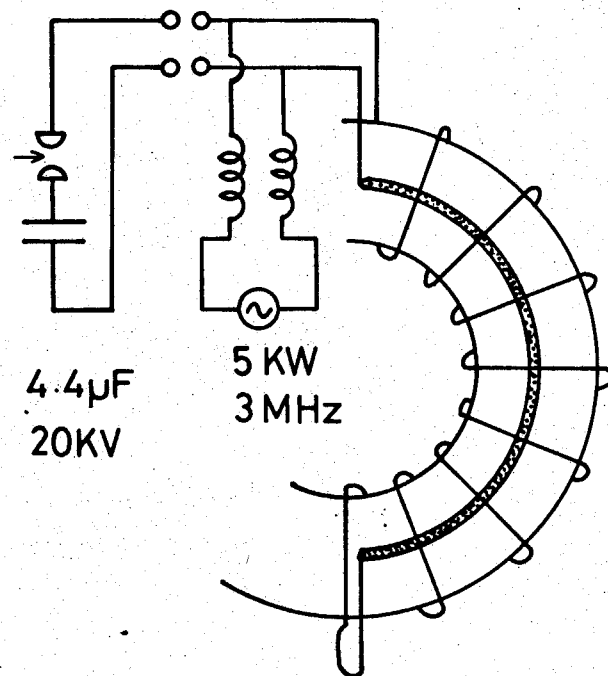
FUJICOLOR CD 74

Fig.23 図 30 Torr の無電極放電

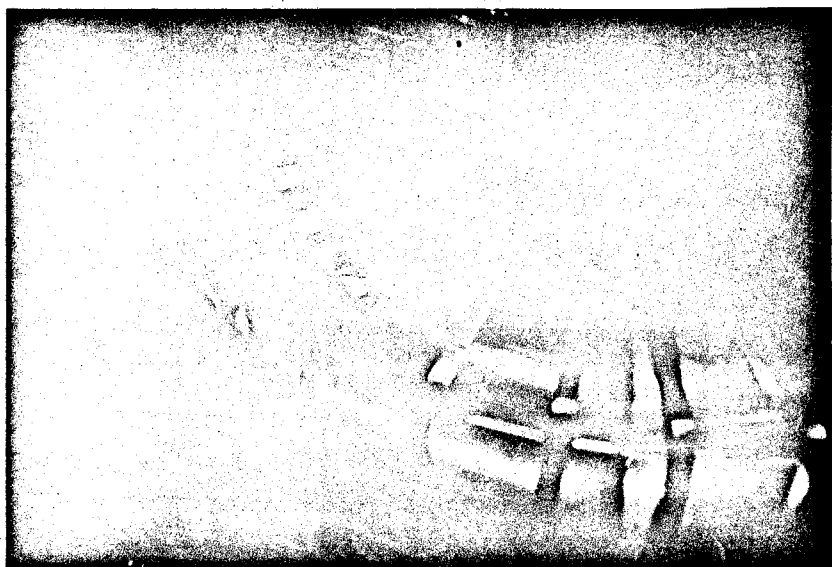


↗ 5.24

R	80 mm
r	20 mm
P ₀	20mm Torr ~150 Torr
B _t	1.5 KG
I _p	6 KA
T / 2	25μS
Vortex speed	<200 rps



↗ 5.25



Heガス
 $P = 146 \text{ Torr}$
 $I_p = 40 \sim 60 \text{ A} (P-P)$

No. 5.26 図

2) ガス絶縁プラズマのMHD的不安定性の成長率

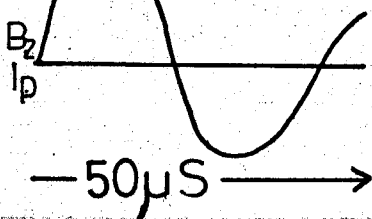
高周波発振器によりプロラズマを作り、ノズルよりの気流で旋回流を作り、徐々に気圧を高め、旋回流：気圧が安定した後（放電開始より1.4秒後）No.5.26図に示すような波形の電流をかけた時の放電管上方より見た、流れ撮り写真である。流れ撮り写真を撮る時のスリットは1ミリメートルヒリミリメートル中間に、図中、“IN”，“OUT”とあるのはトロイダル放電管を含む半面において、放電管内の内側の壁（トロイダル中心に近い壁）外側の壁（トロイダル中心から遠い壁）のことである。

$P = 90 \text{ torr}$

OUT
—
IN

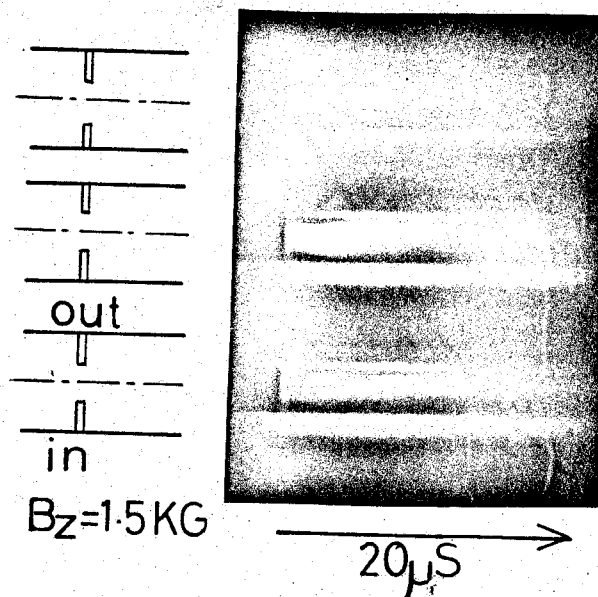
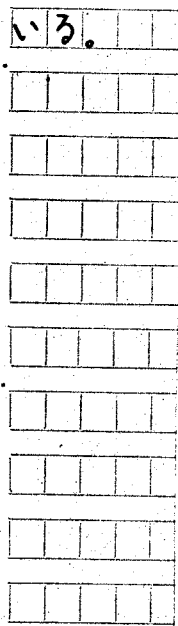


$B_z = 1.5 \text{ KG}$



No. 5.27 図

Fig. 5.27 図は気圧を 90 Torr にして、ストリーキ時間 $50\mu\text{s}$ にしたものである。電流、磁場がある間は極めて安定で、リミッターから離れていくが、電流、磁場が小さくなると、プラズマは膨張を始め、リミッターにあたって管状に光っている。これは、かなりの高温、高密度のプラズマであることを示している。



10 torr

2 torr

0.9 torr

20 μs

Fig. 5.28

Fig. 5.28 図からわかるように、気圧が高くなると外側へのプラズマのドリフト速度が遅くなる。 0.9 Torr においては始めから、リミッターにプラズマが接してあり、明るく輝っている。 $2\mu\text{s}$ の間にピッチして外側にドリフトして、外側のリミッターにあたってプラズマが消滅している。

2 Torr では、始めからプラズマがリミッターにあたって明るく輝いているが、 $20\mu\text{s}$ のストリーキ時間内に消滅することはない。

10 Torr では、全くリミッターにふれず、 $20\mu\text{s}$ の間極めて安定である。高気圧になるにつれて、プラズマからの発光が減少している。これはプラズマ中の不純物が少なくなることを示す。Fig. 5.28 図により、中性気体がプラズマに及ぼす安定化効果は極めて大きいことがわかる。

単純トロイダルビニチのドリフト速度を、ストリーケ写真より測定し、そのグラフを図5.29に示す。

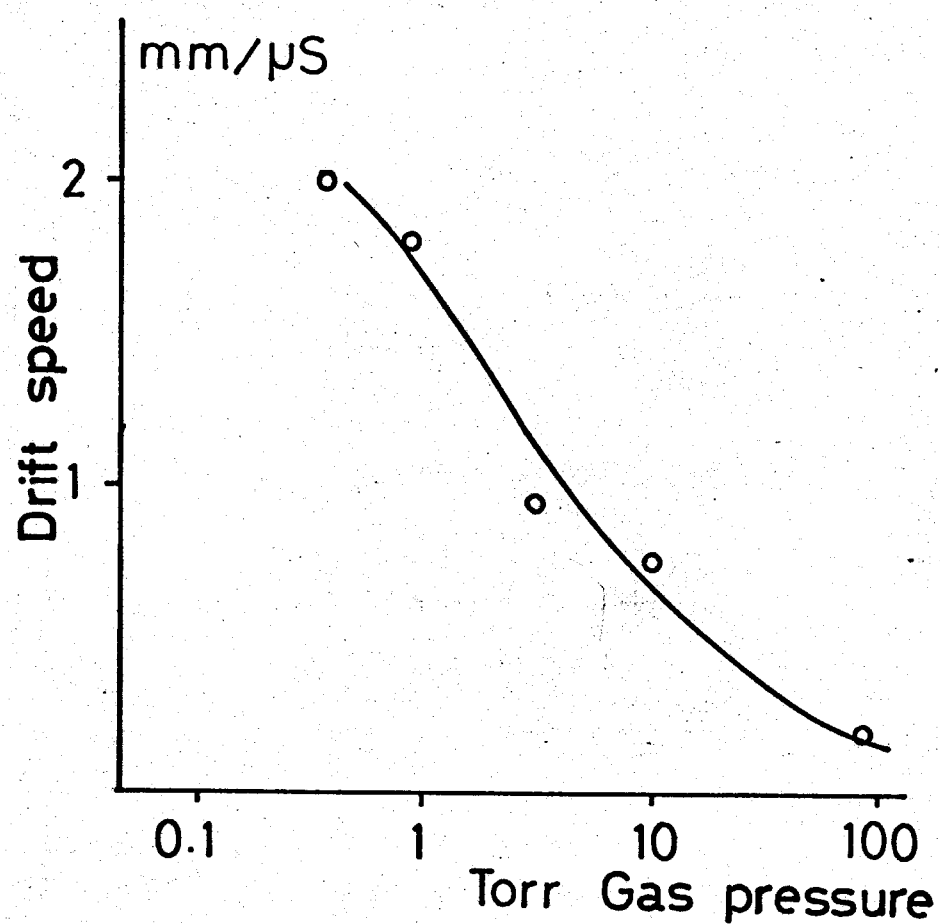


図5.29

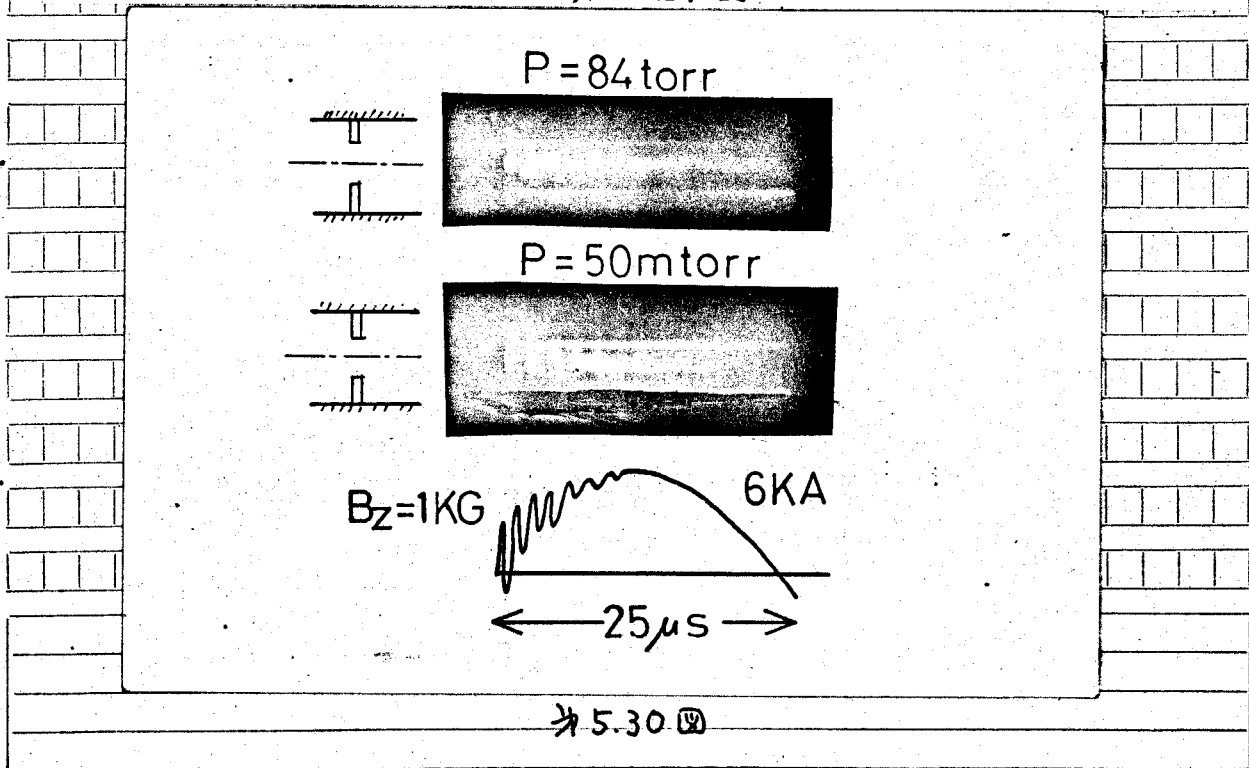


図5.30 図は高周波電流を重畠させた場合である。50 mTorr では、放電管全体に(特にリミッター内が強く)高周波電流が流れている。
84 Torr では高周波電流は、完全にリミッターから離れ、プラズマ中を流れている。また、高周波電流がない場合より、安定であり、高周波電流による動的安定化効果がみられる。

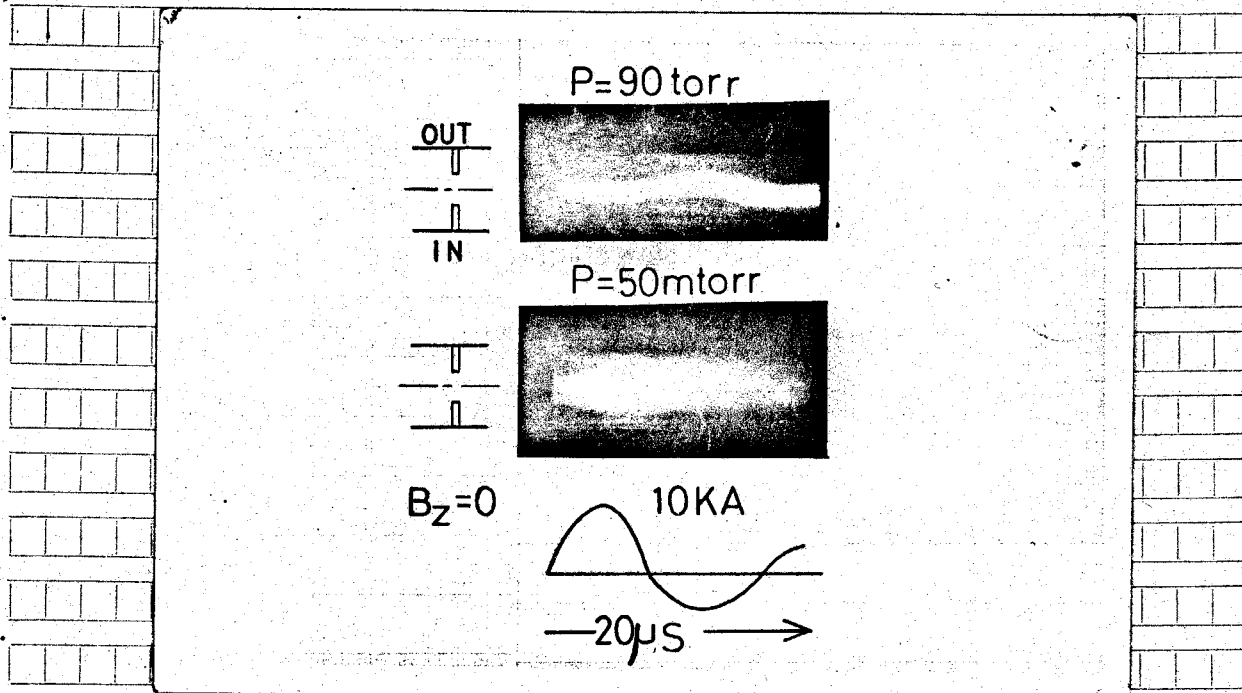


図5.31

図5.31 図はトロイダル方向磁場(B_z)をなくし、またプラズマ電流を大きくしたものである。

90 Torrにおいてプラズマは電流が零になるまではリミッターからも、完全に離れて安定であるが、電流0でリミッターに近づくと、輝いてくる。その後はリミッターから不純物で光が強いが、かなり安定である。外部磁場がなくとも安定である。

50 mTorrでは、プラズマはすぐにリミッターにあたり、一度消滅し、再び発生する。これをくり返していく。

この図5.31 図のプラズマの電子温度をモノクロにて求めた。これは、ヘリウムが発するスペクトル輝線(4686 Å と 5015 Å)の強度比の測定によ

るものである。オ5.31 図の場合、 B_z 磁場がない状態で $P = 50 \text{ mTorr}$ で。

$T_e = 4.5 \text{ eV}$, $P = 90 \text{ Torr}$ で、 $T_c = 4.3 \text{ eV}$ であった。

この測定は、中性ガス中のアラズマの熱損失はそれ程大きくないことを、定性的に示すものである。

○ 3) まとめ

この実験の目的である、大気圧中のトロイダルアラズマは予備電離用の、高周波発振器の出力が不足し、30 Torr までしか維持できなかつた。しかし、オランダのユトハースケループは 6 Torr 程度で、いまだ旋回流の効果を実験できずにいるので、これは大きな成果である。さらに高気圧にするには、ワニターン電圧の必要なこと、100 kW 程度の発振器が必要なこともわかつた。

トロイダルの放電管内に電極を挿入し、180° のセクターとして実験を行い、100 Torr 付近のガス絶縁アラズマの性質を示す気圧で、アラズマの安定性を観測した。これによると $20 \mu\text{s}$ の間には、ほとんど不安定は成長しない状態であることがわかつた。高周波電流を重畠するとガス絶縁アラズマは、期待どおり、効率よく電流が流れることを実験により確かめた。また、アラズマ電流のみの状態でアラズマの温度を測定した結果、低気圧中でも、高気圧中でもあまり温度差がないことがわかつた。

5.5 まとめ

ガス絶縁プラズマに今回開発した大電力高周波発振器を適用した場合の種々の利点、可能性を実験的に研究した。以下要約すると

- ① 大電力、高周波をプラズマにかけるとき、もともと大きな問題である高周波電力のシールド効果が、ガス絶縁プラズマにはないことが実験的に確かめられた。
- ② ガス絶縁プラズマの種々の期待される特長、(1) 高温プラズマの安定保持、(2) プラズマの純粹性保持 等が実験的に確かめられた。
- ③ ガス絶縁プラズマと真空絶縁プラズマの電子温度を比較し、ほとんど同じ温度であることが光学測定により確かめられた。
- ④ ガス絶縁プラズマの予備電離法が開発された。
- ⑤ トロイダル放電管内に旋回流を発生させ、その旋回流の中心に予備電離されたプラズマが、ガスにより安定に閉じ込まることが確かめられた。
- ⑥ 今回の実験により将来、大気圧中で、100MW程度の真空ギャップによる大電力高周波発振器によって加熱して、ガス絶縁プラズマの核融合の可能性を十分実験しうる方法が見いだされた。

第6章 プラズマの動的安定化

6.1 はじめに

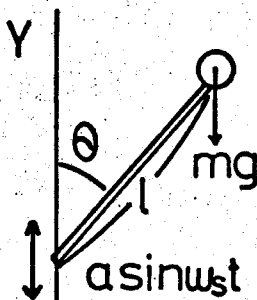
制御熱核融合によるエネルギーは人類の夢であるが、それを実現するためには多くの研究者が、非常な努力を続けている。多くの研究者は CTR (Controlled Thermo-nuclear Reactor) は磁場による閉じ込めで実現されると信じてきた。ところが現在は、その他の方法、例えば前章で述べたガス絶縁プラズマや特に最近レーザーによる方法は、その核融合の可能性を充分に示している。しかし、まだ大部分の核融合研究者は、磁界による閉じ込めによって核融合は実現されると信じている。

プラズマの閉じ込めを、静磁界 ($B = 0$) によって実現することは実験的な核融合炉の実現の点からはかなり本質的な要請であるが、一方、閉じ込めの実現という観点からは、高周波電磁界を併用、またはそれを単独で使用するには、静磁界では得られない多くの可能性を提供するものであり、それはよって得られる閉じ込め配置に与えられる自由度は、見方によつては、石器時代(57)~(61)に、金属が導入された事と似た感覚とする程である。

6.2 動的安定化の機械的モデル

(1) The Inverted Pendulum

運動方程式は



$$\frac{d^2\theta}{dt^2} - (k^2\epsilon^2 - \epsilon \sin\theta) \sin\theta = 0 \quad (6.1)$$

$$\tau = \omega_s t \quad \epsilon = \frac{\alpha}{l} \quad \epsilon^2 k^2 = \frac{g}{l \omega_s^2} = \frac{\omega_0^2}{\omega_s^2}$$

で表わせる。

※6.1 図

$\theta = 0$ の付近で式(6.1)を線形化すると

$$\frac{d^2\theta}{dt^2} - (k\epsilon^2 - \epsilon \sin \tau)\theta = 0 \quad (6.2)$$

これは、Mathieu 方程式となり、解はよく知られている。

$\epsilon \ll 1$ で安定解が得られるのは

$$k^2 < \frac{1}{2} \quad (w_0^2 > 0) \quad \text{のときである。} \quad (6.3)$$

また、(6.2)式は

$$\frac{d^2\theta}{dt^2} - (\epsilon^2 F_e - \tilde{F}_1)\theta = 0 \quad (6.4)$$

$\epsilon^2 F_e$ の力は、振動のないときの力

\tilde{F}_1 は、振動による力

stable である条件は

$$\tilde{F}_1^2 - F_e > 0 \quad (6.5)$$

\tilde{F}_1^2 は、1周期の平均の力である。

$|w_0| = \frac{n}{2} w_s$ $n = 1, 2, 3$ の場合は、パラメトリック振動を励振する。この条件のときは、エネルギーの発散が入力エネルギーより小さく、不安定となる。

このモデルから解るように、成長率の違い、不安定ほど、安定化する方が難しい。これは、直感と大いに異なる所であり、逆立ち振り子では、この大きなものほど安定化は、難しいことを示す。

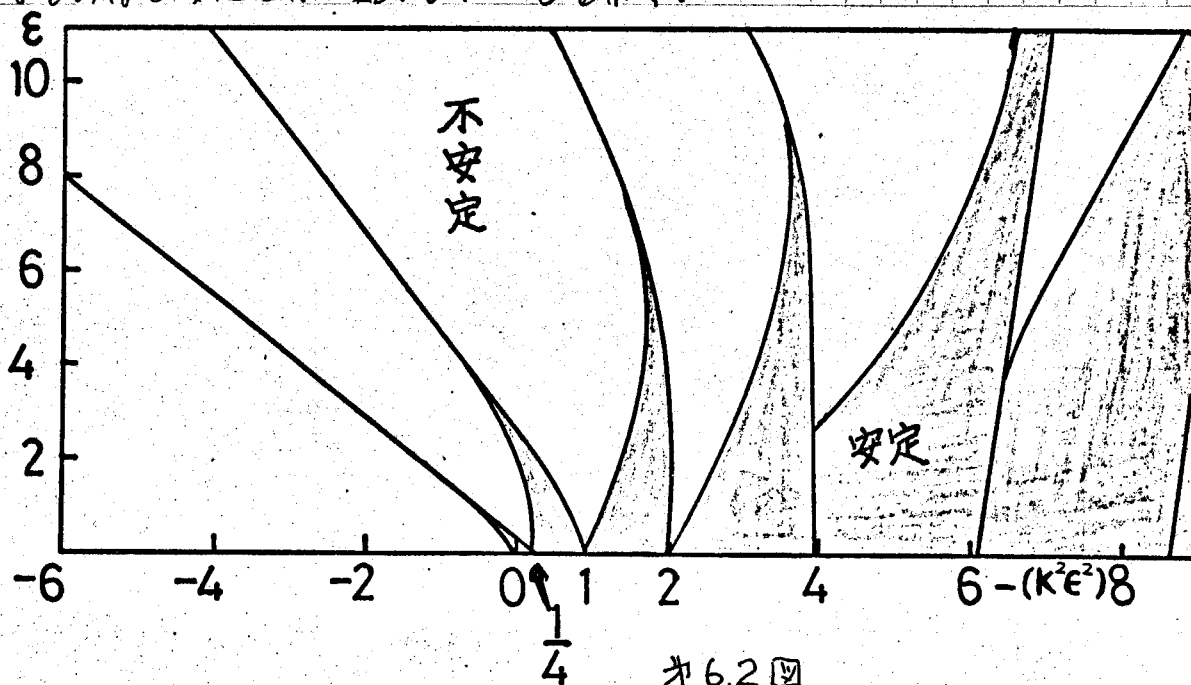


図 6.2 四

2) 流体における問題

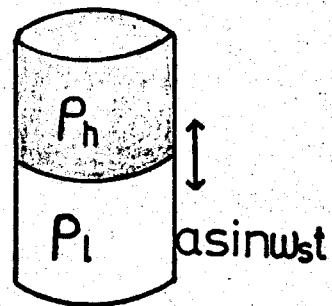
ヨウ化カリウムの水溶液の動的安定化によって、レイリー・テイラーの不⁽⁶²⁾定性を抑える研究が Wolf 氏等によつて行なわれた。オ 7. 3 図に示す様に上に重い流体、下に軽い流体を置き、それを上下に加速度を加え、安定化の実験を行つた。Wolf 氏によれば、安定条件は

$$\alpha w_s^2 \geq \frac{2g^2}{\alpha \Omega^2} \quad \text{--- (6. 6)}$$

$$\Omega^2 = \frac{2\pi g}{L} \frac{\rho_h - \rho_e}{\rho_h + \rho_e} \quad \text{--- (6. 7)}$$

L は、パーセベーションの波長、 ρ は、流体の密度

振動の周波数 w_s 、 $\Omega \rightarrow 0$ に近づくと条件は厳しくなる。これは、逆立ち振り子のしが大きくなつたことに相当する。



オ 7. 3 図

6. 3 7°プラズマの動的安定化

Tokamak や Screw pinch のようにプラズマに電流を流すことによって、平衡を得る装置は、必ず、磁気流体的不安定性を示すため、なんらかの安定化方法を考へる必要がある。一般的には導体壁による安定化であるが、さらに、
(13)(18)~(21)(63)(64)
 積極的に動的安定化が有力な手段となる。

このような装置における主な磁気流体不安定性は、 $m=1$ ヘリカルモードである。このモードに対する動的安定化は特に Tokamak の高ベータ化にも有力な方法となる。また、加熱の面においてもより多くの電流をプラズマに流し、
 7°プラズマをより高温にする。現在の Tokamak においては、ベータ値を上げるために、主としてアスペクトレシオ R/a を小さくする試みがなされている。
 が、理論的なベータ値の限界は、 $\beta \sim \frac{a}{R} \frac{1}{q^2}$ 、ここで q はヘリカルモードに対する Safety factor であり、多くの装置では、 $q > 3$ に取られている。
 q の値を動的安定化によって 1 に近づければ、効率良く、ベータ値を上げることも可能である。
(65)

6. 3-1 プラズマ柱が $m=1$ ヘリカルモードに変形した場合に働く力。

電流が流れているプラズマ柱の主な MHD 的不安定性は、 $m=1$ ヘリカルモードであることは、すでに述べた。ここでは、このモードのみについて考える。

$m=1$ モードに対してはトーラスの曲率効果は無視できるので、取り扱いが簡単になると、この理由から、ここでは直線状の系で考える。トーラス効果は、軸方向に周期性を持つという性質によって考慮される。これは、不安定性の波長が、トーラスの円周の整数分の 1 に等しい場合のみ不安定なモードとなる。

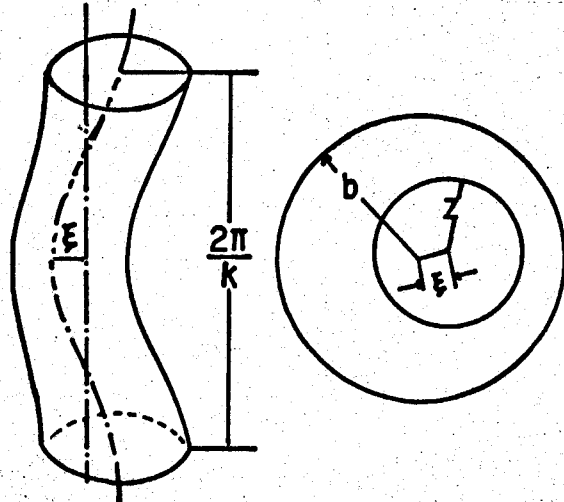
(i) 平衡状態

プラズマ柱は、半径 a の円柱状であり、軸方向に一様な外部磁場 B_0 の中に置かれている。そしてプラズマ柱は半径 b の導体壁によって取り囲まれており、
 プラズマの表面には、 I_p なる電流が流れている。(Sharp boundary Model)

ii) $m = 1$ ヘリカル・モード

アラズマ の中心軸は、平衡の位置より少しだけずれた状態を考える。

オ 6. 4 図に示す様にアラズマの中心柱は半径が $\frac{b}{2}$ でピッタ $2\pi/k$ のらせん状に走っている。この様ならせん状(つる巻線)は、接線が一定の方向に定角をなしている。結局一定の曲率、一定の振率をもつてゐる。アラズマの中心軸にのった座標系 (P, φ, S) を用いる。



6.4図

この系に対する磁気ポテンシャル V を ϕ とすると、 ϕ はラアラズマの方程式より

$$\nabla^2 \phi = 0 \quad B = \nabla \phi$$

から求められる。 ϵ は小さく、 k も小さい長波長においては、6. 7 式は、

$$\frac{\partial^2 \phi}{\partial P^2} + \frac{1}{P} \frac{\partial \phi}{\partial P} + \frac{1}{P^2} \frac{\partial^2 \phi}{\partial \varphi^2} + K \sin(\varphi - KS) \frac{1}{P} \frac{\partial \phi}{\partial \varphi}$$

$$+ \frac{\partial^2 \phi}{\partial S^2} + P \frac{\partial \phi}{\partial S} K K \sin(\varphi - KS) = 0$$

(6. 8)

K は曲率 $= k^2 P$ となる。

ここで、 ϕ は、零次近似的ポテンシャルと一次近似的ポテンシャルの和であるからアラズマ外部について考えると、

$$\phi^e = \phi_0^e + \phi_e^e(P, \varphi, S) = B_0 S + \alpha \varphi B_a + \phi_e^e \quad (6. 9)$$

6. 9 式を 6. 8 へ代入して

$$\frac{\partial^2 \phi_e}{\partial P^2} + \frac{1}{P} \frac{\partial \phi_e}{\partial P} + \frac{1}{P^2} \frac{\partial^2 \phi_e}{\partial \varphi^2} + \frac{\partial^2 \phi_e}{\partial S^2}$$

$$= -K^2 \left[\frac{a}{P} B_a + PB_0 K \right] \sin(\varphi - KS) \quad (6.10)$$

ここで $\phi_e = \psi_e(P) \sin(\varphi - KS)$ とおくと ψ_e は変形ベッセル関数。

$$\psi_e(P) = \{ C I_1(KP) + D K_1(KP) + KP B_0 + \frac{a}{P} B_a \} \quad (6.11)$$

である。

アラズマ内部も同様に、

$$\psi_i(P) = \{ A I_1(KP) + K P B_i \} \quad (6.12)$$

以上のように ψ に関する一次のオーダーまで考慮したポテンシャルが求められた。ここで A, C, D は定数であり、アラズマ表面と導体壁での境界条件によって決められる。 ψ では、

$$n \cdot [B] = 0 \quad (6.13)$$

$$[B] = B_e - B_i \quad (P=a)$$

ここで ψ に関する一次の頂までの磁界が求められたことになる。

次にアラズマ柱に働く単位長さあたりの力を、求める。

アラズマ柱に働く力 f は

$$f = -\frac{1}{2\mu_0} (B_e^2 - B_i^2) \quad P=a \quad (6.14)$$

この力をアラズマの周りを一周たし合せると平衡軸方向の力となり、アラズマ柱の単位あたりの ψ 方向の力 $F(\psi)$ は、今、長波長の $m=1$ モードを考え

ついで $K_a \ll 1$, $K_b \ll 1$ である。

$$\beta = 2\mu_0 P / B_0^2 \text{ より } B_i^2 = (1 - \beta) B_0^2$$

とおきがえれば、

$$F(\xi) = -\frac{\pi}{\mu_0} \left[2 \frac{a^2}{b^2} B_a^2 + (2 - \beta)(K_a)^2 B_0^2 - 2 K_a B_a B_0 \right] \xi$$

----- (6.15)

と書くことができる。この力の ± 1 頂は、プラズマ電流の導体壁による Image Force であり、プラズマ柱の安定化力を示す。 ∓ 1 頂は $m=1$ モードに対する縦磁場の Shear 効果を表わし、安定化力を示す。 ± 3 頂はプラズマ電流と縦磁場によるローレンツ力であり、 $m=1$ モードを成長させる。

iii) $m=1$ ヘリカルモードの動的安定化

簡単のため、導体壁のない場合、($b \rightarrow \infty$)を考える。

運動方程式は

$$\pi a^2 P_0 \frac{d^2 \xi}{dt^2} = -\frac{\pi}{\mu_0} [(2 - \beta) K^2 a^2 B_0^2 - 2 K_a B_a B_0] \xi \quad ----- (6.16)$$

となる。 P_0 は、 γ プラズマの質量密度である。 $\pm m=1$ モードが安定であるためには、

$$F_\xi < 0 \quad ----- (6.17)$$

$$\text{より } (2 - \beta) K^2 a^2 B_0^2 - 2 K_a B_a B_0 > 0 \quad ----- (6.18)$$

$K = \frac{1}{R}$ とする。

$$\frac{a B_0}{R B_a} > \frac{2}{2 - \beta}$$

これを書き換えると、

$$q = \frac{a B_0}{R B_a} > \frac{1}{1 - \frac{\beta}{2}} \quad (6.19)$$

この関係式は、K-S limit を示す。low β では、 $q > 1$ 、high β では、 $q > 2$ 、 $m=1$ ヘリカルモードの安定条件になる。

K-S limit 以上の電流を、流す場合は、 $m=1$ ヘリカルモードは、安定化されない。このような場合において、 $m=1$ モードを安定化する有力な手段として、動的安定化がある。これにはいろいろな方法が提案されているが、その中で最も簡単で有力な方法は、プラズマ電流に高周波電流を重畠させる場合である。

b. 16式において、 B_a を $B_a + \tilde{B} \cos \omega t$ と置き換えると、

$$\frac{d^2 \xi}{dt^2} + \left[\frac{4}{\alpha^2 \omega^2} \frac{B_0^2}{\mu_0 \beta} \left((2-\beta) k^2 \alpha^2 - 2 k a \frac{B_a}{B_0} \right) - \frac{8}{\alpha^2 \omega^2} \frac{B_0^2}{\mu_0 \rho_0} \frac{\tilde{B}}{B_0} \cos 2t \right] \xi = 0$$

(6.20)

ここで

$$\alpha = \frac{4 V_A^2}{\alpha^2 \omega^2} \left\{ (2-\beta) k^2 \alpha^2 - 2 k a \frac{B_a}{B_0} \right\}$$

$$\gamma = \frac{4 V_A^2}{\alpha^2 \omega^2} k a \frac{\tilde{B}}{B_0}$$

$$V_A = \frac{B_0}{\sqrt{\mu_0 \rho_0}} \quad \text{アルベニ速度}$$

結局、良く知られたマシュー方程式となり、

$$\frac{d^2 \xi}{dt^2} + (\alpha - 2 \gamma \cos 2t) \xi = 0 \quad (6.21)$$

$16\pi \times -4(\alpha, \gamma)$ によると、安定解、不安定解が得られる。

6. 21式が 安定な解をもつためには、

$$\omega > \frac{4V_A}{R} \left\{ g^{-1} - 1 + \frac{1}{2}\beta \right\}^{\frac{1}{2}} \quad \text{--- (6.22)}$$

$$\frac{\hat{B}}{B_0} > \frac{4a}{R} \left\{ g^{-1} - \frac{2-\beta}{2} \right\} \quad \text{--- (6.23)}$$

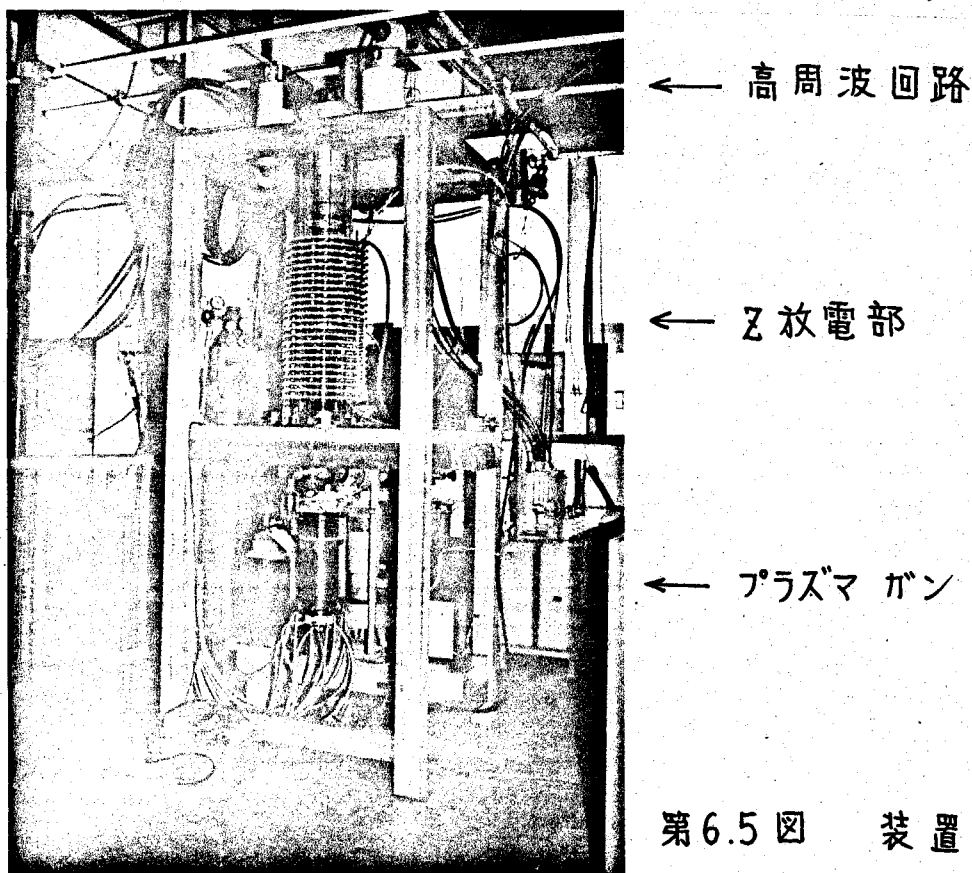
が得られる。6.23よりわかるように高周波発振器の出力は大きなものが要求される。しかし、導体壁効果を考えると、6.23の条件はかなり大中に緩和されるとと思われる。

6.4 乙放電プラズマの動的安定化の実験

6.4-1 はじめに

今回の実験の目的は、真空ギャップによる大電力高周波発振器を用いて、プラズマの動的安定化の基礎的な実験を行うことである。そのため、プラズマ実験装置の中で最も単純で、動的安定化の効果を観測しやすい乙放電装置を用いた。

大電力高周波をプラズマに適用した場合起る種々の問題点をこの乙放電装置により、予備的に実験し、将来のトロイダル装置の動的安定化のステップとする。オ1の問題は、いかにして大電力の高周波を乙放電装置に導き、プラズマといかに結合させるか。オ2の問題は、オ5章でも述べたとおり、プラズマの周りの弱電離プラズマや、放電管壁での高周波放電によるシールド効果の除去。オ3の問題は、プラズマ自身の Dynamic を動きによるプラズマの安定性、平行に与える影響が動的安定化の効果より大きくなること、これらの要求を満たすためにプラズマガンで、プラズマを打ち込み、そのプラズマに電流を流す方式の乙放電装置を建設した。(オ6.5図)



第6.5図 装置全景

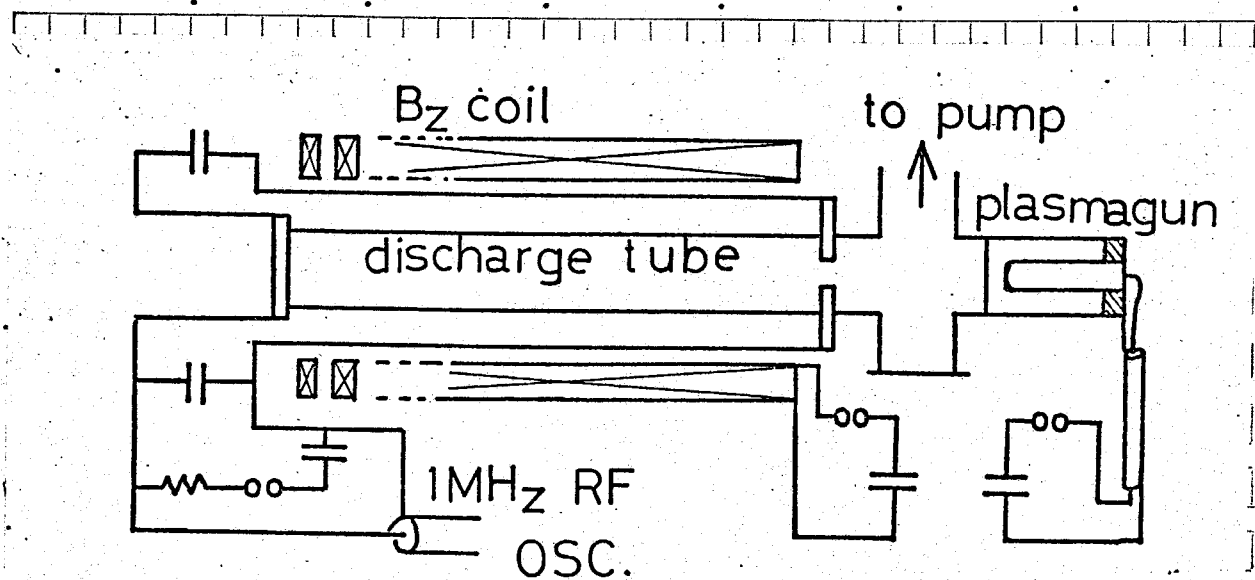


図 6.6 Schematic diagram of apparatus

図 6.6 に示すように、プラズマガンによってプラズマを発生させ、プラズマガンの電磁力によってプラズマは加速され、乙電極に作られたリミッターから乙放電管内に打ち込まれ、乙放電管内の縦磁場によってまもなく流れて、他方の電極までプラズマが到達したとき、乙バンクのコンデンサを放電し、乙放電を行なう。乙放電管内はあらかじめ、高真空の状態にしてあるから、乙放電時には、プラズマの周りには弱電離プラズマはなく、また、放電管壁はきれいな状態であるから、高周波電界による放電や、シールド効果は起らしないと思われる。また、プラズマの密度、半径はプラズマガンによって決まり、前節述べた、 $m=1$ 不安定性の運動方程式中 (6.16) の $\pi a^2 p_0$ が一定となり、乙電流に RF の電流を重畠し、プラズマの動的安定化のモデル化された実験を行うことができる。

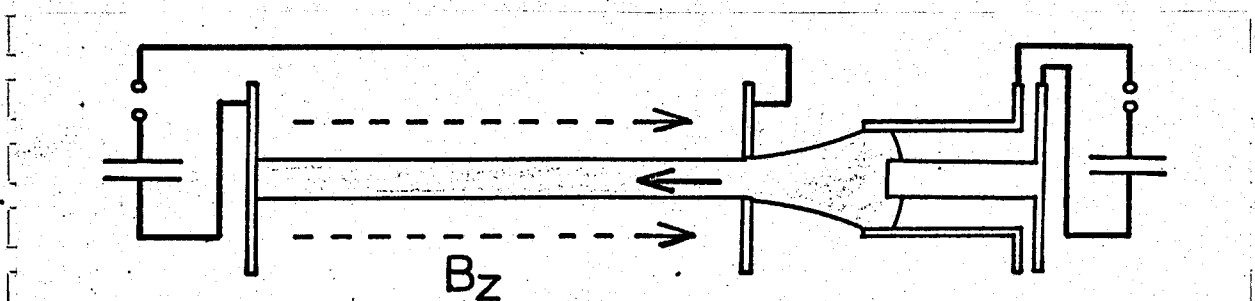


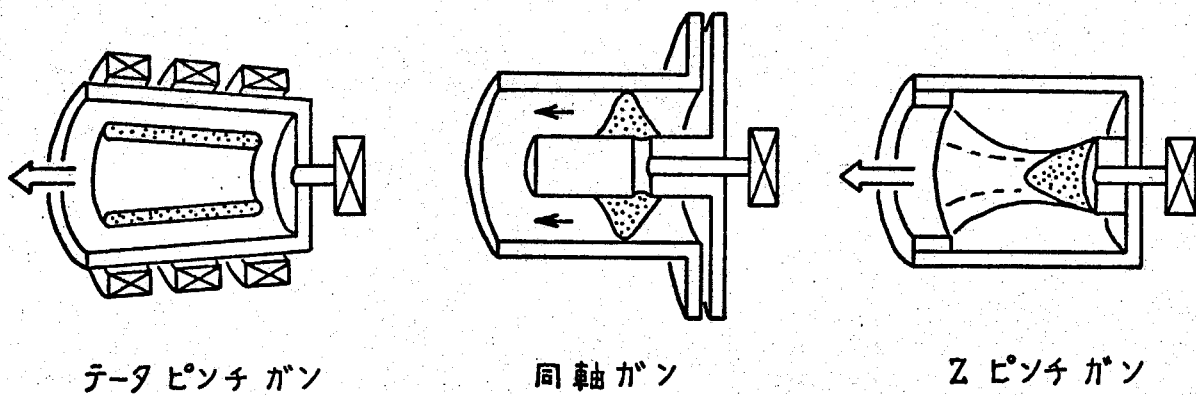
図 6.7 Plasma is initially produced by means of the plasma gun.

6.4-2 実験装置

① プラズマガン

プラズマガンは、高速電磁弁により少量のガスを高真空中へ放出し、そのガスがプラズマガン内に適度に拡散した時、プラズマガンに電界をかけ、ガスを電離し、高温、高密度のプラズマを作る。さらにこのプラズマに流れれる電流により、プラズマは加速され、プラズマガンから打ち出される。

プラズマガンは大別すると次のようになる。 $\textcircled{6.8}$ 図に示すように



同軸ガン

データピンチガン

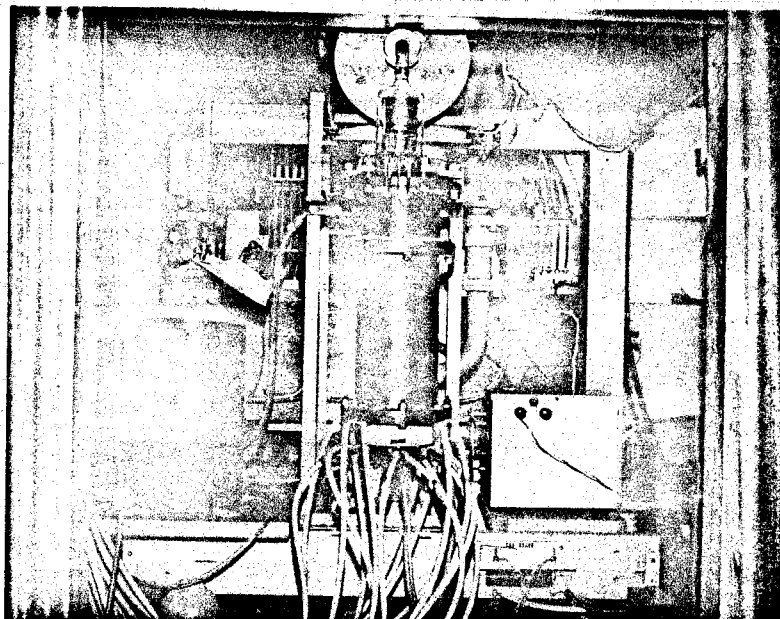
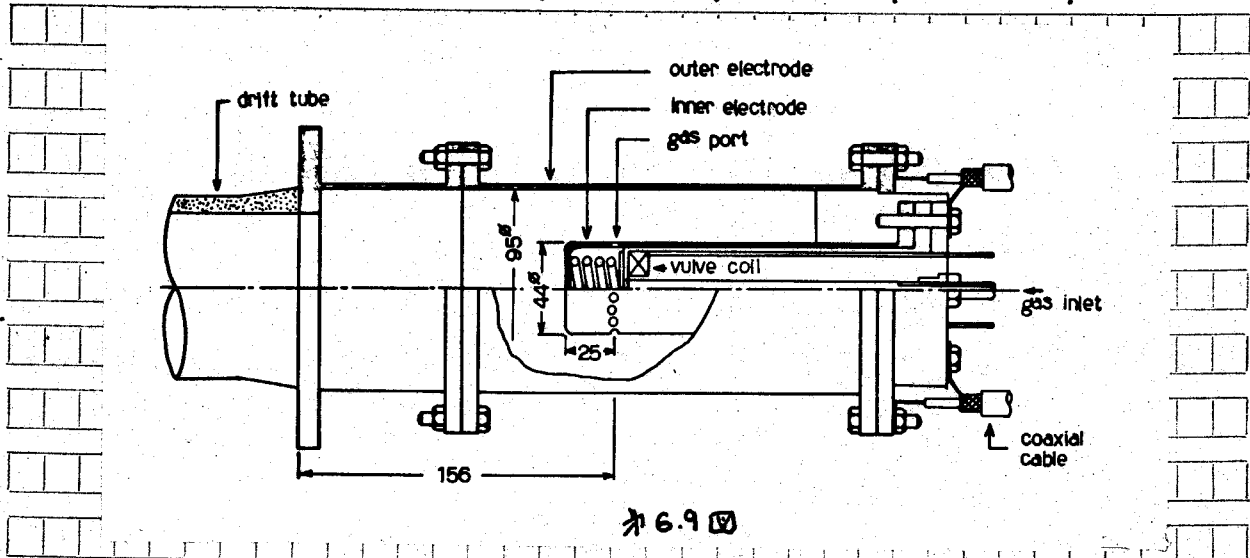
Zピンチガン

 $\textcircled{6.8}$ 図

データピンチガンは無電極放電であり、データピンチのZ方向の磁場の不均一により、一方へ押し出される。プラズマの温度は1keVが限界である。

有電極のガンは同軸状のMather Typeと、Zピンチ型のFillipov Typeがあり、プラズマの温度は10keVまで行く。

本装置では、Z放電管内に初期プラズマを形成させるためにプラズマガンを使用するので、ガンからのプラズマの温度や、密度にはあまり期待しないが、た。同軸プラズマガンは使用した経験もあり、その技術は以前から確立しているので、これを比較的低エネルギーで用いて、安定したプラズマ源とした。



プラズマガン

ガスバルブ駆動用には、 $12\mu F$, $4.3 kV$ のコンデンサの放電により、2、駆動コイルに電流を流し、その電流の作る磁場のうず電流により、 $2 mm$ 厚のアルミニ円板を反発駆動し、ガス袋の内の He ガス ($0.2 cc$) を放出する。プラズマガンの電源には、 $4.4\mu F$ のコンデンサを $15 kV$ で使用し、ガスバルブ Bank の発火後、 $150\mu s$ でガン・Bank を発火させている。

(2) B_Z コイル

B_Z コイルはプラズマの観測が容易にできるように、スリット状のコイルである。また、プラズマの動きに対して十分に定常的な磁場であるようにマルチターンのコイルとし、インダクタンスを多くする。

コイルは25巻きの革層巻きで、コイルの一巻、二巻の巻枠がそれぞれ電流トランジスとなり、コイルが発生する磁場を増強するようになっている。

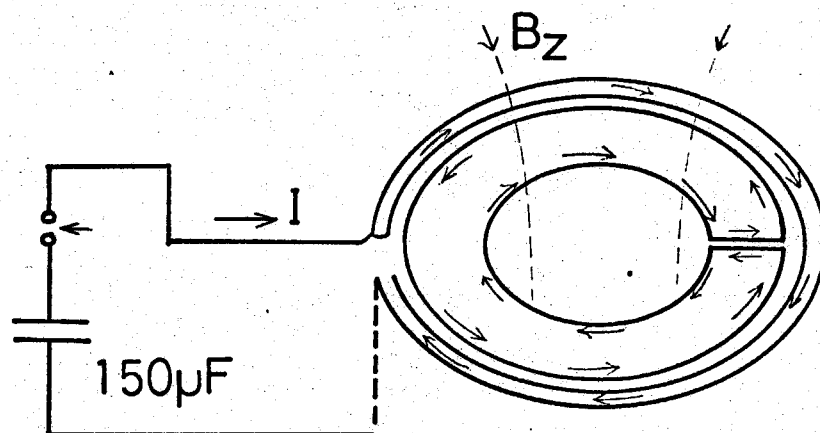


図6.11

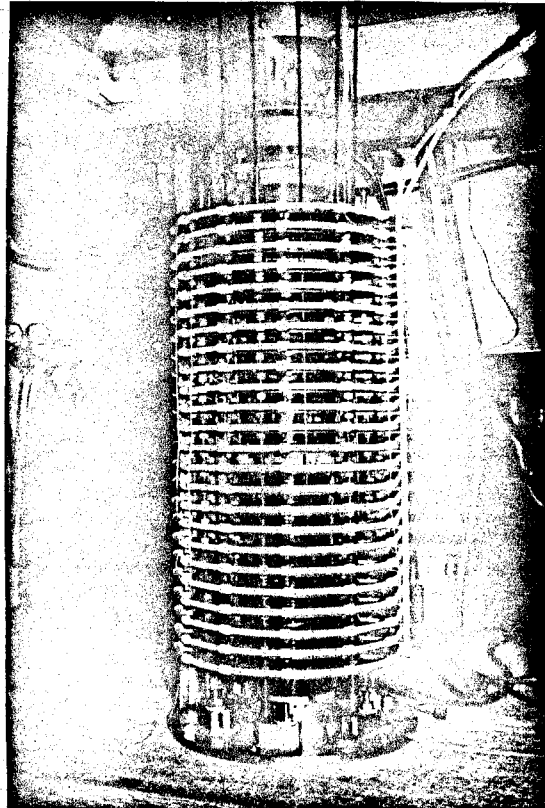
 B_Z コイル

図6.12

③ I_Z 回路

B_Z 磁場の大きさが、ユニティニサーバンクの充電エネルギーによって概略決定されている。また、装置の大きさも決定されているので、この装置の $K-S$ limit を計算してみる。

トーラス装置の $K-S$ limit の q は、 $q(a) = \frac{aB_Z}{RB_a}$

B_a はアラスマ表面の Z 方向の磁場。

R はトーラスの主半径で、 Z 放電の場合に、 Z 方向の最大波長と一致する。

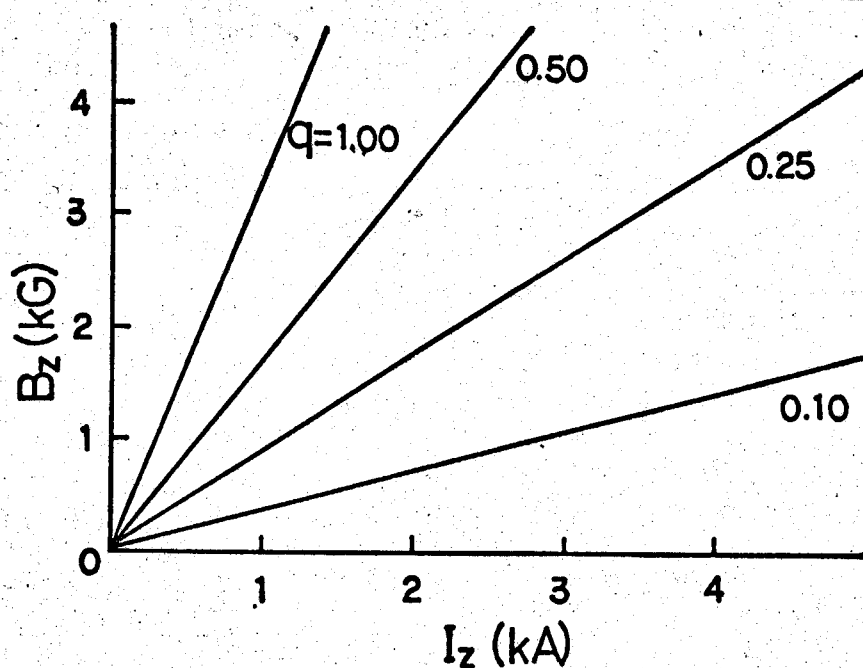
トーラスの最大波長 ($2\pi R$) = Z 放電の最大波長 ($2L$)

$$\therefore R = \frac{L}{\pi}$$

よって、 Z 放電装置の $K-S$ limit の q は

$$q = \frac{\pi a B_Z}{LB_a}$$

$$B_a = \frac{M_0 I_Z}{2\pi a} \quad \text{より} \quad q = \frac{(\pi a)^2}{\mu_0 L} \cdot 2 \cdot \frac{B_Z}{I_Z} \quad \dots (6.24)$$



$a = 1 \text{ cm}$

$L = 50 \text{ cm}$

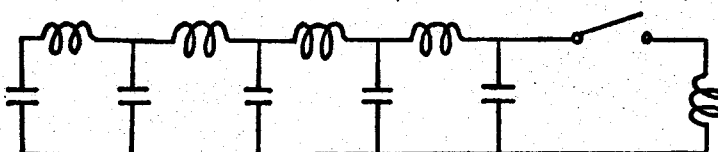
$K-S$ limit

613

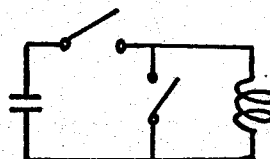
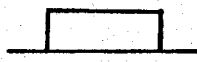
【6.14】電流は、 $f=1$ 付近で数kAである。このようなく比較的小電流Eコンデンサー放電で得るのは簡単である。電流波形は、方形波は理想的であるが、コンデンサー放電はそのままではサイニ状の波形になり、集中定数の遅延回路を用いる。クローバー回路によてサイニ状の波形をクラシフする方法もよく用いられる。(→6.14回)

今回、新しく開発した電源源は、コンデンサー放電を行い、その放電が抵抗的な放電の場合、模擬的なクローバー波形になることを利用したものである。

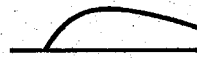
- ⑨ L, C, R直列回路において、 $R = 2Z_0$, $Z_0 = \sqrt{\frac{L}{C}}$ で臨界制動状態となり、それ以上の抵抗では非振動的となる。(→6.15回)



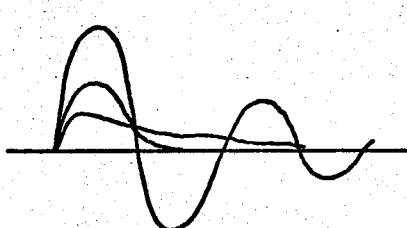
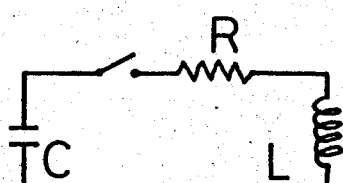
遅延回路



クロバー回路

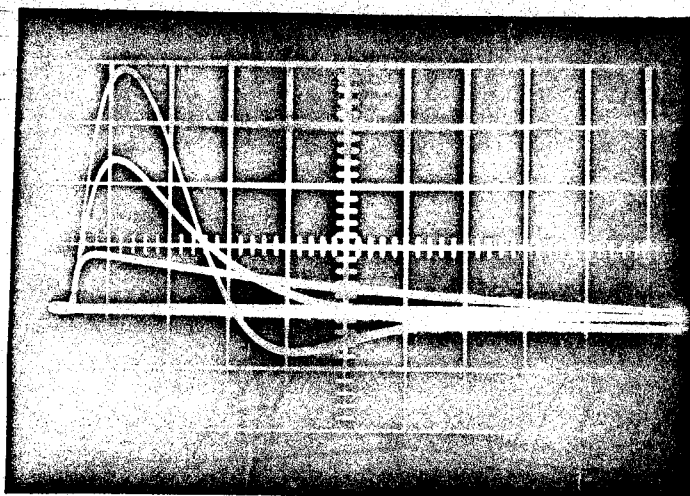


→6.14回



→6.15回

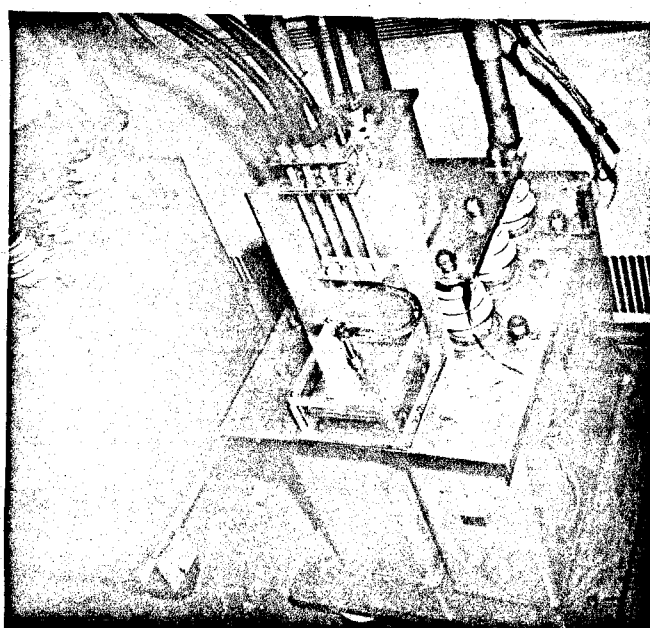
このような抵抗が主な回路においては、電流の decay Time は、RCで決まり、電流の立ち上りは、Cとくによって決まる。#6.16図によるとわかるように電流の立ち上りの割合は一定であるから ($\frac{dI}{dt}|_{t=0}$ は一定) 抵抗が主な回路の方が、電流最大値までの時間(立ち上り時間)は短かくなる。#6.16図



抵抗の変化による
I_z電流波形の変化

5μS/div 1.12KA/div

#6.16図



I_z Bank と 溶液抵抗

#6.17図

④ ガイドフィールド

プラズマガンエリのプラズマを効率よく、又放電管内に導き、またプラズマの温度を下げないように、ガイドフィールドをプラズマガンと放電管の間に置いた。磁場の強さは、500 G 程度必要であるが、放電の電極内にも、ガイドフィールドが込み込む必要がある。(込み込み時間は数 10 ms である。ガイドフィールド電源としては、その数倍の時間、磁界を維持しなければならない。

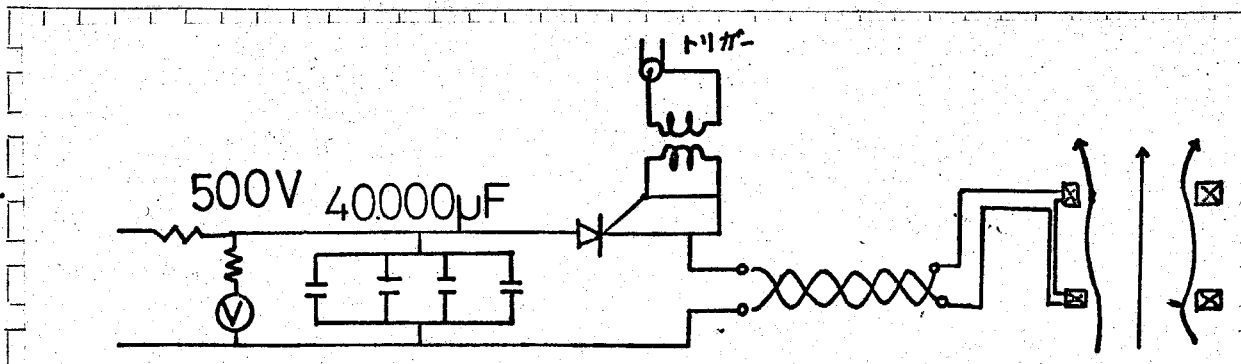
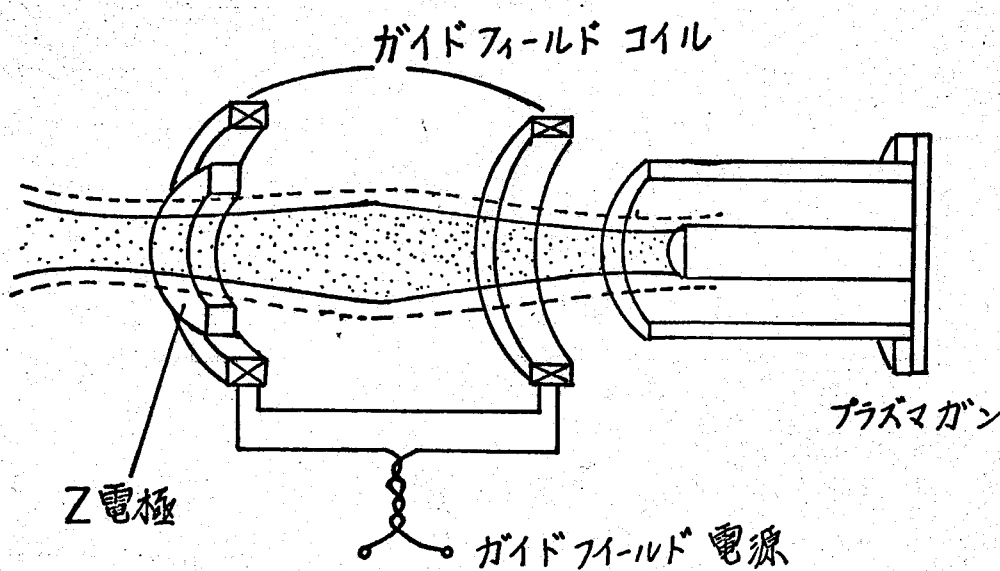


図 6.18 回

- ガウスマーテーによる実測により、中心部の磁界 100 G, 持続時間 500 ms が得られた。

⑤ RF 回路

この実験装置の目的の一つは、高周波電流を効率よくプラズマに流すことである。すでに大電力高周波発振器は完成し、タンク回路に数MWの出力を発生しているが、RF電力の輸送は電力の大小にかかわらず、技術的に種々な困難がともなる。今回開発した真空ギャップ大電力発振器は発振時間が短いため、RF電力の輸送に通常のインピーダンスマッチング回路を用いると、インピーダンスマッチング回路は、エネルギーの蓄積をともない、定常的な発振回路では、その働きを行うが、パルス的な発振に用いるとピーク出力と小さくし、その持続時間は長くなる傾向である。そこで次のように考えて、又放電装置と、RF発振器とを結合した。

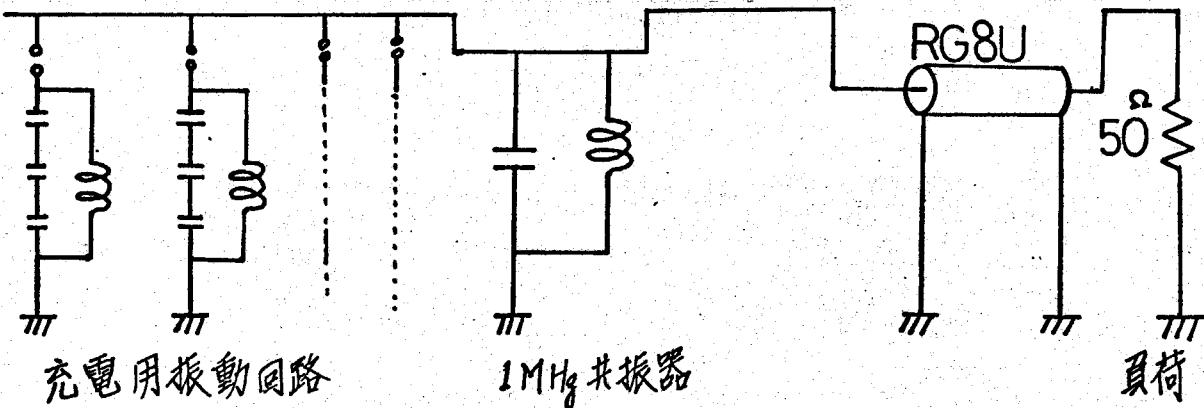


図 6.19 図

図 6.19 図は、発振器の運転試験回路である。 $50\ \Omega$ の負荷に流れる電流を測定して発振出力を計算した。 $50\ \Omega$ の負荷は、ケーブル RG 8/u のインピーダンスと等しいから、RG 8/u の長さに無関係に 1 MHz の電力が負荷に供給できる。RG 8/u の損失は、20 m 程度の長さでほとんど無視できる。また数 MW の電力の移送が短時間(数 $10\ \mu s$) であるならば、RG 8/u で可能であり、耐圧によく決まると思われる。図 6.19 の 1 MHz 共振器を、プラズマと L とした共振器に置きかえると最も効率が良い。そこで、RG 8/u の入力と、出力を入れかえり、 $50\ \Omega$ の負荷に充電用振動回路の電流パルスを送り、RG 8/u の末端に、共振回路を置き、そのインダクタ部分は、プラズマ

となる。一般的な発振器の出力回路とケーブルに対して逆に取り付けた回路となる。

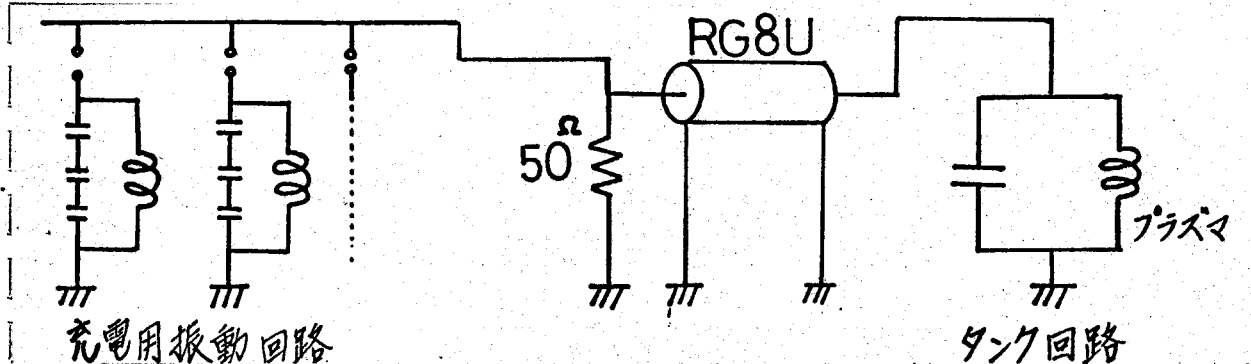
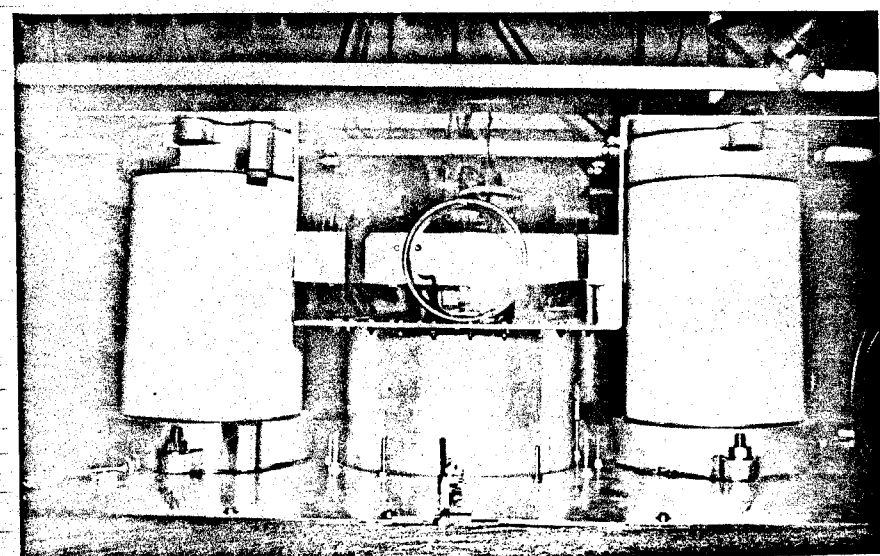
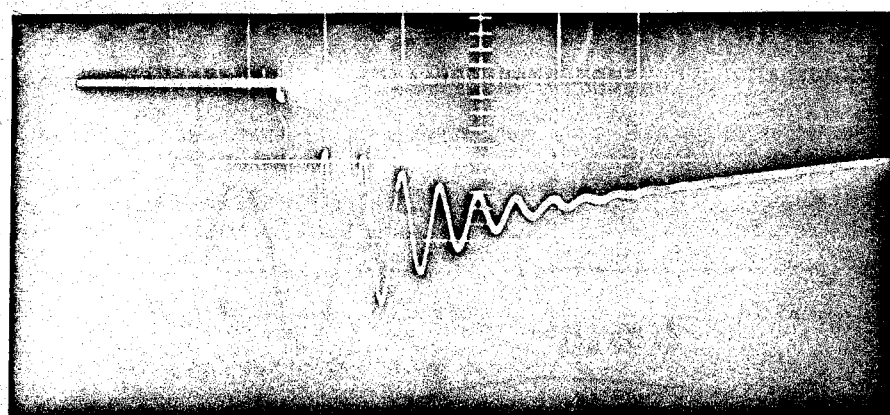


図 6.20

図 6.20 の回路で 20 m はなれたタンク回路を駆動できた。この回路はプラズママイニダクタンスが変化しても、それに追従して充電用振動回路のパルス間隔をプログラムすれば、常に共振の状態を維持でき、この発振器の特長といふことができる。



タンク回路

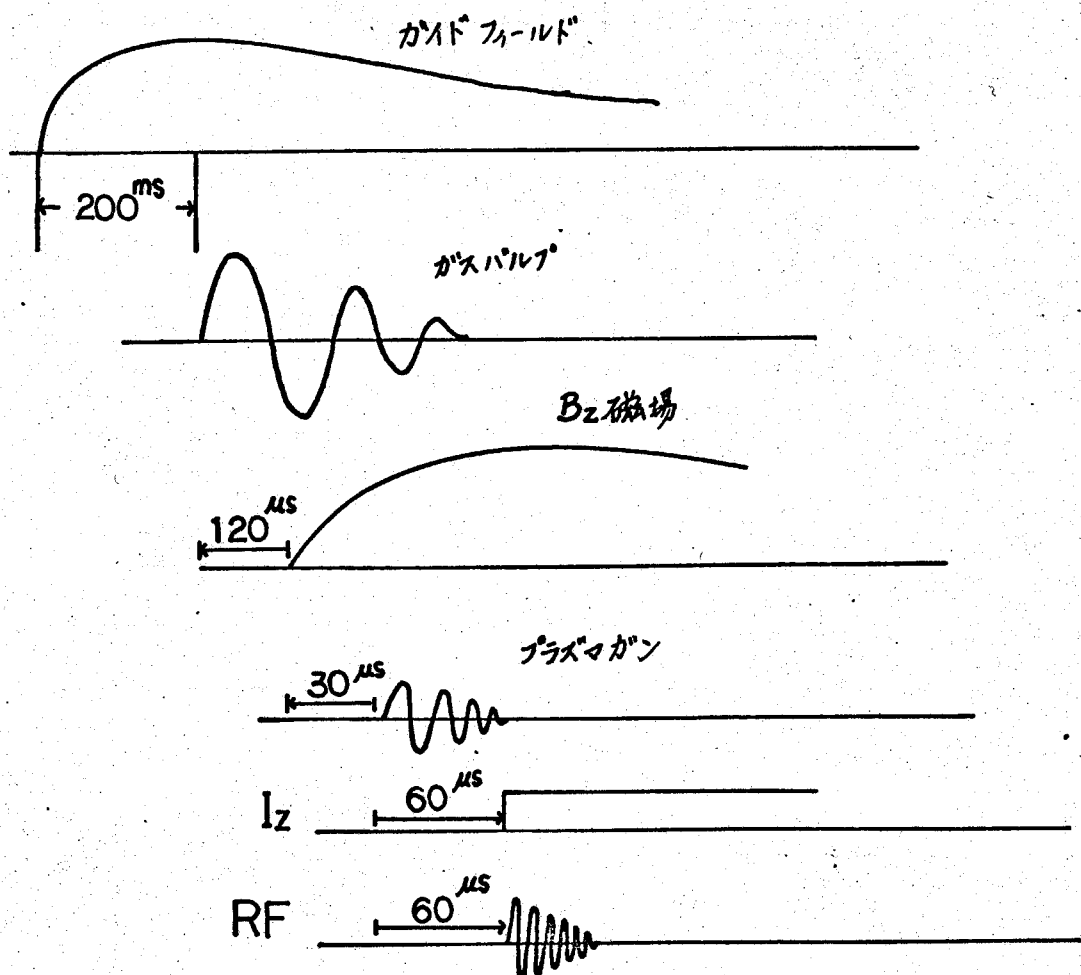
図 6.21

6.4-3 実験結果

① 初期プラズマ

プラズマガンより打ち込まれたアラズマの密度、電子温度を測定した。プラズマはX放電の下部電極となりミッターの直径2cmの穴より流出する。X放電管内は数kGのB_Z磁場があり、磁場にそってほぼ2cmのままで、上部の電極までアラズマは垂直に柱となる。

ガスバルブ用コンデンサーの放電、B_Z磁場発生用コンデンサーの放電、プラズマガンコンデンサーBankの放電のタイミングは、プラズマの各パラメーターに大きく依存し、特にガスバルブの始動からプラズマガンの発火までの時間は、大きな影響がある。本実験の場合のタイムシーケンスは次のようである。



6.22回 タイムシーケンス

I_E を プラズマに流し始める時、プラズマの密度、電子温度は本実験の初期
プラズマとなり、そのため、いろいろなパラメータを知りておく必要がある。そこで
次のような複探針によ、てプラズマの密度、電子温度を求めた。

測定した時刻は、プラズマガンが発火した後 $60\ \mu\text{s}$, $70\ \mu\text{s}$ である。この時刻は、プラズマガンの電流が減衰し、又放電管内のプラズマが非常に良い再現性を示す時である。図 6.23 に複探針の電圧、電流特性を示す。

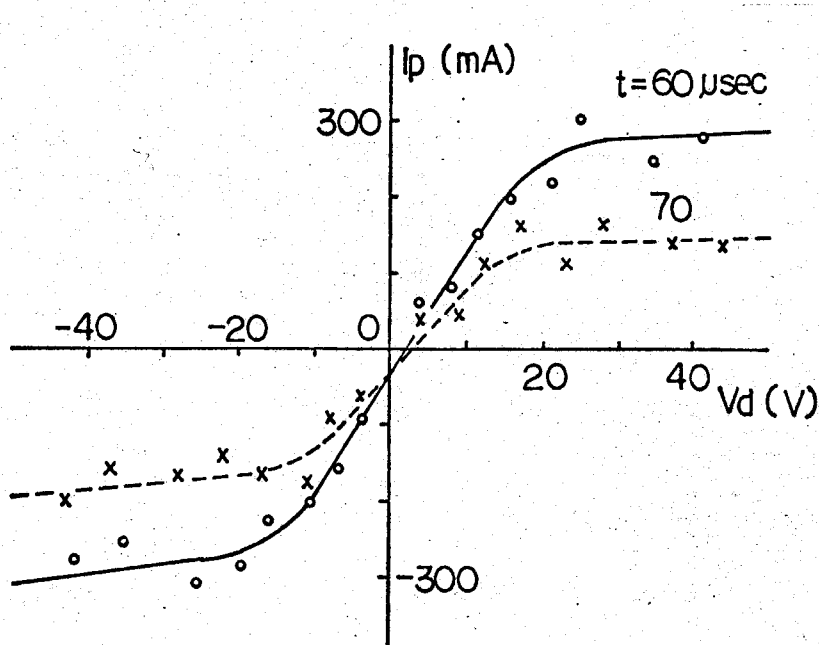
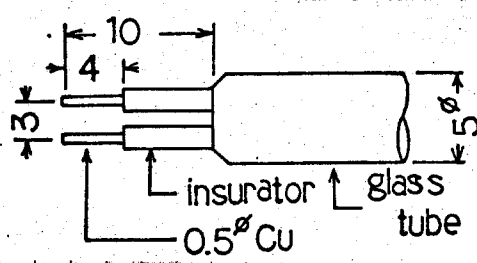


図 6.23 複探針の電圧電流特性



複探針

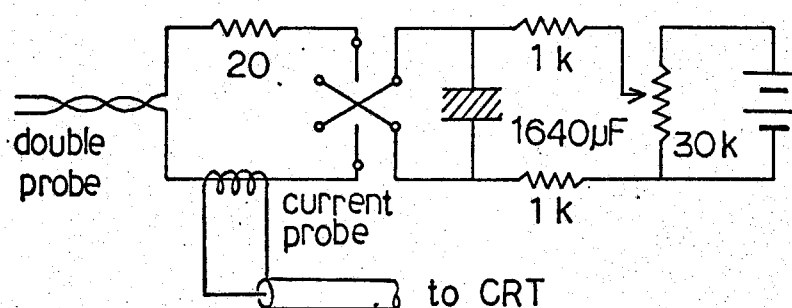


図 6.24 測定回路

電子密度は、

$$n_s = A n \left(\frac{kT}{2\pi M} \right)^{1/2} \text{ より}$$

$$M = 6.69 \times 10^{-24} \text{ g}$$

$$T_p = 8 \text{ eV}$$

$$A_s = 0.516 \times 10^{-1} \text{ cm}^2 \text{ より 求めることができます。}$$

以上を表にまとめると、Fig. 6.25 図のようになる。

	T_e : (対数法)	T_e : (等価抵抗法)	Density
60 micro sec. after	8.4 eV	9.43 eV	6.74×10^{13}
70 micro sec. after	8.1 eV	7.05 eV	7.06×10^{13}

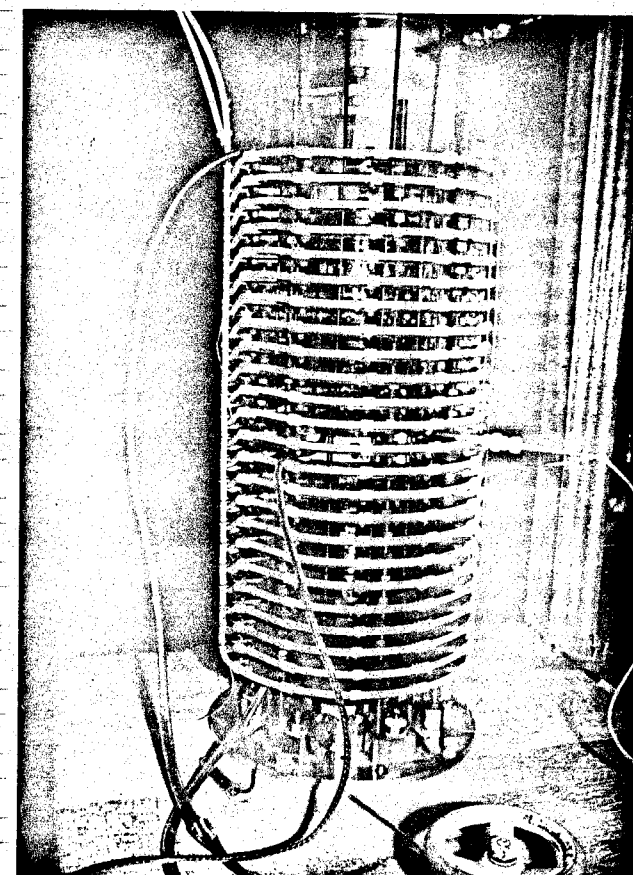
Fig. 6.25 図

② Kinkインスタの成長率と動的安定化の効果

プラズマガンで打ち込まれた初期プラズマに I_E 電流を流して、プラズマの半径方向の動きを、高速度カメラ・ストリーク写真、サイニコサインコイルにより測定した。 I_E 電流を流すタイミングは、図6.22に示すとおりである。

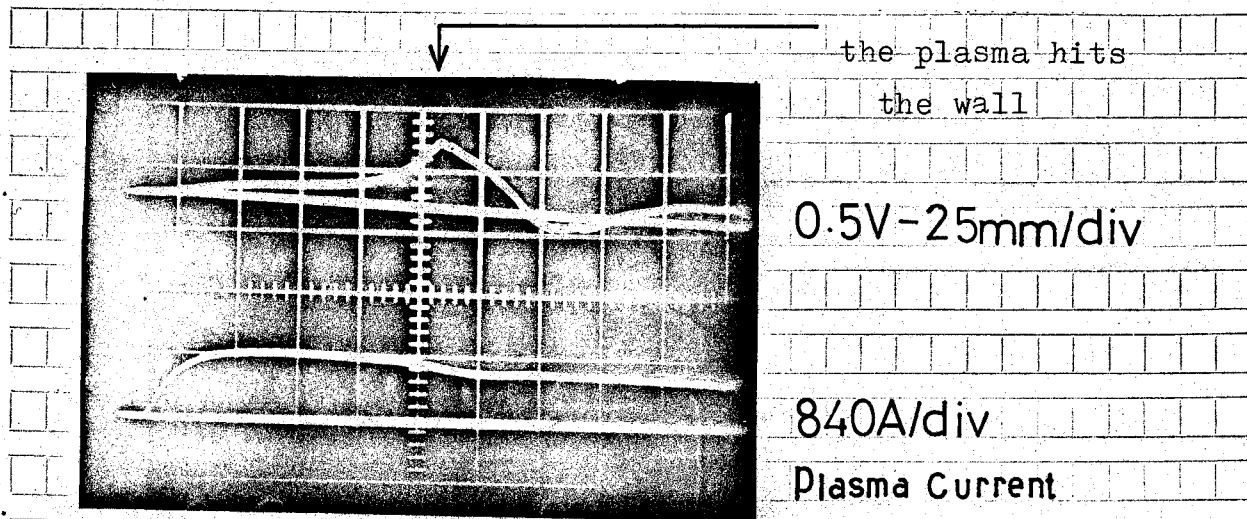
ストリーク写真は放電管の中央にスリットを置き、そこからもれる光を高速度カメラのイメージコンバータ管のカソードに集光し、光電子に変換して、その電子を電気的に変向させ、ストリークさせ、プラズマの半径方向の時間的変位が観測できる。

\sin, \cos コイルは、放電管の周りに一周して巻いたロゴスキーコイルの一種である。このコイルはプラズマ電流の作る B_θ 磁場を検出し、しかも B_θ 磁場に対する感度が θ の関数となるので、 $\sin \theta, \sin 2\theta$ の関数になる、といふものをそれぞれ、 $m=1$ の \sin コイル、 $m=2$ の \sin コイルと呼ぶ。 $m=1$ コイルはプラズマの放電管中心軸からの変位を検出することができる。

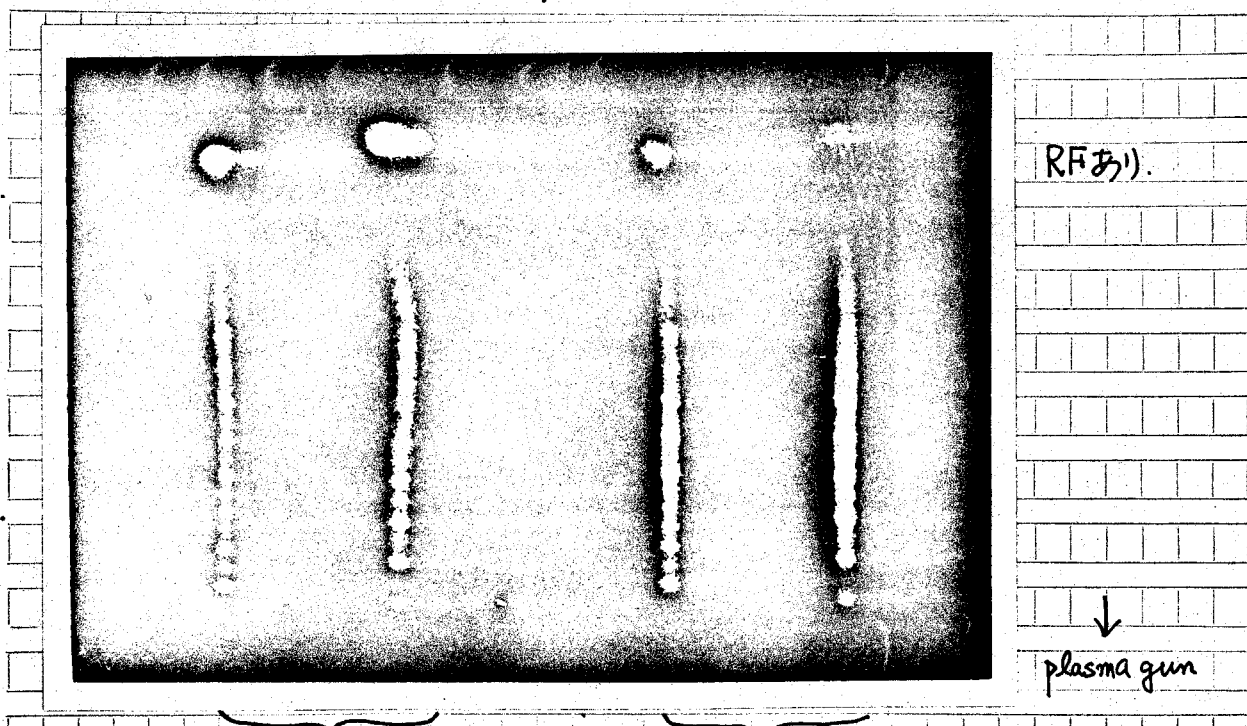


6.26回

サイニコサイニコイルによる波位は、 ± 6.27 回に示されるように、時間に
関してエクスパンシャルに動いて壁にあた、でいるのがわかる。



$B_z = 2.5 \text{ KG}$ $1 \mu\text{s}/\text{div}$ ± 6.27 回



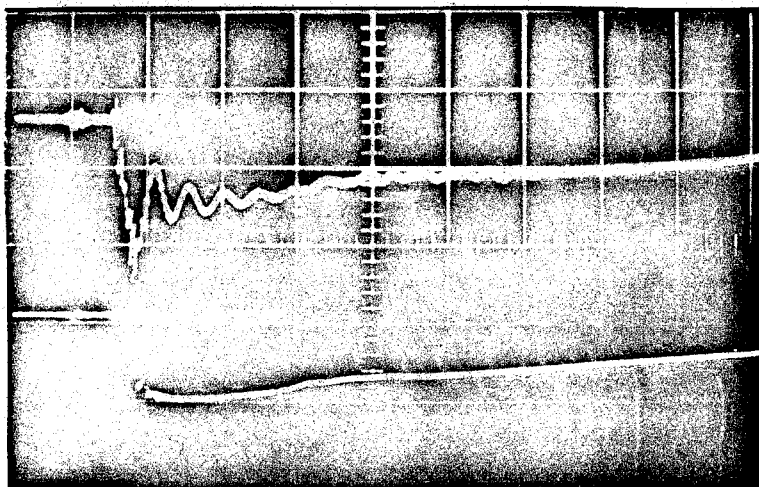
$1.4 \mu\text{s}$

$0.7 \mu\text{s}$

ステレオ フレミング写真. exposure time 500ns

± 6.28 回

図6.29 図はプラズマ電流波形で(下)にRFなし、(上)にRF電流を重畠した場合である。



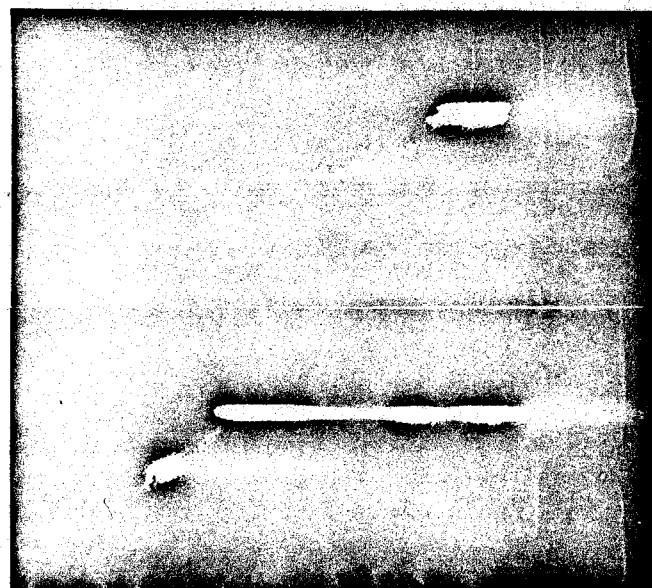
2.1KA/div.
2μS/div.

(上) RFあり

(下) RFなし

図6.29

Wall



RFあり

RFなし

8μS →

ストリーク写真

図6.30

図6.30 図に示されるように、プラズマKinkインスタの成長率が、約半減少したことを見ている。

6.5 まとめ

本研究で開発された大電力高周波発振器を高温アラズマの動的安定化に適用した場合の効果を実験的に明らかにした。以下要約すると

① 動的安定化の効果を顕著に観測するべく設計された乙放電装置を建設した。

② 真空ギャップを用いた大電力高周波発振器の出力をプラズマに効率よくかける方法を開発し、プラズマに高周波電流を流すことができた。

③ ガンによって打ち込まれたアラズマは、複数針による測定で、 $T_e = 8\text{eV}$, $n_e = 7 \times 10^{18}/\text{cm}^3$ であり、リミッターの直径のアラズマ柱を形成している。この初期プラズマ発生法は、大振幅の高周波電界をアラズマにかけた際に、最大の問題となる放電管壁のシールド効果をまぬがれることができ、実験により確かめられた。

④ プラズマにK-S limitの5倍程度の電流を流し、 $m=1$ のKink不安定性をストリーフ写真にて観測し、高周波電流を重畠することにより安定化されることが示された。

六章 結論

今まで述べた結果を総括すると

I メガワット級の高周波発振を実現する新方式の発振方法を考案し、

予備的実験において、理論的、実験的にその可能性を調べた。

II 予備実験の成果に基き、 1MHz , 16MW , $30\mu\text{s}$ 。出力を目標とした大電力高周波発振器を建設した。

III 短時間(数 $10\mu\text{s}$)で再充電し、再び使用可能となるマルクスゼネレーターを開発し、これを用いれば、長時間の発振が可能となることを示した。

IV 直列共振法、並列共振法それぞれについて、発振器の出力、効率を求め、 1MHz , 2MW , $10\mu\text{s}$ の発振出力を得た。また再充電法により、ピーク 1MW , $90\mu\text{s}$ の発振が得られた。しかもこれらの出力は定格の半分の電圧で運転している状態での値である。

V 大電力の高周波をアラズマに適用する際、もともと大きな問題となるシールド効果をガス絶縁アラズマにおいて除去できることを示した。

VI ガス絶縁アラズマの期待されていた諸性質、アラズマの安定保持、不純物除去等を実験的に示し、将来、 100MW 程度の真空ギャップを用いた大電力高周波発振器によつて加熱して、ガス絶縁アラズマの核融合の可能性を十分実験する方法を提案した。

VII 本研究で開発した発振器を用いて、動的安定化の実験を行う目的で、
その効果と顕著に観測するべく設計された、又放電装置を建設した。

VIII プラズマに $K-\alpha$ limit 以上の電流を流し $m=1$ kink 不安定性
をストリーム写真によって観測し、高周波電流を重畠することにより
安定化されることを示した。

以上のように、新方式の大電力高周波発振法を開発し、その原理に基き発振
器を建設し、高温プラズマの加熱、安定化についての応用について述べた。

本研究が人類の英智の最大の挑戦とも言うべき、核融合開発の進展にいざな
かたりとも貢献する所があれば、幸いである。

謝 辞

本研究を行うにあたり、終始温い御指導、御鞭撻を賜、た、林泉教授に厚く御礼申し上げます。また、真空ギャップを快く試作してくださり、日本無線K.K.、真空部次長、中平宗雄氏、大電力放電に耐えるマイカコンデンサを作成していただいた、双信電機K.K.の下村豊司氏、大型フェライトコアを提供してくださり、た、東芝、総研の横山氏に深く感謝します。装置・製作、実験に熱心に協力下さり、た、林研究室の学部卒研究生、米沢秀和君、中村啓太郎君、林成男君、吳漢文君、修士課程の佐々木賢次君、堀田栄喜君に感謝の意を表する。また本研究を遂行するに際し、あらゆる点でお世話にな、た、技官、妹尾義文氏、助手、入沢寿逸氏、公らびに林研究室の皆様に心から感謝いたします。

REFERENCE

- (1) J.W.Butler et al; 2nd. Conf. Geneva 324 (1958)
- (2) 名大プラズマ研. Annual Rev. (1965 - 1966)
- (3) H.Yamato et al; Phys. Fluids 10 756 (1967)
- (4) T.Sato et al; J.Phys. Soc. 23 378 (1967)
- (5) M.E.Oakes et al; Annals of Phys. 41 339 (1967)
- (6) J.Adan et al; 5th Conf. Tokyo A3-2 (1974)
- (7) I.B.Fainberg et al; JETP 25 189 (1967)
- (8) L.V.Pabovoy et al; Novosibirsk J-9 (1968)
- (9) R.A.Demirkhanov et al; Novosibirsk J-7 (1968)
- (10) S.M.Osovets; JETP 12 221 (1961)
- (11) E.S.Weibel; Phys. Fluids 3 946 (1960)
- (12) N.A.Borzonov et al; Novosibirsk Conf. J-12 (1968)
- (13) P.R.Forman et al; Phys. Fluids 14 684 (1971)
- (14) E.S.Weibel; Saclay Conf. 1047 (1968)
- (15) E.S.Weibel et al; Plasma Physics 9 401 (1967)
- (16) I.R.Jones et al; Plasma Physics 10 213 (1968)
- (17) 関口.一丸. プラズマ物性工学.
- (18) H.A.B.Bodin et al; 3rd Conf. Utrecht 23,27,76 (1969)
- (19) R.F.Gribble et al; 3rd Conf. Utrecht 23, 27, 79 (1969)
- (20) J.A.Wesson & F.A.Hass; Phys. Fluids 12 1271 (1969)
- (21) F.L.Ribe & W.B.Riesenfeld; Phys. Fluids 11 2035 (1968)
- (22) G.A.Sawyer et al; 5th Conf. Tokyo E1-2 (1974)
- (23) P.L.Kapiza; High Power Microwave
- (24) P.Keller; Helv. Phys. Acta. 38 328 (1965)
- (25) A.Lietti; Rev. Sci. Inst. 36 13 (1965)

(26) A.Lietti; Rev. Sci. Inst. 40 473 (1969)

(27) J.A.Rich & G.A.Farrall; Proc. IEEE 52 1293 (1964)

(28) J.M.Lafferty; Proc. IEEE 54 23 (1966)

(29) C.W.Kimblin; Proc. IEEE 59 546 (1971)

(30) ランダウーリフジツ 力学 P74.

(31) G.Becker; Madison Conf. CN-28/ B-9 (1971)

(32) H.Alfvén & E.A.Smårs; Nature 188 801 (1960)

(33) E.A.Smårs & R.B.Johamsson; Phys. Fluids 4 1151 (1961)

(34) C.M.Braams; Phys. Rev. Letters 117 470 (1966)

(35) P.L.Kapitza; Sov. Phys. JETP 30 973 (1970)

(36) P.L.Kapitza; Sov. Phys. JETP 31 197 (1970)

(37) B.Lehnert; Munchen Conf. C1-1 (1972)

(38) C.G.Falthammer; Phys. Fluids 4 1145 (1961)

(39) B.Lehnert; Nuclear Fusion 8 173 (1968)

(40) S.G.Alikhanov Nuclear Fusion 10 13 (1970)

(41) G.K.Verboom et al; Nuclaeer Fusion 13 69 (1973)

(42) G.S.Murty; Arkiv. Fysik 19 511 (1961)

(43) S.P.Talwar et al; Plasma Physics 5 243 (1963)

(44) E.Minard & J.A.Jerloun; 4th Conf. CN-24/ G-8 (1968)

(45) A.G.Elfimov; Sov. Phys. Tech. Phys. 17 592 (1972)

(46) H.H.Berghahn et al; 4th Conf. CN-24/ G-9 (1968)

(47) H.W.Piekar et al; Appl. Sci. Res. 23 393 (1971)

(48) E.A.Smårs; ARKIV FoR FYSIK B-29 m-9 97 (1964)

(49) W.Manheimer et al; Phys. Fluids 16 1126 (1973)

(50) G.K.Verboom; Plasma Physics 11 703 (1969)

(51) E.S.Weibel; Phys.Fluids 10 741 (1967)

- (52) A.B.Pippard; Physica XV vol-2 45 (1949)
- (53) M.J.Kofoid; Phys. Fluids 12 1290 (1969)
- (54) F.C.Schuller et al; Pheno. Ionized Gas (1974) 3.2.9.3
- (55) J.Lok et al; Pheno. Ionized Gas (1974) 3.2.9.4
- (56) R.W.Polman; Pheno. Ionized Gas (1974) 3.2.8.1
- (57) C.J.Watson; Saclay Conf. (1968)
- (58) S.M.Osovets et al; Calham Conf. (1965)
- (59) A.M.Andrianov et al; Sov. Phys. Tech. Phys. 1331 (1969)
- (60) H.L.Boyen; J. Appl. Phys. 2296 (1969)
- (61) H.A.Blevin; J. Appl. Phys. 3899 (1969)
- (62) G.H.Wolf; Z. Physik 227 291 (1969)
- (63) G.Berge; Nuclear Fusion 12 99 (1972)
- (64) R.L.Morse & W.R.Riesenfeld; Plasma Physics 10 543 (1968)
- (65) 渡辺、船戸、藤野、長尾、核融合研究 27-5 (1972)
- (66) N.A.Bobyrev et al; Sov. Phys. Tech. Phys. 8 887 (1964)
- (67) N.A.Bobyrev et al; Sov.Phys. Tech. Phys. 11 316 (1966)
- (68) S.M.Osovets et al; Sov. Phys. JETP 21 715 (1965)
- (69) E.I.Pavlov et al; Sov. Phys. JETP 24 59 (1967)
- (70) R.F.Gribble; 3rd Europ Conf. Utrecht (1969)
- (71) I.R.Jones; Phys. Rev. Letters 17 135 (1972)
- (72) I.R.Jones et al; 5th Europ Conf. Grenoble 49 (1972)

本研究に関する発表文献

- (1) 嶋田ほか 「アラズマ閉じ込め、加熱用大出力RF発振器」
昭和47年電気全国大会 (116)
- (2) 嶋田、米沢、林 「大電力高周波発振器」
アラズマおよび制御熱核融合に関する技術研究会 (4)
IPPJ-DT-36 Feb. (1973)
- (3) 嶋田、米沢、林 「大電力高周波発振器」
1972. 3, 日本物理学会、春の分科会 (8pR8)
- (4) 嶋田、中村、林 「アラズマ閉じ込め、加熱用大電力高周波発振器」
昭和48年電気全国大会 (119)
- (5) 嶋田、佐々木、中村、林 「大電力高周波発振器」
アラズマおよび制御熱核融合に関する技術研究会 (5)
核融合研究 30巻 4の1
- (6) 嶋田、佐々木、林、林 「アラズマ安定化、加熱用大電力高周波発振器」
1974. 4, 日本物理学会、春の分科会 (3pKa9)
- (7) 嶋田、佐々木、林、林 「高周波発振器による大気圧アラズマの実験」
1974. 4, 日本物理学会、春の分科会 (3pKa10)
- (8) 嶋田、佐々木、林、林 「大電力高周波発振器」
アラズマおよび制御熱核融合に関する技術研究会 (6)
核融合研究 31巻
- (9) 嶋田、佐々木、林、林 「高周波発振器による大気圧アラズマの実験」
アラズマおよび制御熱核融合に関する技術研究会 (6)
- (10) 嶋田、林 「真空ギャップを用いたメガワット高周波発振器」
電気学会雑誌 投稿中
- (11) R.Shimada et al; "Experiment on the Stability of
Gas-Insulated Plasma in the Toroidal Vortex Flow"
Physical Review Letters To be published